

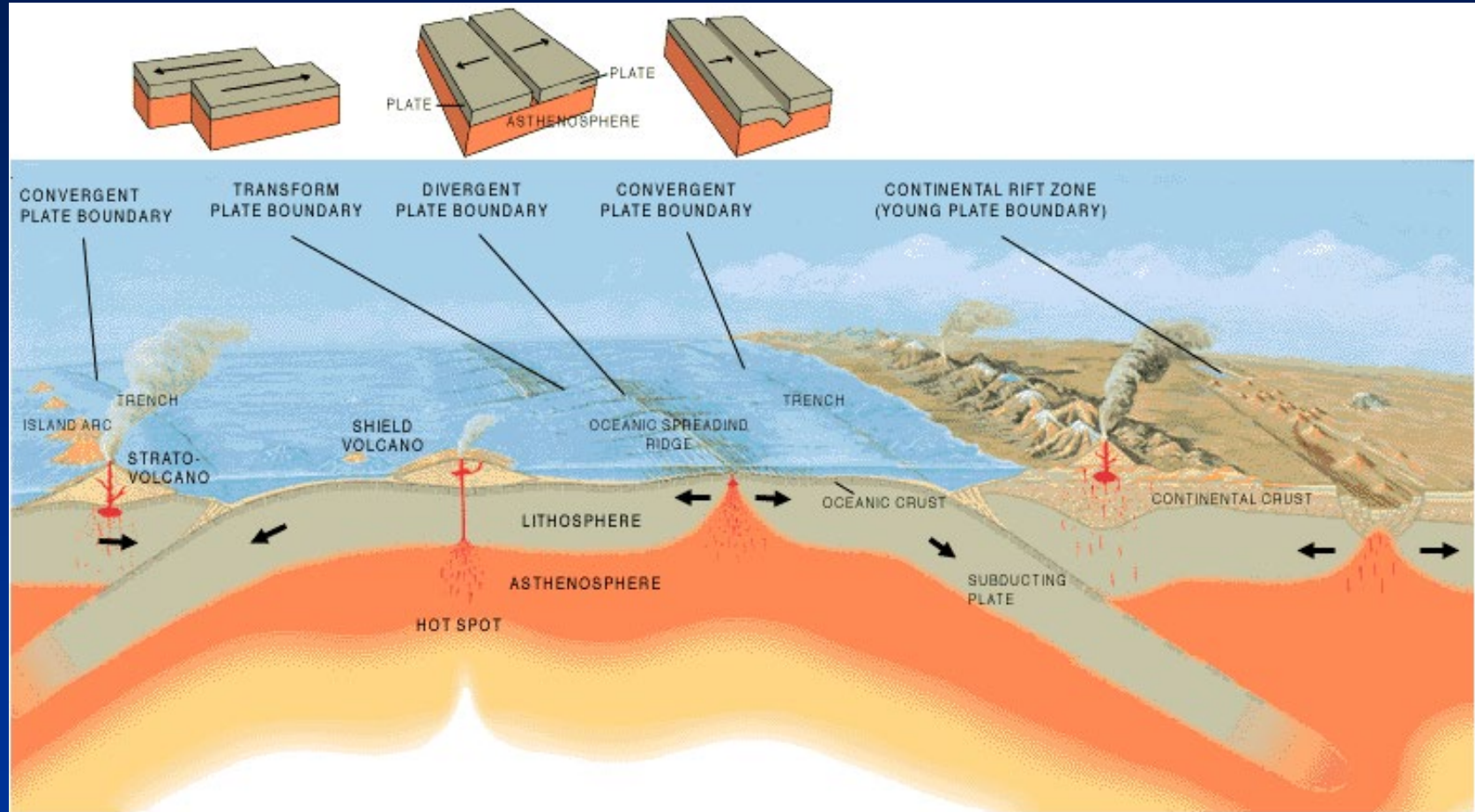
Associazioni di strutture tettoniche

**Dalla scala
dell'affioramento alla scala
regionale**

Immagini e fotografie tratte da:

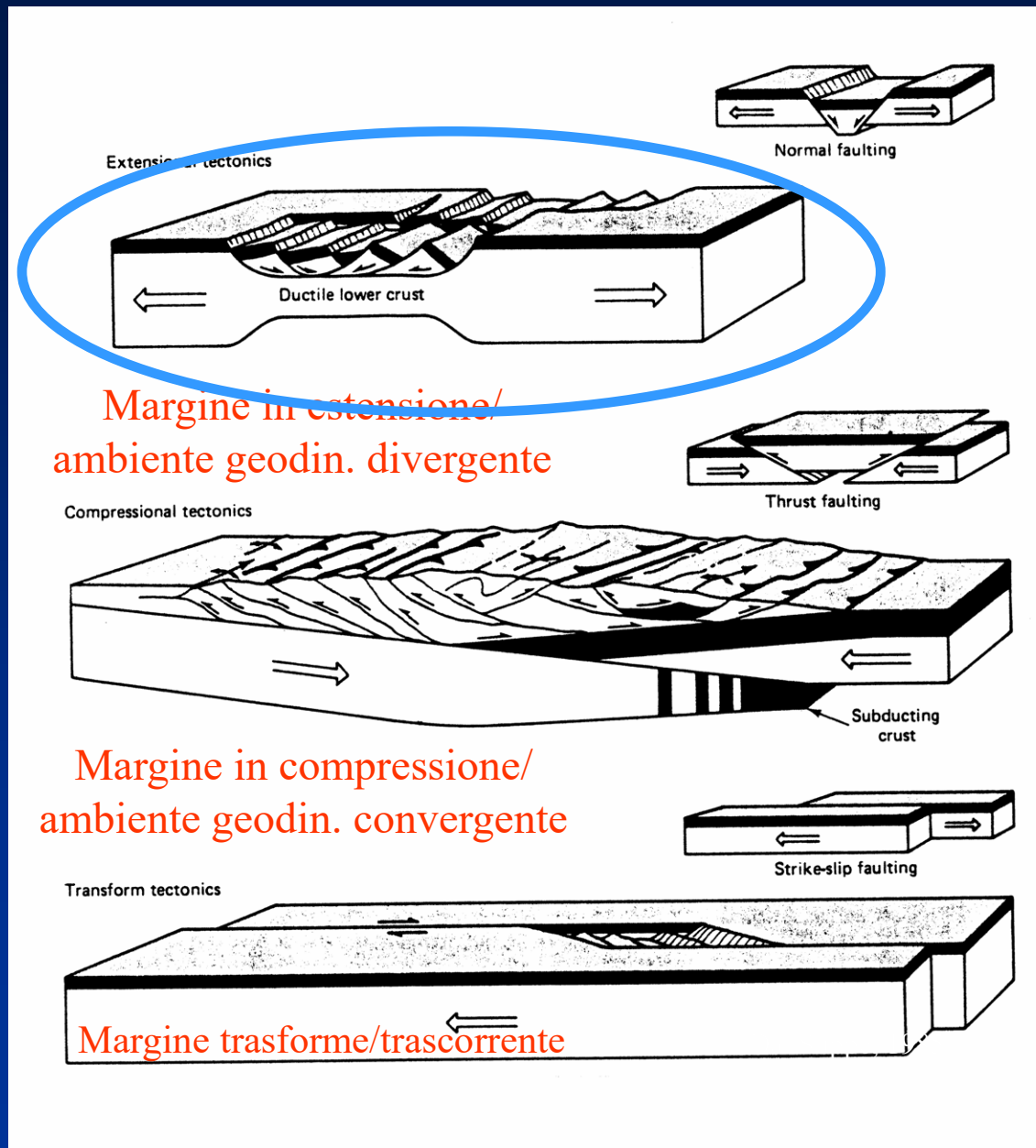
- Bally A.W., Catalano R., Oldow J.S., 1985. Elementi di tettonica regionale. Pitagora Editore.
- Buchanan P.G., McClay K.R., 1991. Sandbox experiments of inverted listric and planar fault systems. *Tectonophysics*, 188, 97-115.
- Chorowitz J., 2005. The East African rift system. *Journal of African Earth Sciences*, 43, 379–410.
- Dijkshoorn L, Clauser C., 2013. Relative importance of different physical processes on upper crustal specific heat flow in the Eifel-Maas region, Central Europe and ramifications for the production of geothermal energy. *Scientific Research*, 5, Article ID:28354.
- Guinot D., Segonzac M., 2018. A review of the brachyuran deep-sea vent community of the western Pacific, with two new species of Austinograea Hessler & Martin, 1989 (Crustacea, Decapoda, Brachyura, Bythograeidae) from the Lau and North Fiji Back-Arc Basins. *Zoosystema*, 40, 75-107.
- Hatcher R.D., 1995. Structural Geology: Principles Concepts and Problems. Prentice Hall International.
- Kuebler, S. 2013. Active Tectonics of the Lower Rhine Gra-ben (NW Central Europe): Based on New Paleoseismological Constraints and Implications for Rupture Processes in Unconsolidated Gravels. PhD thesis, LMU Munich.
- Mantovani, E., Albarello, D., Babbucci, D., Tamburelli, C., Viti, M., 2002. Trench-Arc-BackArc systems in the Mediterranean area: examples of extrusion tectonics. *Journal of Virtual Explorer*, 8, 125–141.
- Mège D. et al., 2015. A major dyke swarm in the Ogaden region south of Afar and the early evolution of the Afar triple junction. In: Magmatic Rifting and Active Volcanism. Chapter: 7. Geological Society, London, Special Publications, 420.
- Mercier J., Vergely P., 1996. *Tettonica*. Pitagora Editore.
- Nicolas A., 1984. *Principes de tectonique*. Masson.
- Pini, materiale inedito.
- Ramsay J. G., Huber M. I., 1987. The Techniques of Modern Structural Geology. Volume 2: Folds and Fractures. Academic Press Inc.
- Stein S. et al., 2015. Challenges in assessing seismic hazard in intraplate Europe. In: Geological Society, London, Special Publications, 432.
- Suppe J., 1985. *Principles of Structural Geology*. Prentice-Hall Inc.
- van der Pluijm B., Marshak S., 2004. *Earth Structure: An Introduction to Structural Geology and Tectonics*, Second Edition. WW Norton & Company.

Tipo di margini di placca e ambienti geodinamici



<http://factsanddetails.com/world/cat51/sub323/item2212.html>

Tipo di margini di placca e ambienti geodinamici



Da Suppe, 1985

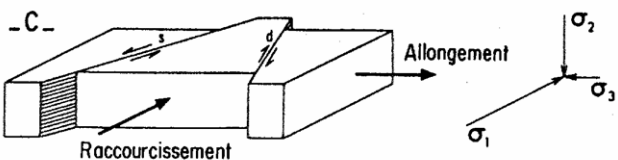
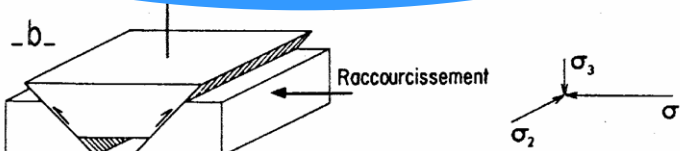
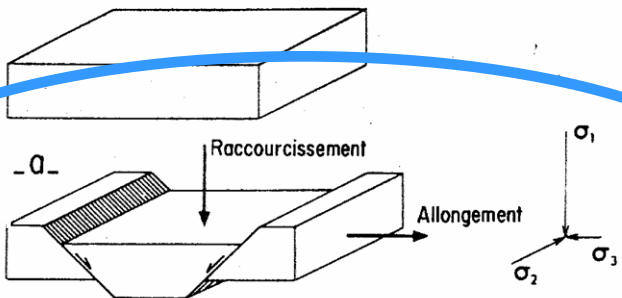
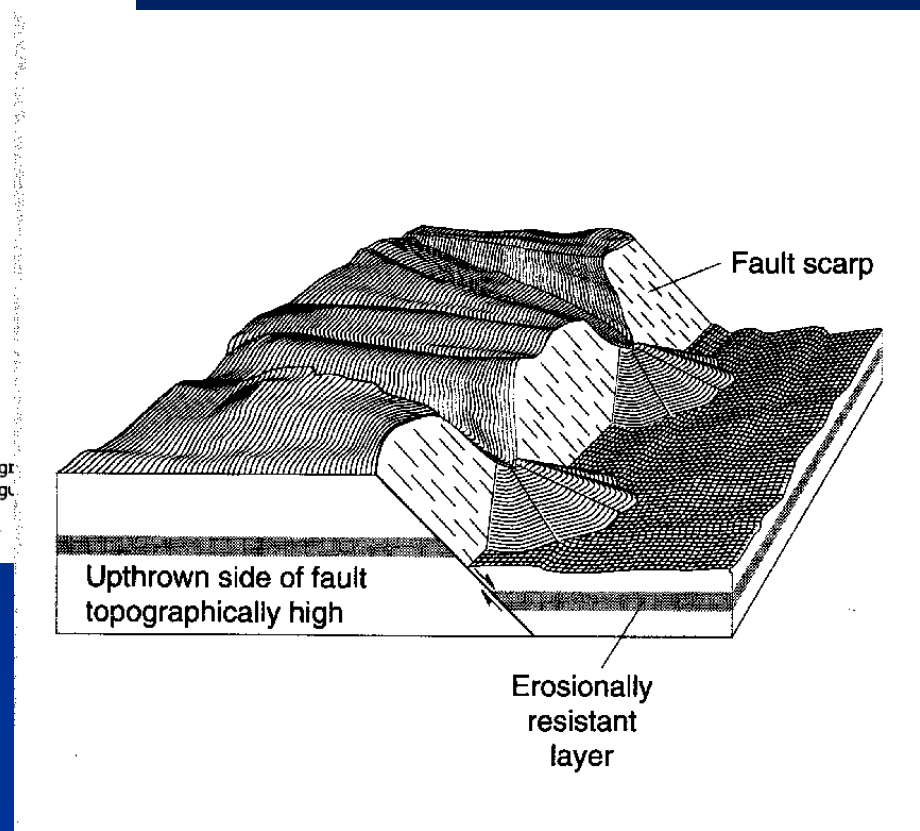
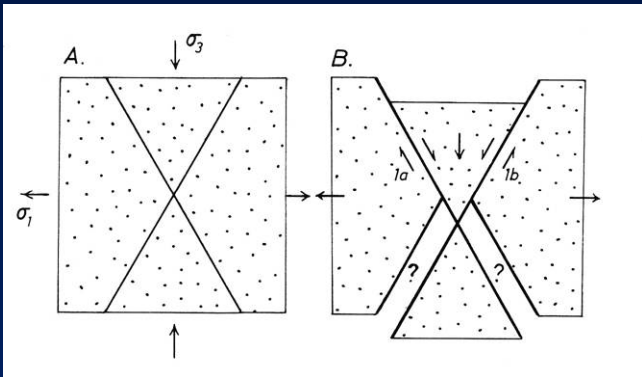


Fig. 5.12 - Systèmes de failles conjuguées. a- Failles normales conjuguées, gr. Feilles inverses conjuguées, horst. c- Décrochements dextre et senestre conjugué.(Blès et Feuga, 1981. BRGM éd., Orléans).

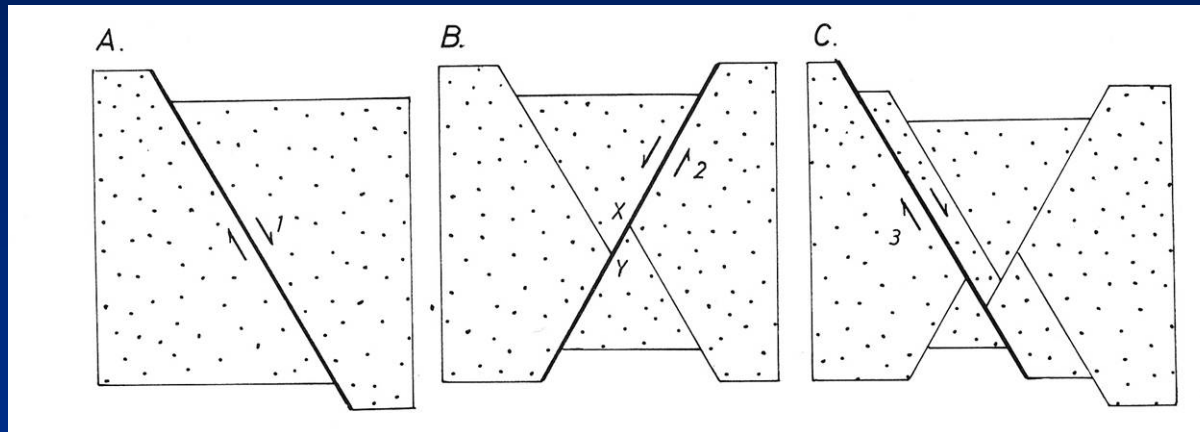
Da Nicolas, 1984



Da Hatcher, 1995



Da Ramsay and Huber, 1987

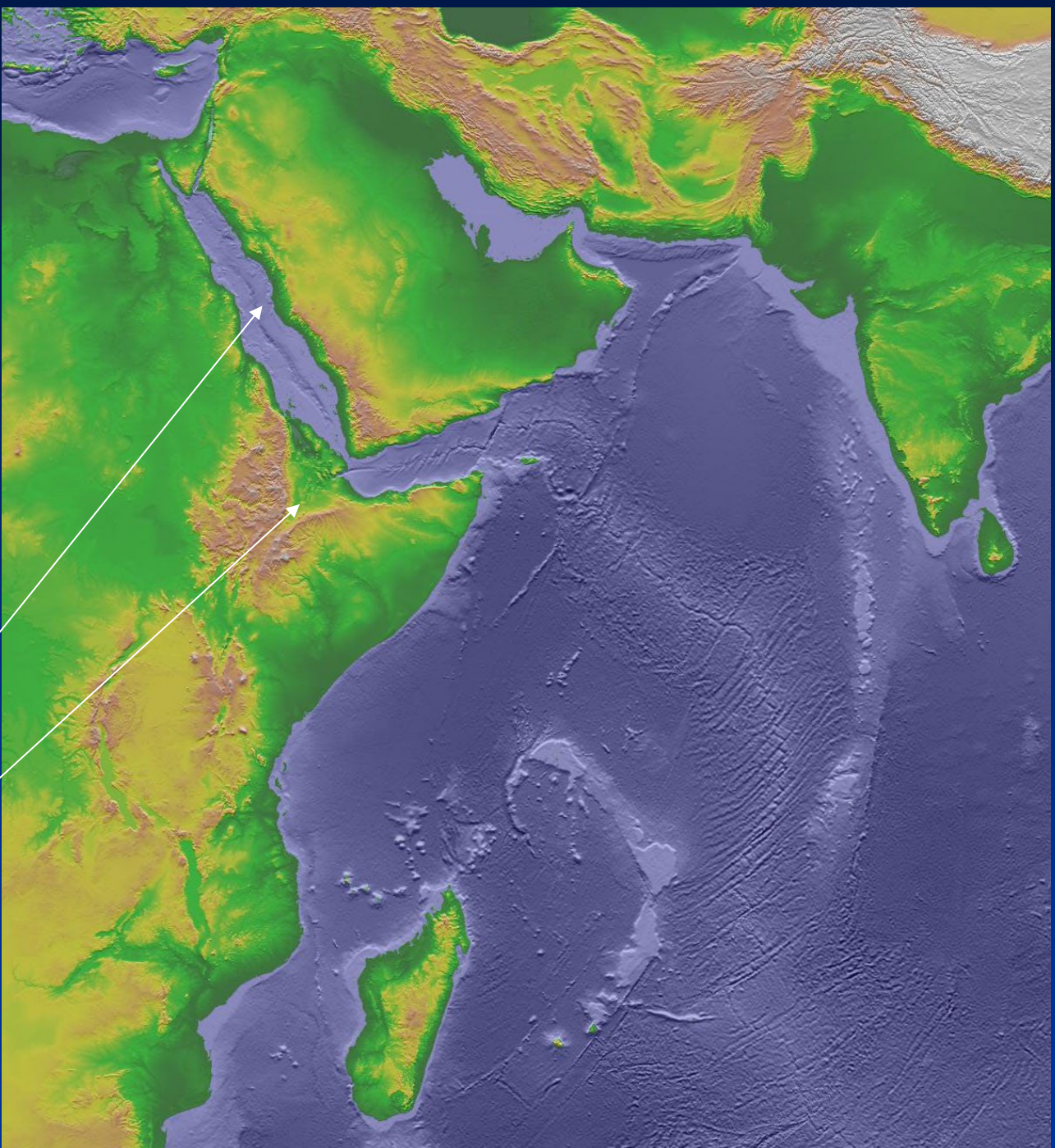


Solo le associazioni di faglie (coniugate) lavorano!!

1a) estensione e
assottigliamento
di crosta
continentale che
porta a crosta
oceànica (*from
rift to drift*)

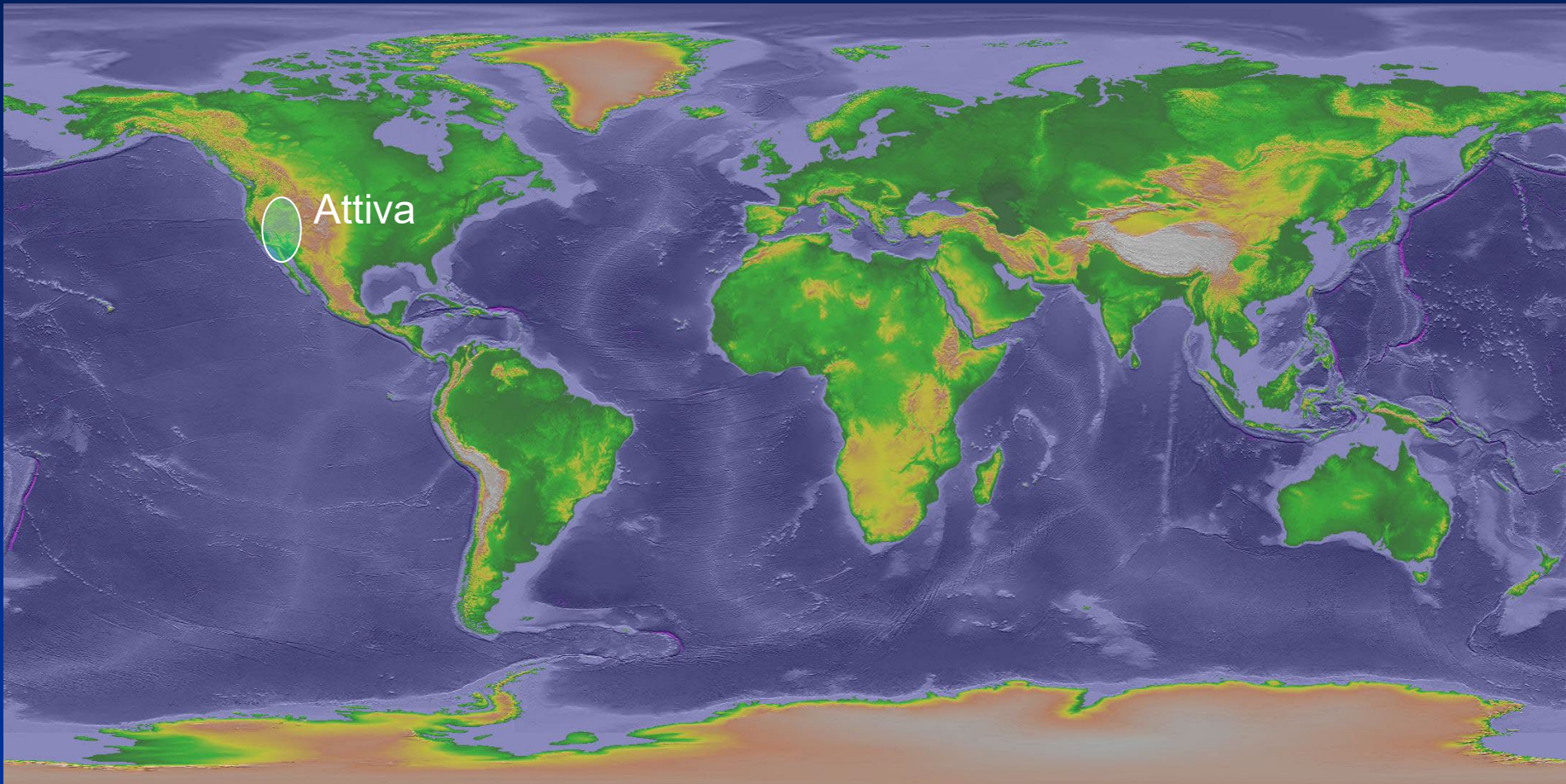
Mar Rosso

Afar, Etiopia, valle del Rift



Associazioni di faglie normali

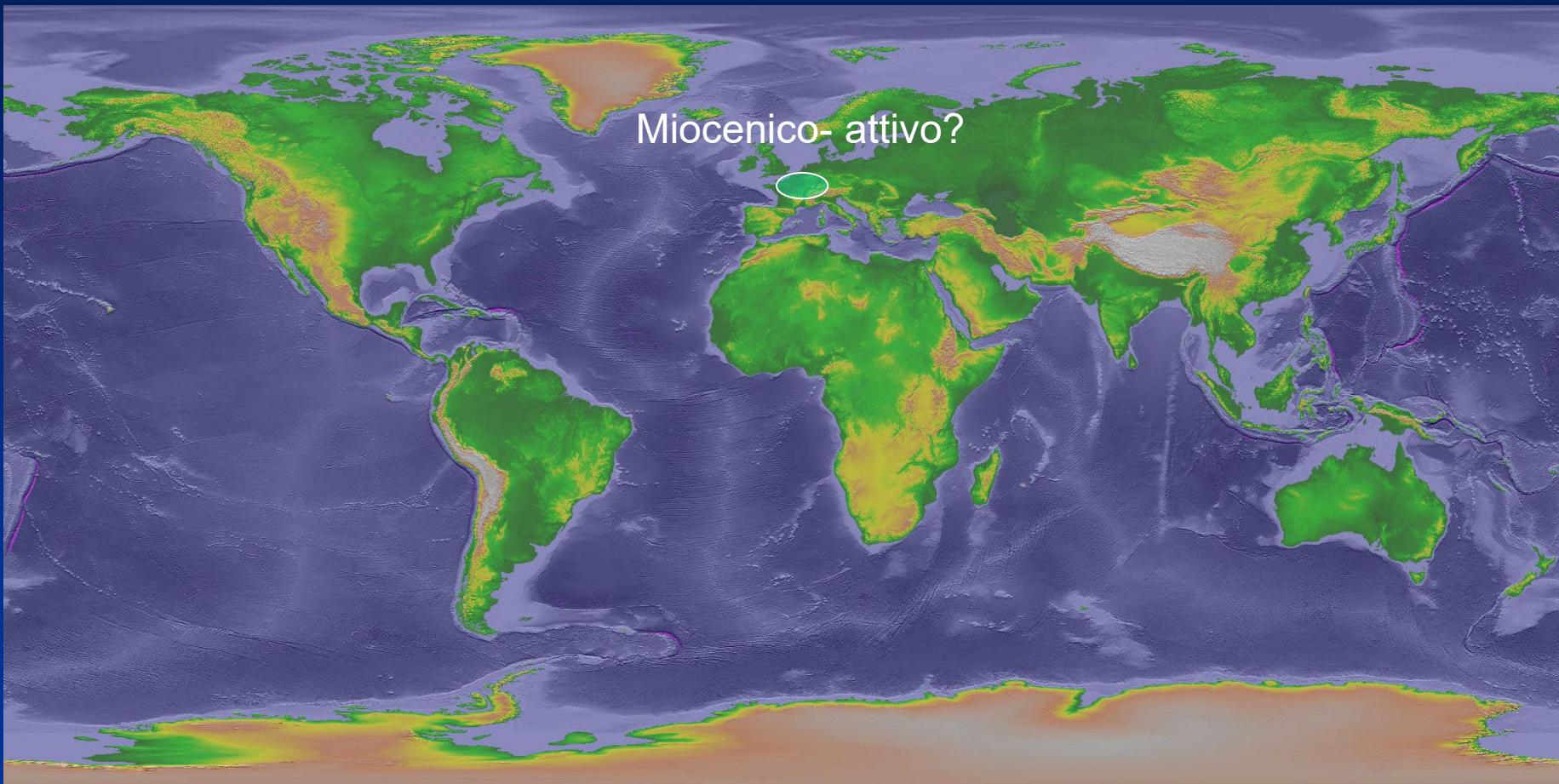
2a) associazioni estensionali in ambienti geodinamici divergenti prossimi a margini trascorrenti/convergenti



Shaded reliefs e batimetria da NOAA National Centers for Environmental Information (NCEI)

Associazioni di faglie normali

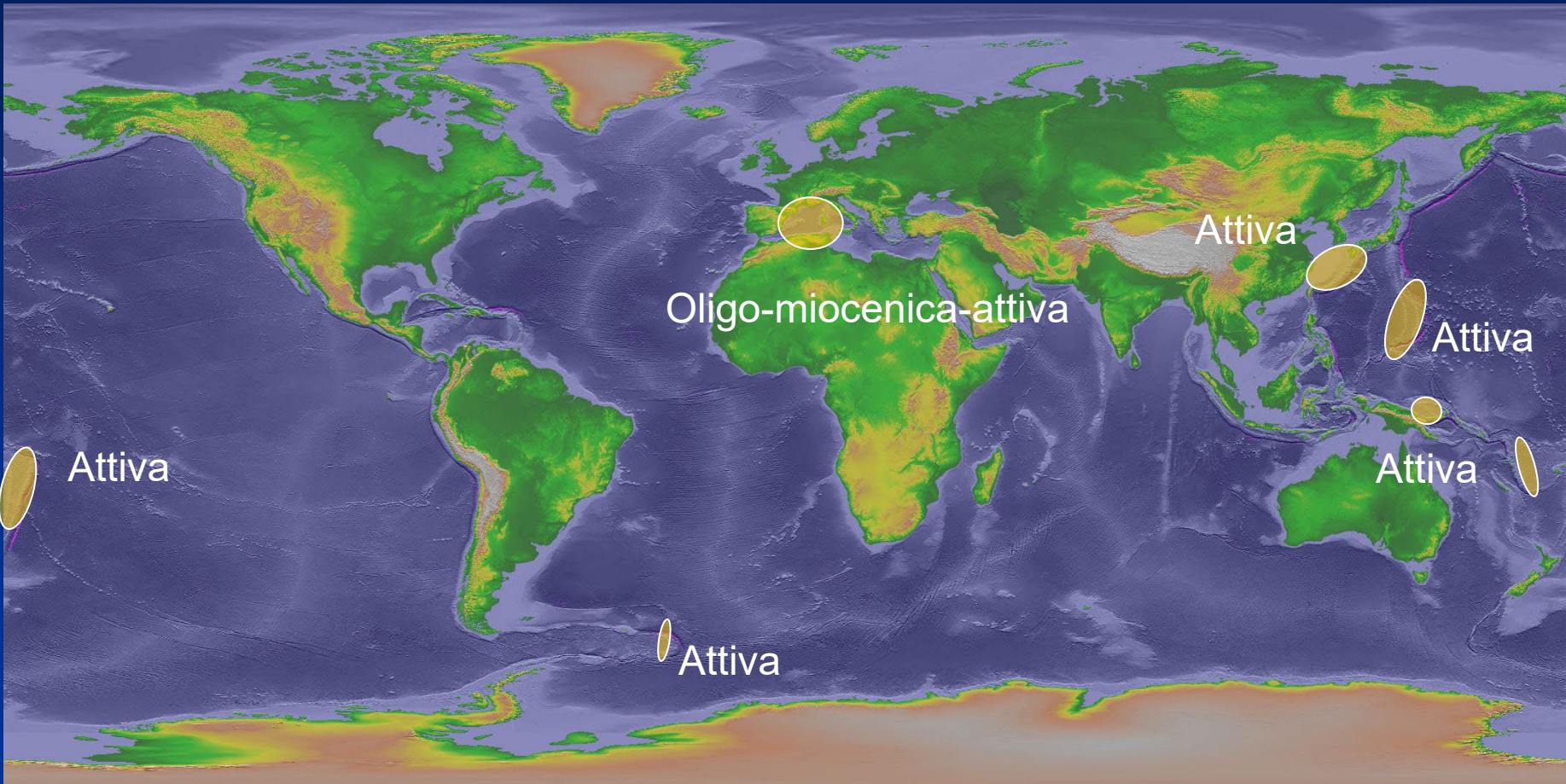
2b) associazioni extensionali in ambienti geodinamici divergenti prossimi a margini convergenti



Shaded reliefs e batimetria da NOAA National Centers for Environmental Information (NCEI)

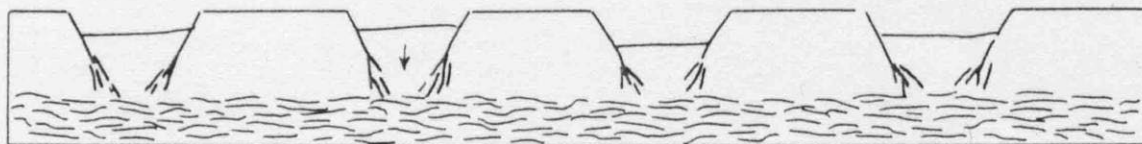
Associazioni di faglie normali

3) associazioni estensionali dovute ad ambienti geodinamici convergenti!!!



Shaded reliefs e batimetria da NOAA National Centers for Environmental Information (NCEI)

FAGLIE NORMALI DIRITTE



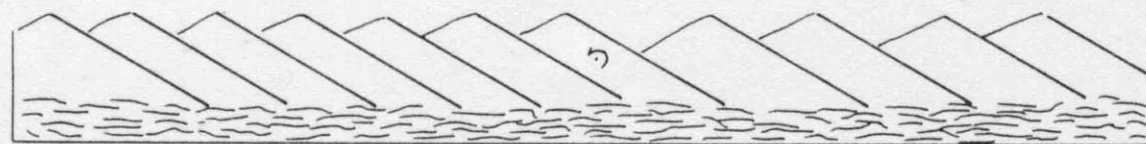
a)

FAGLIE NORMALI LISTRICHE



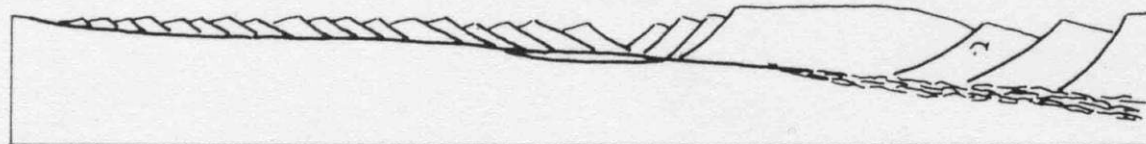
b)

FAGLIE A "DOMINO"



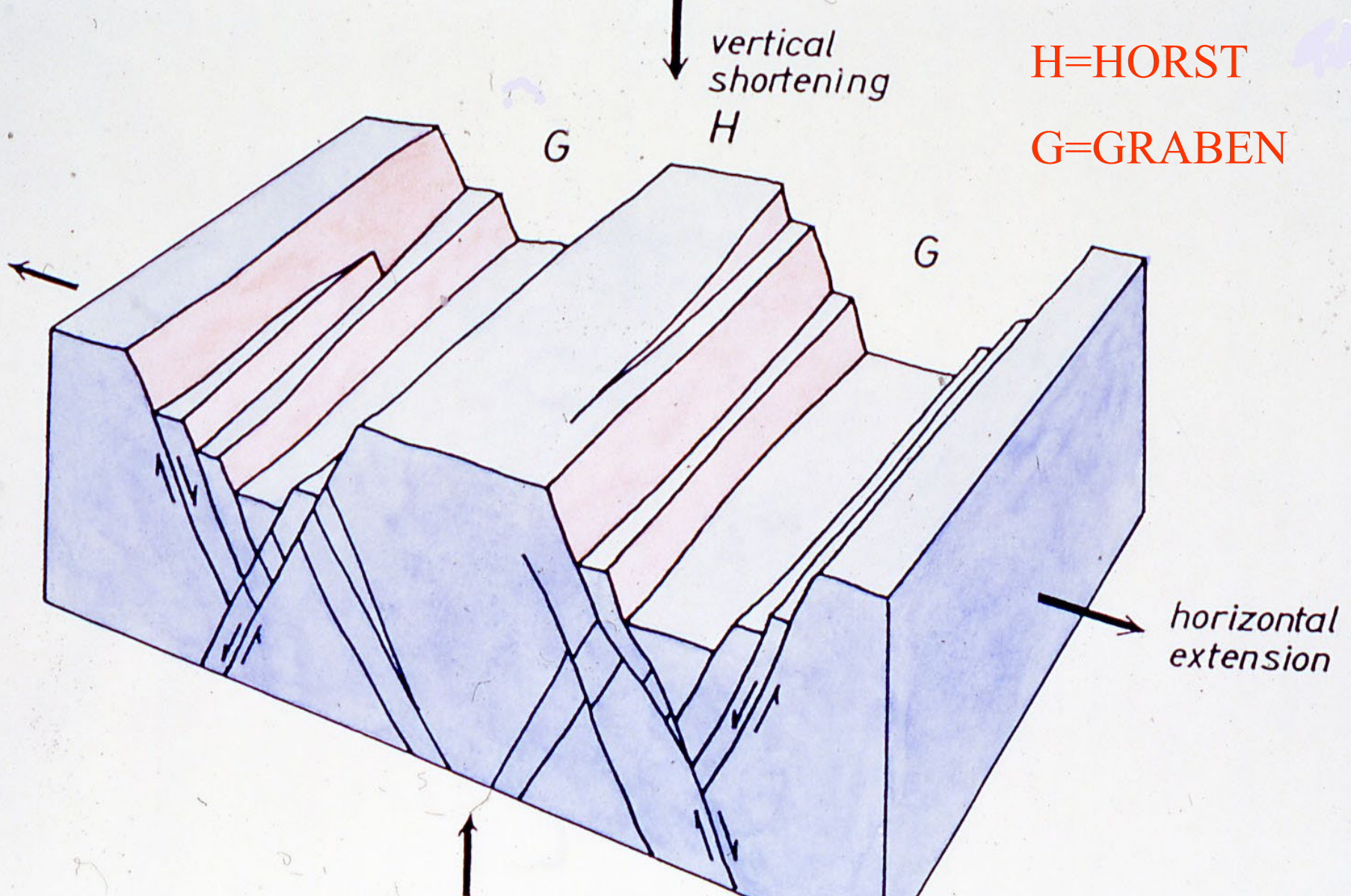
c)

FAGLIE DI DISTACCO (DETACHMENT) A BASSO ANGOLO



d)

Sistemi di faglie normali:
il problema della continuazione in profondità.
Diverse geometrie in superficie e diversi modelli concettuali



H=HORST
G=GRABEN

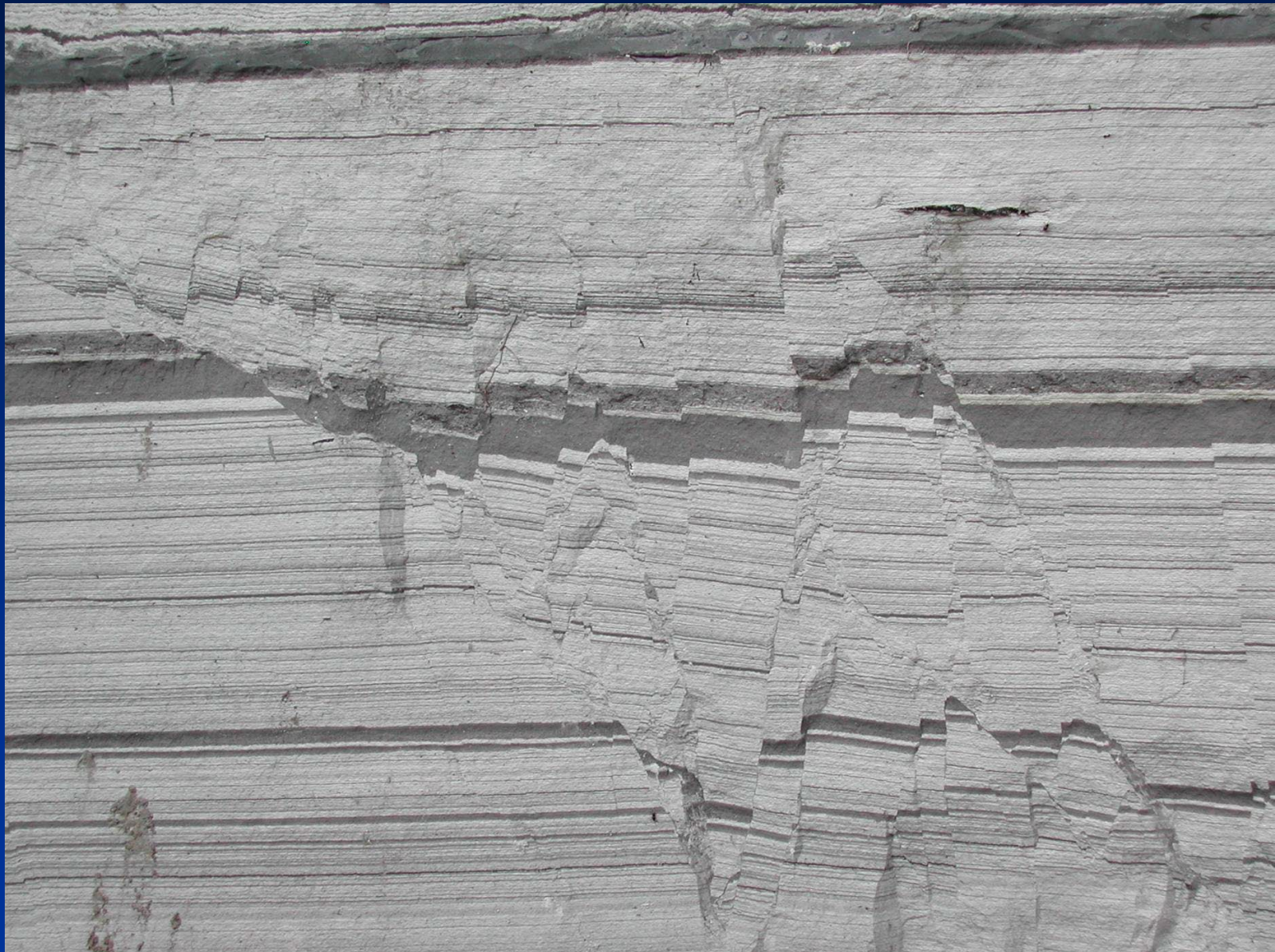
Da Ramsay and Huber, 1987

FAGLIE PIANE

Esempio di grabe (singola fossa) recentissimo e, presumibilmente, attivo



Sistemi di faglie normali: coniugate, faglia principale
(master fault) e faglie curve!



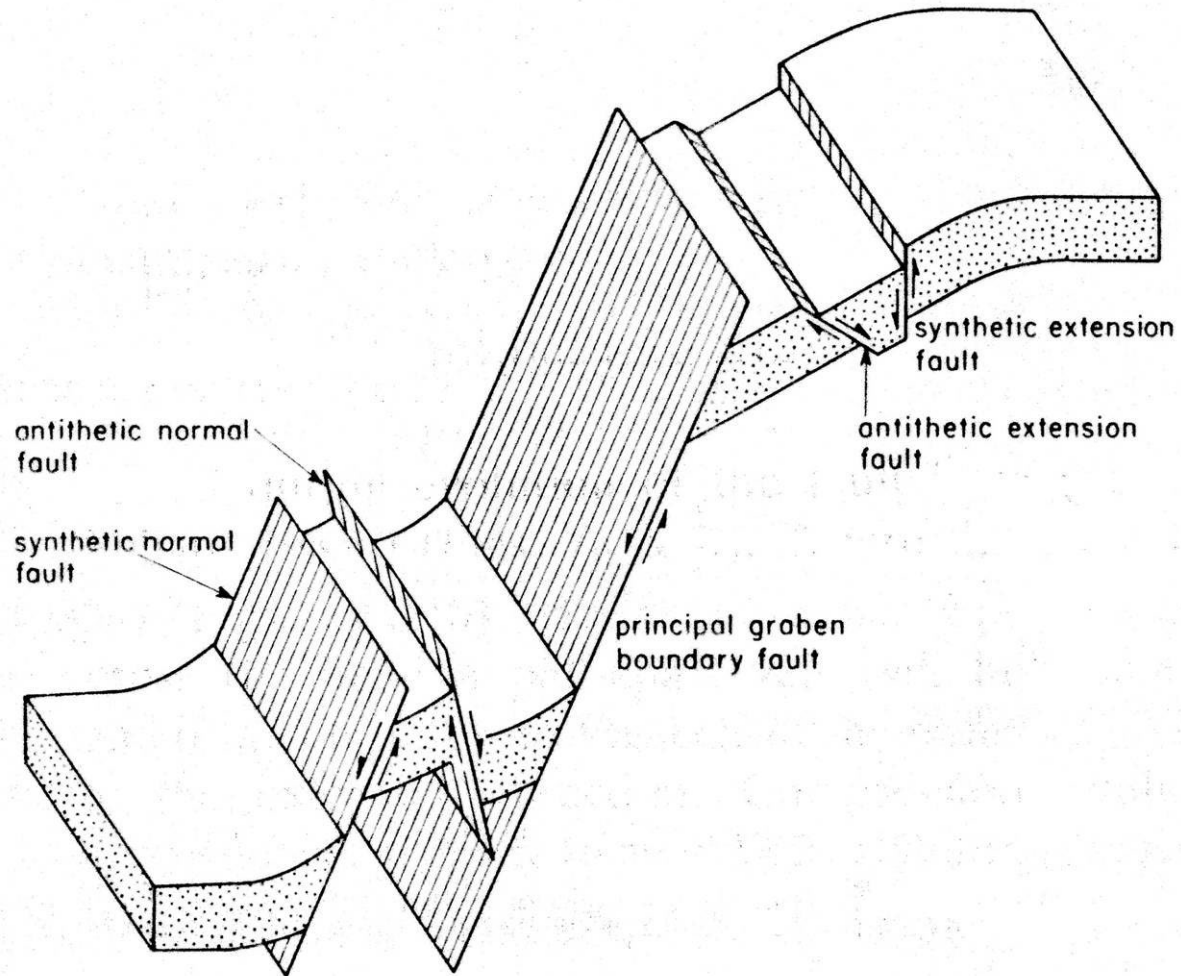


Fig. 6. Structures characteristic of planar high-angle normal fault zones such as those bounding grabens in terrains that have been inhomogeneously extended by a small percentage. After Al Kadhi & Hancock (1980, fig. 6).

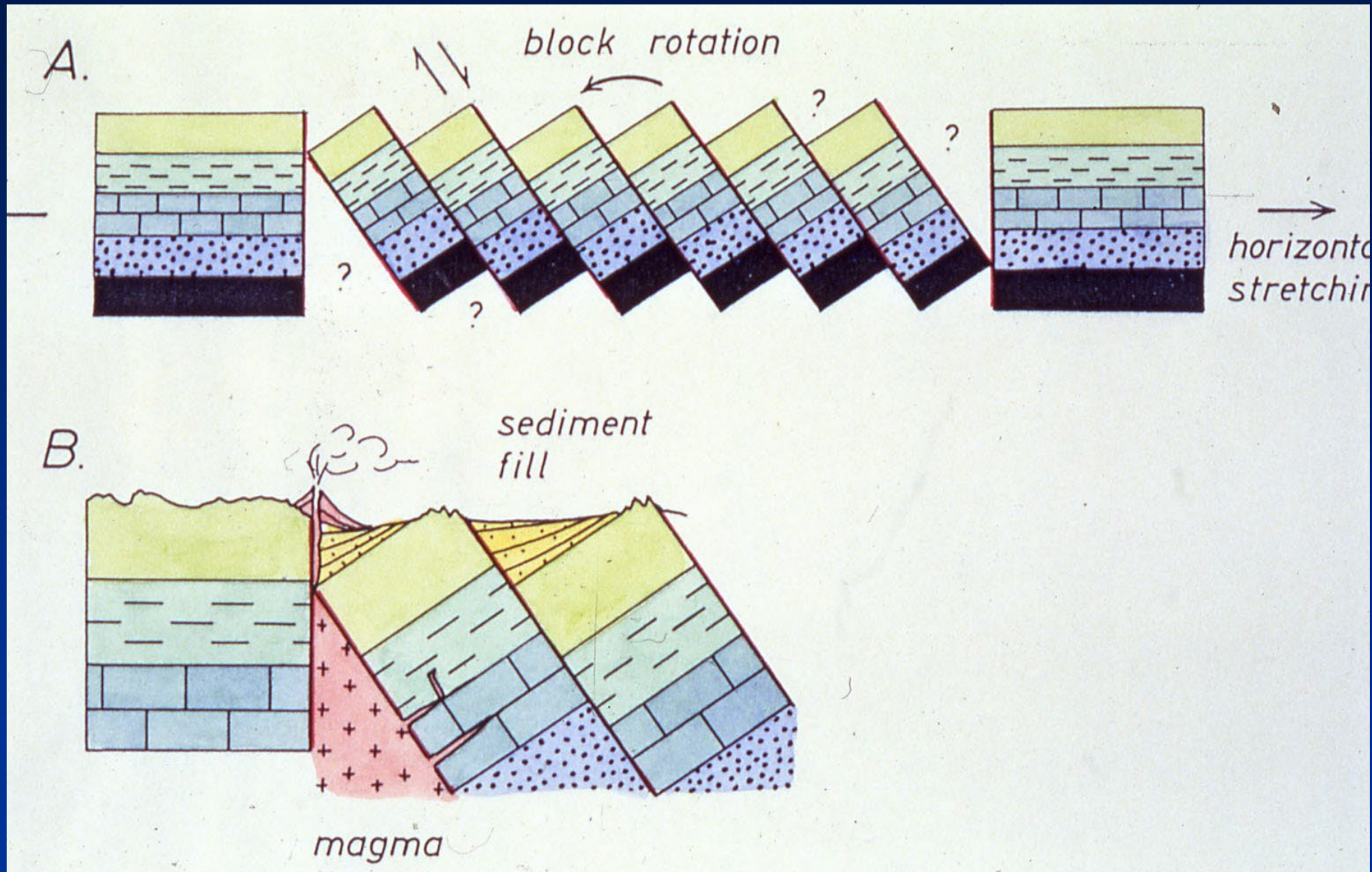
Sistemi di faglie
normali coniugate:
faglia principale,
faglie antitetiche e
sintetiche

Da Hancock, 1985

Come si vede in affioramento una faglia normale?
(foto L. Sellì)



Sistemi di faglie normali coniugate sintetiche; sistema a domino!



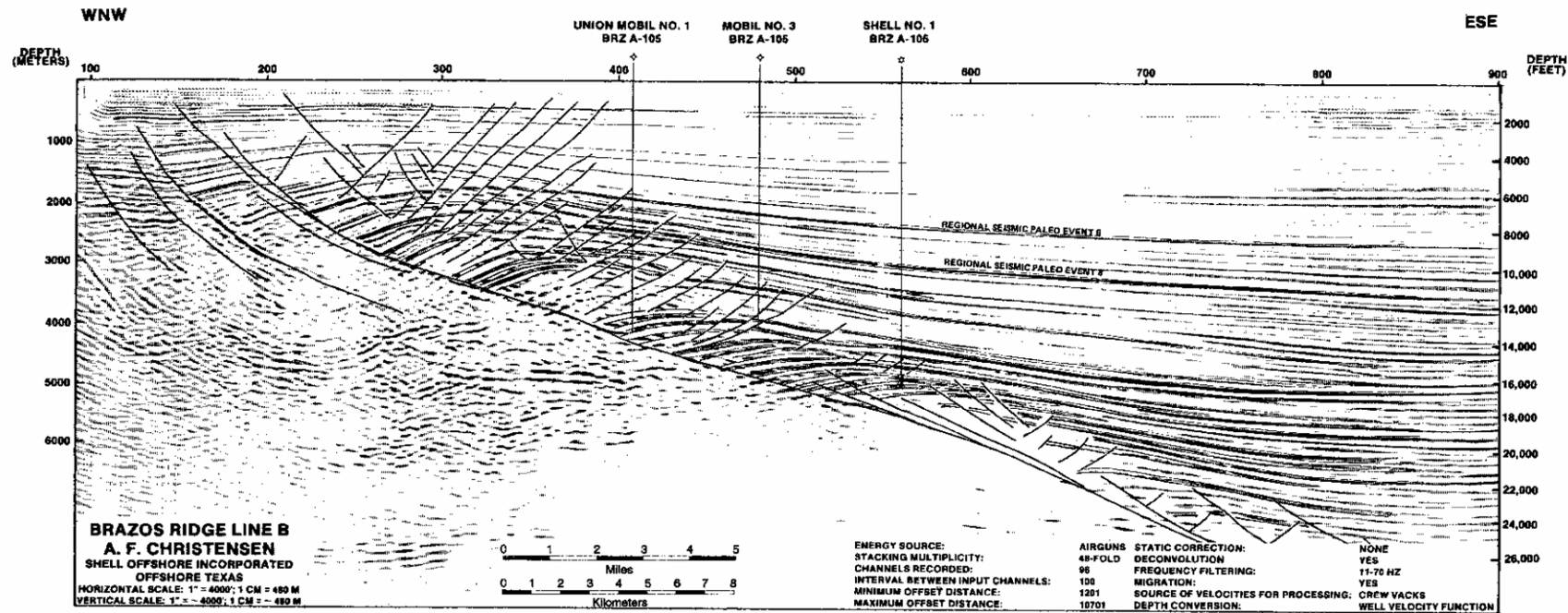
Sistemi di faglie normali coniugate sintetiche; sistema a domino!



Da Ramsay and Huber, 1987

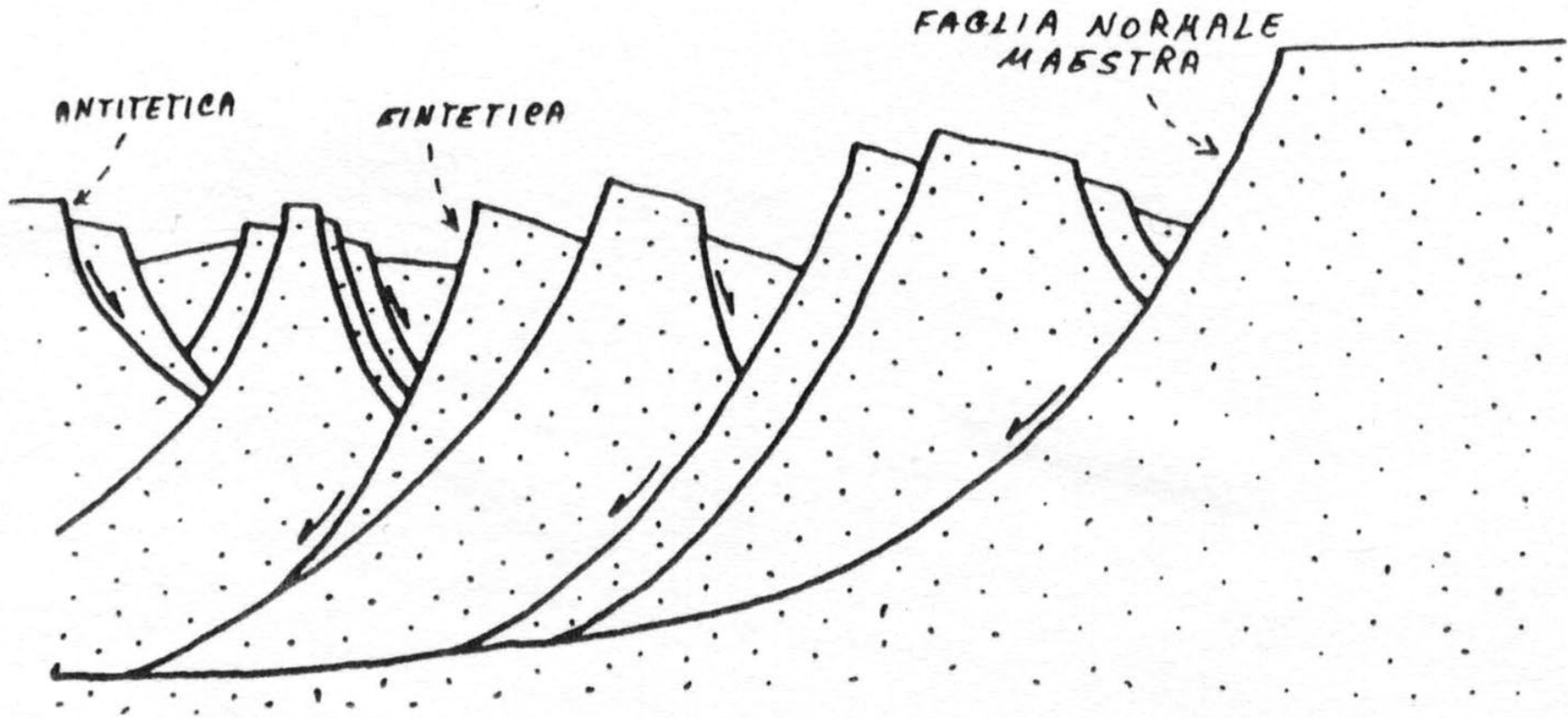


Da Ramsay and Huber, 1987

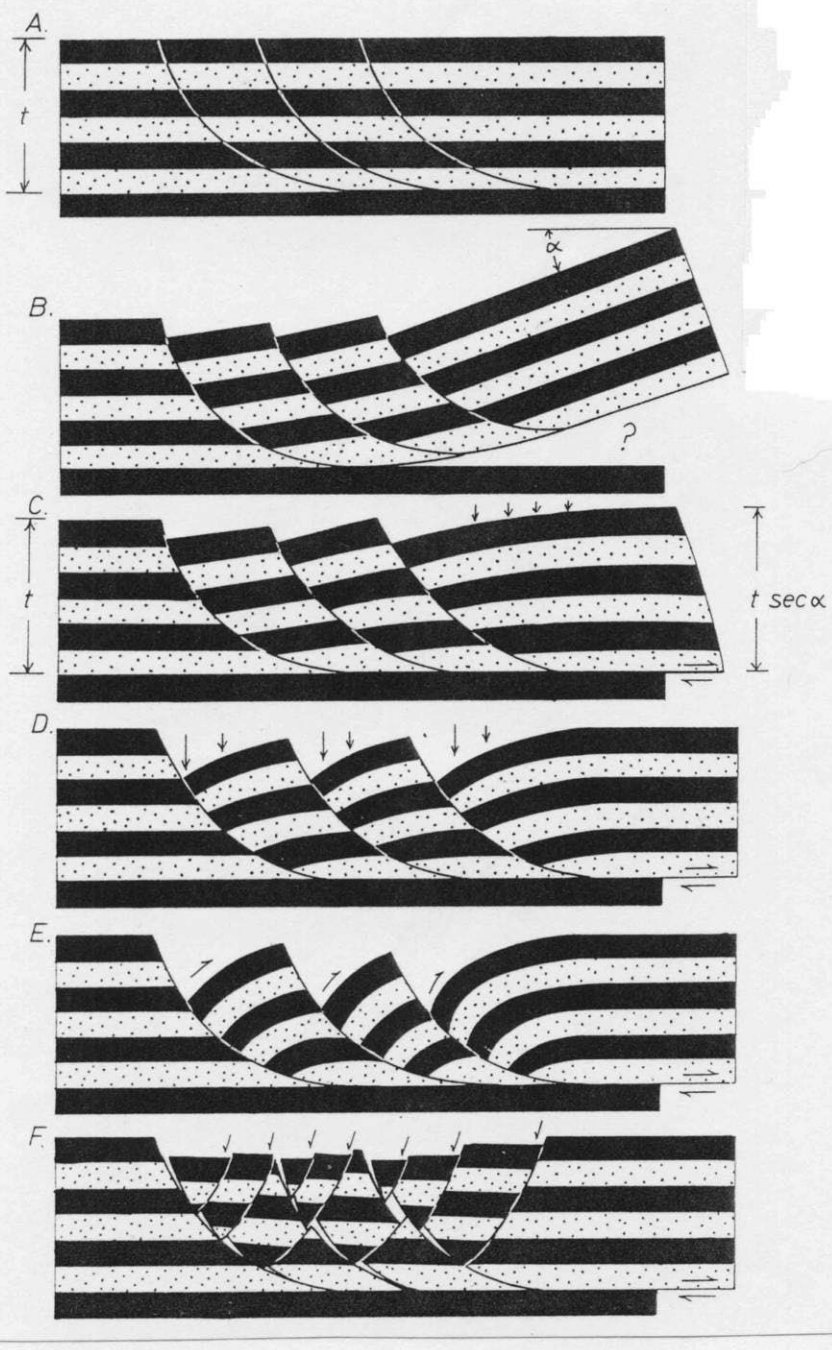


(b)

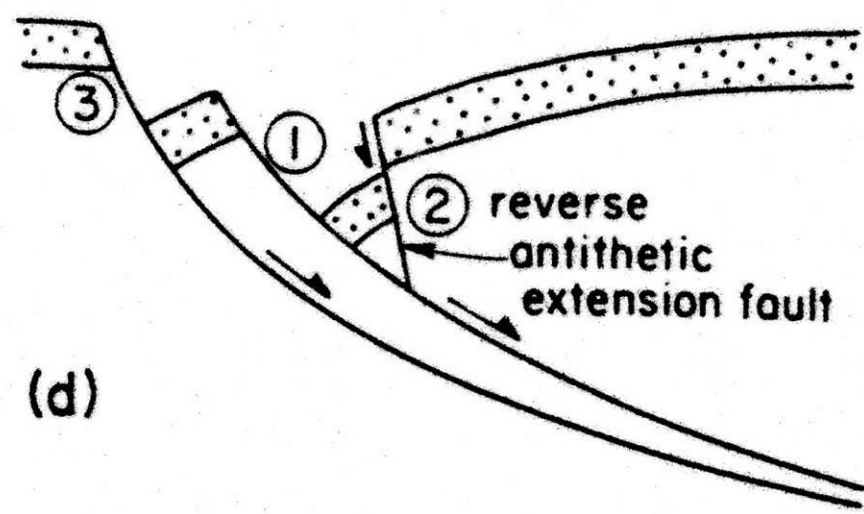
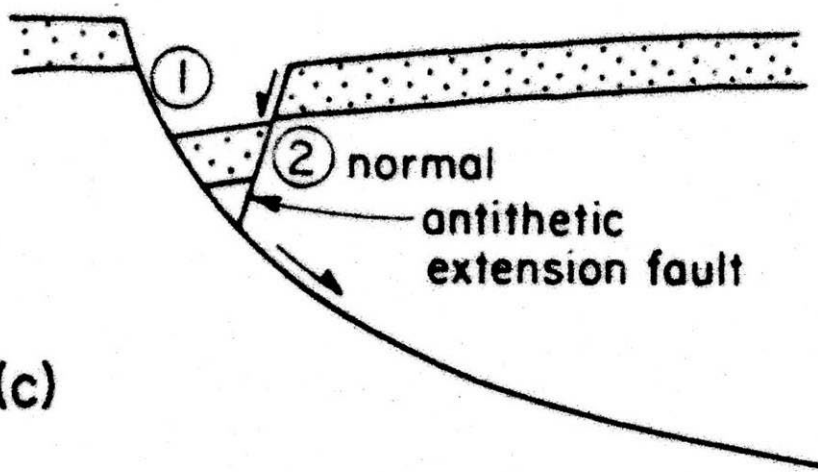
Da Hatcher, 1995



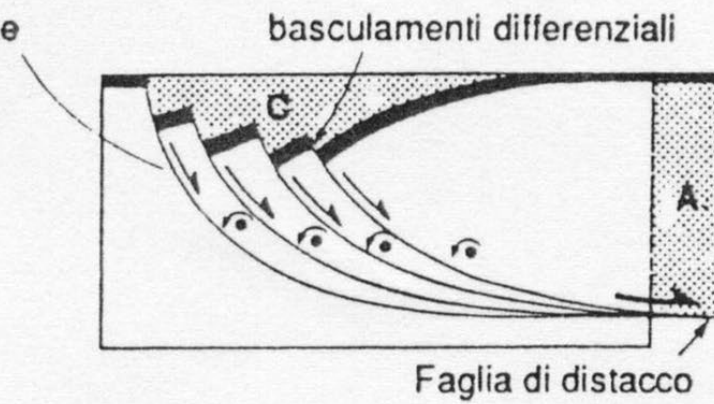
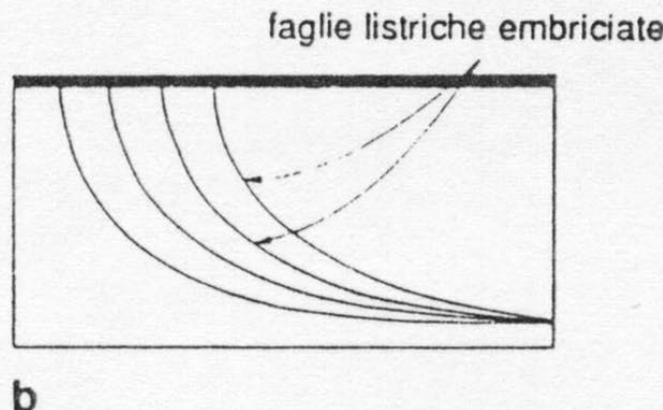
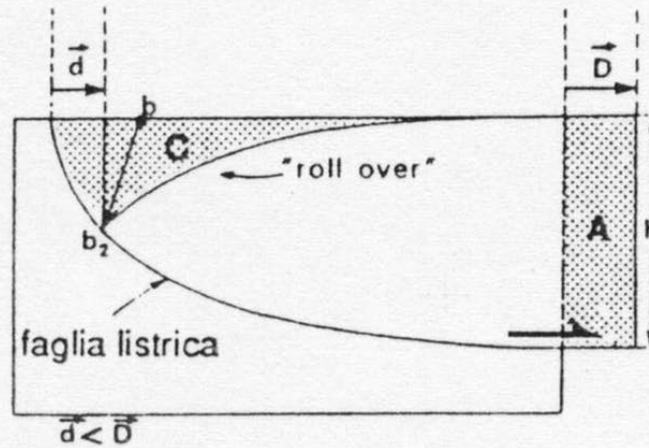
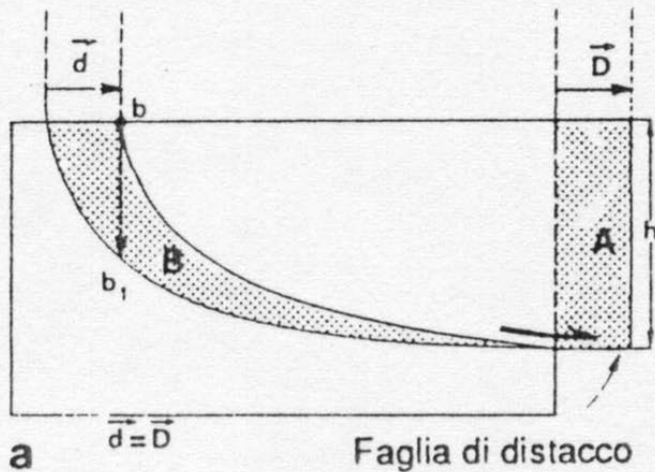
Faglia listrica



Da Ramsay and Huber, 1987

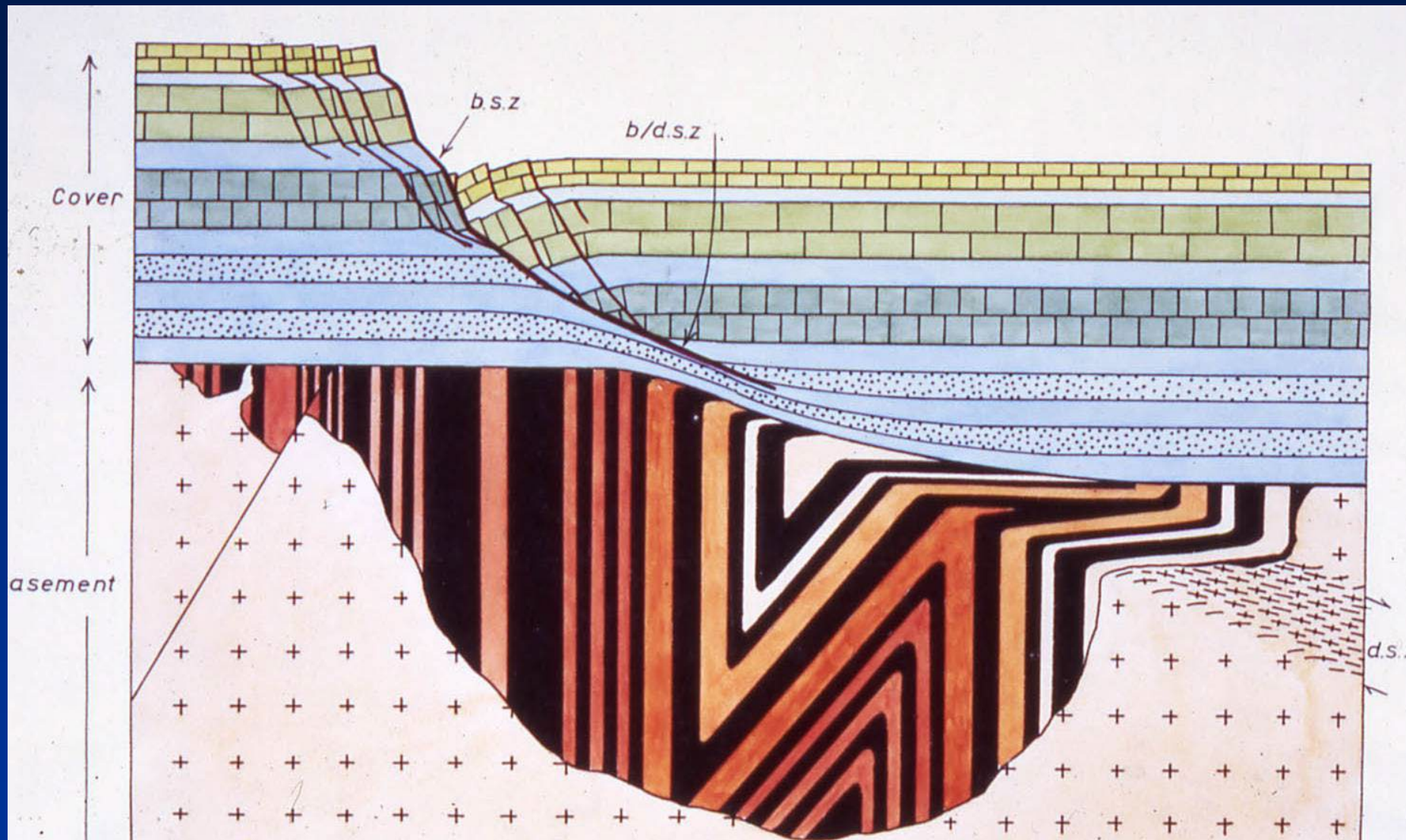


Da Hancock, 1985



Da Mercier & Vergely, 1996

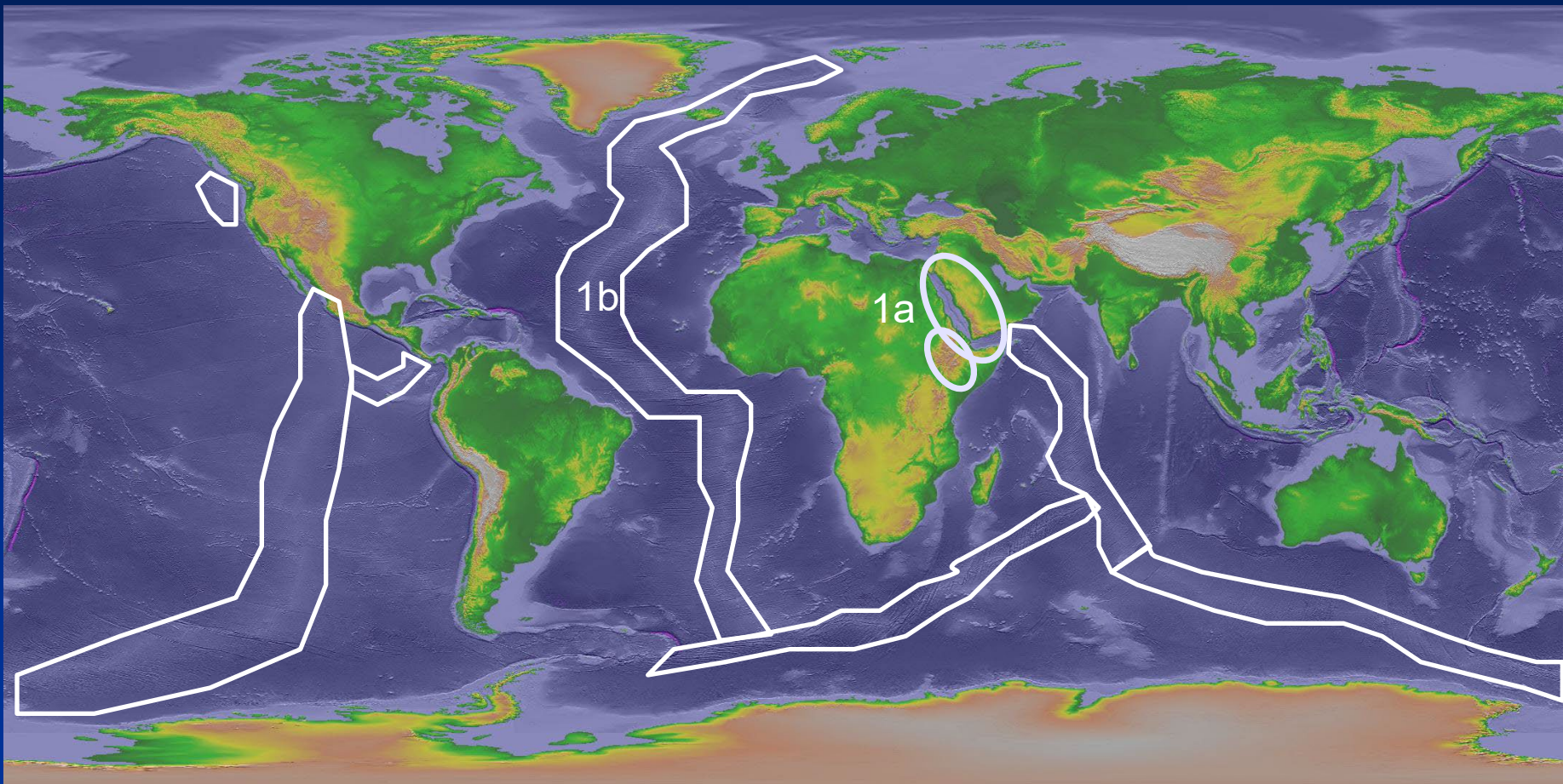
Estensione crostale



Da Ramsay and Huber, 1987

Associazioni di faglie normali

1) associazioni estensionali in ambienti geodinamici divergenti

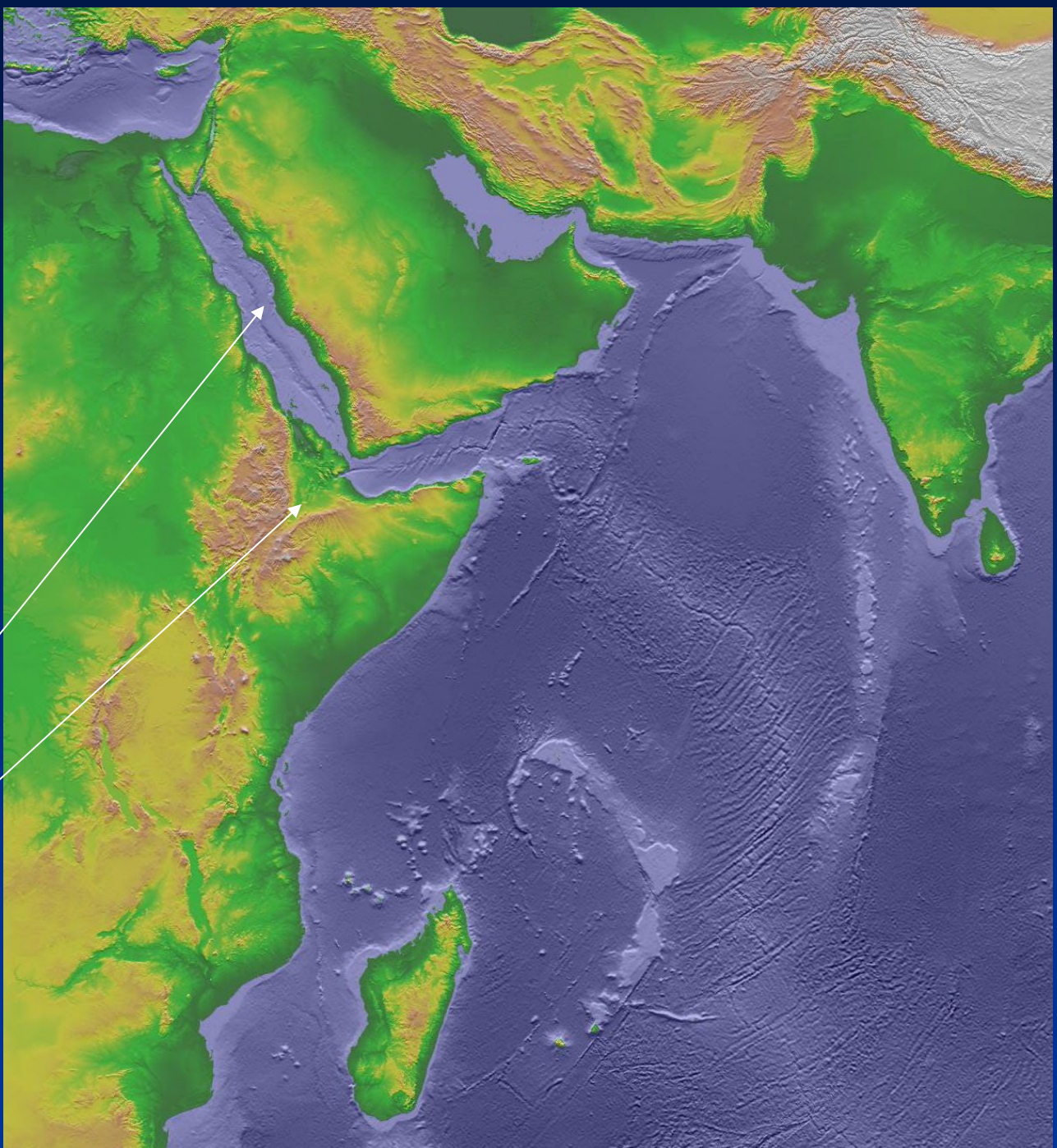


Shaded reliefs e batimetria da NOAA National Centers for Environmental Information (NCEI)

1a) estensione e
assottigliamento
di crosta
continentale che
porta a crosta
oceànica (*from
rift to drift*)

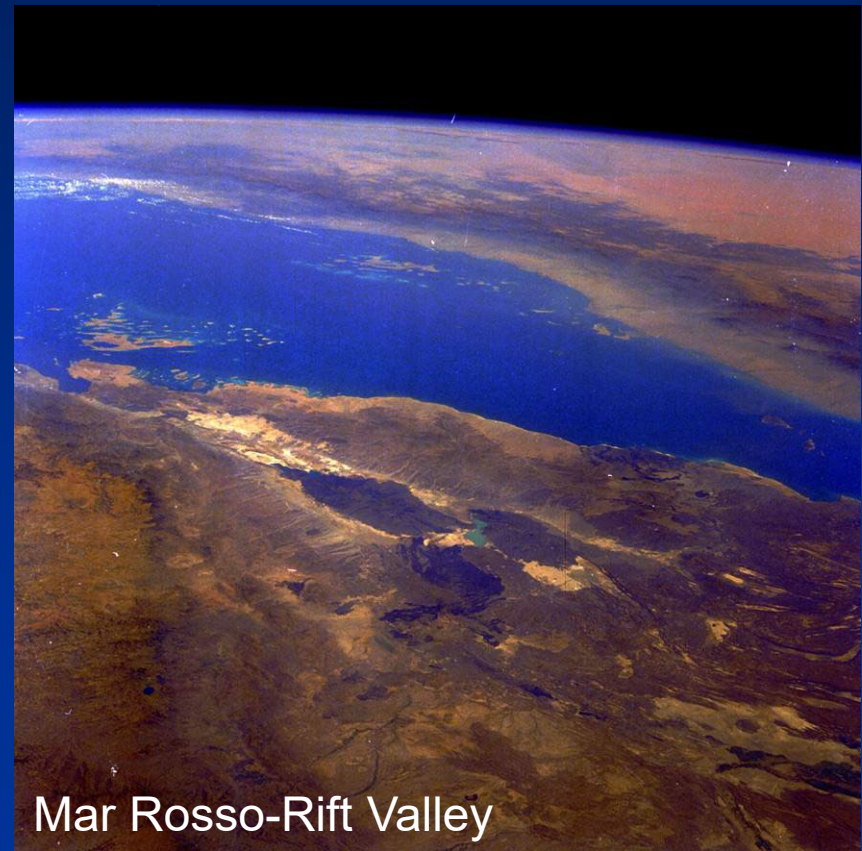
Mar Rosso

Afar, Etiopia, valle del Rift

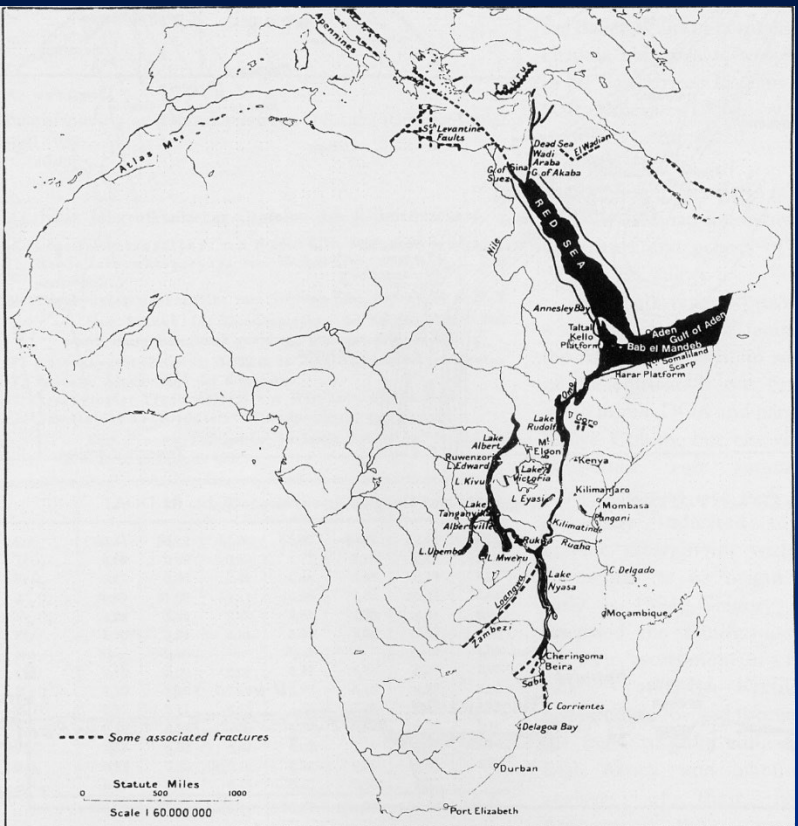


Associazioni estensionali, ambienti geodinamici divergenti

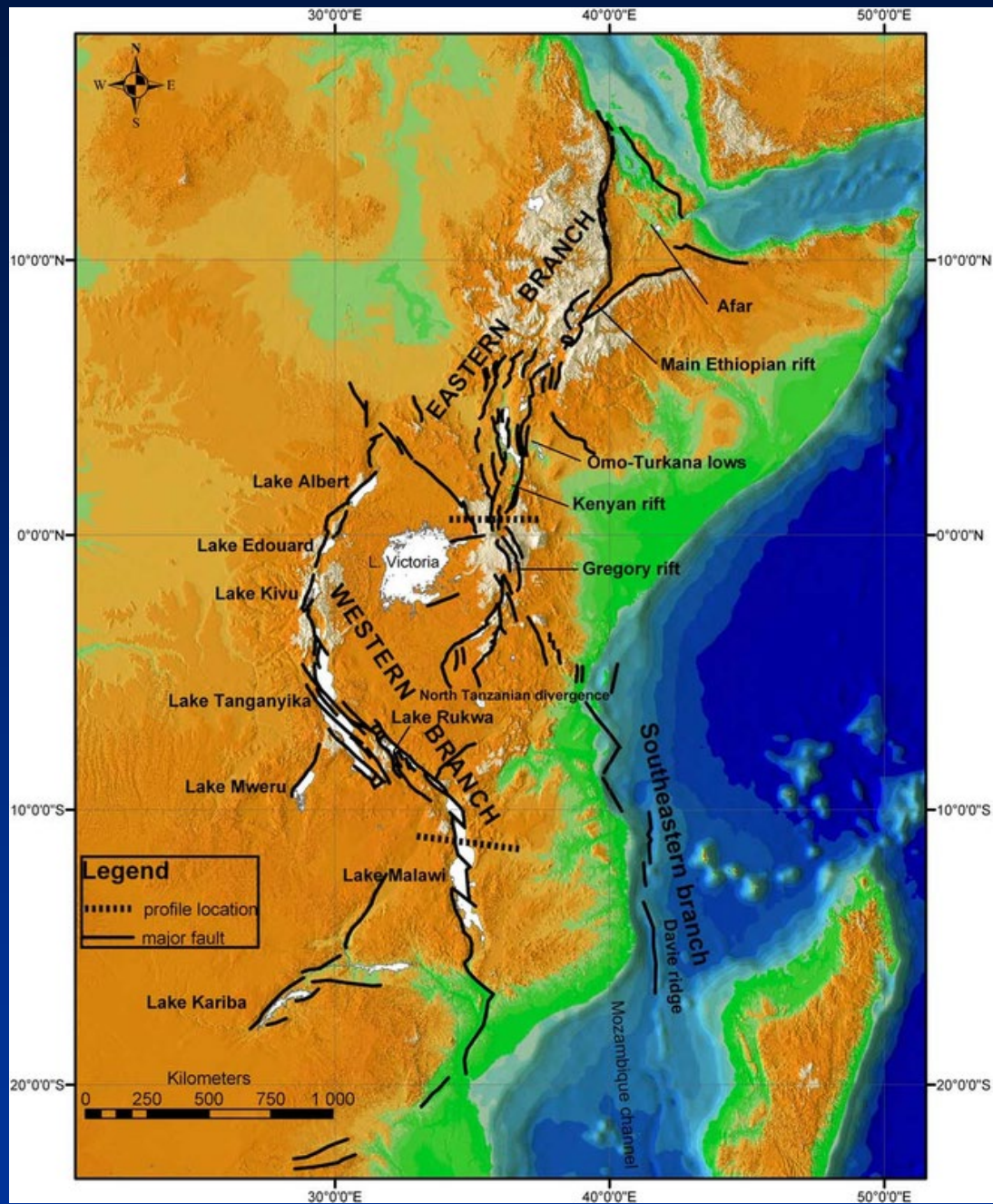
1a) estensione e assottigliamento crosta continentale che porta a crosta oceanica (*from rift to drift*)



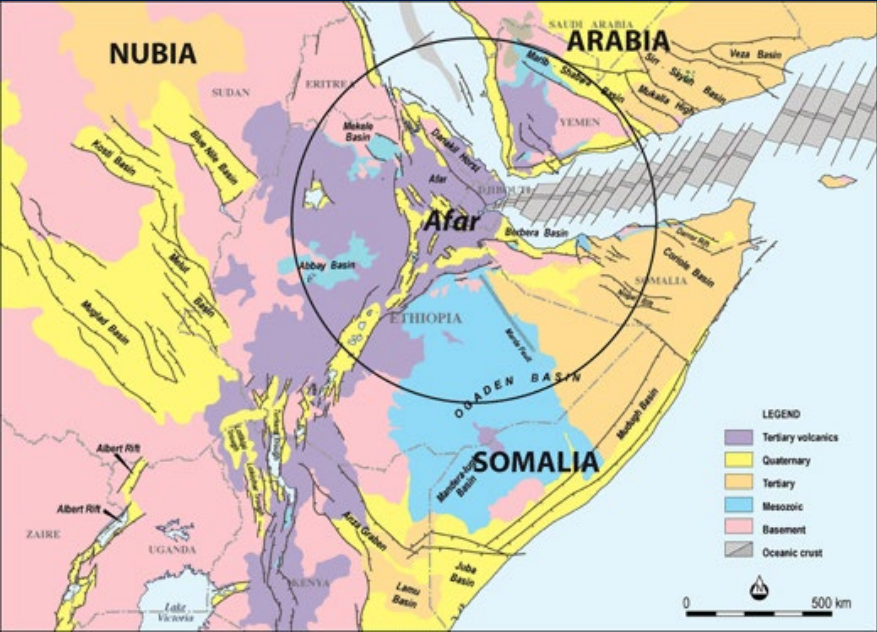
Mar Rosso-Rift Valley



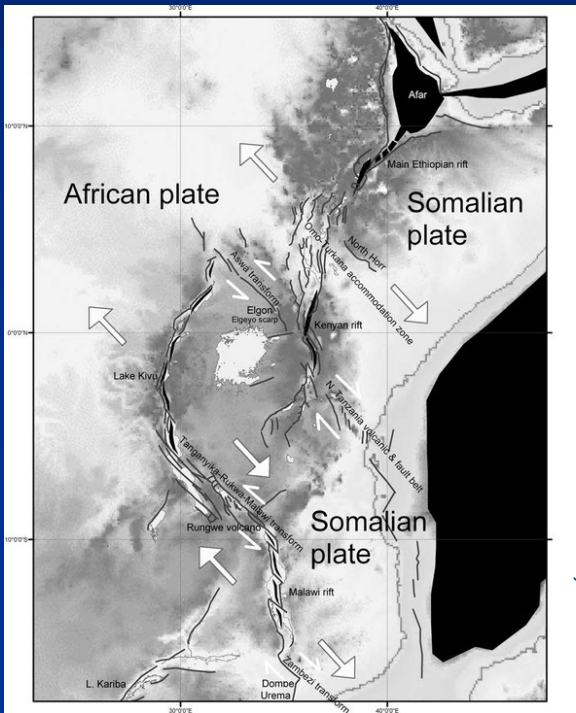
J. Gregory's 1920 map of the East African rift v.



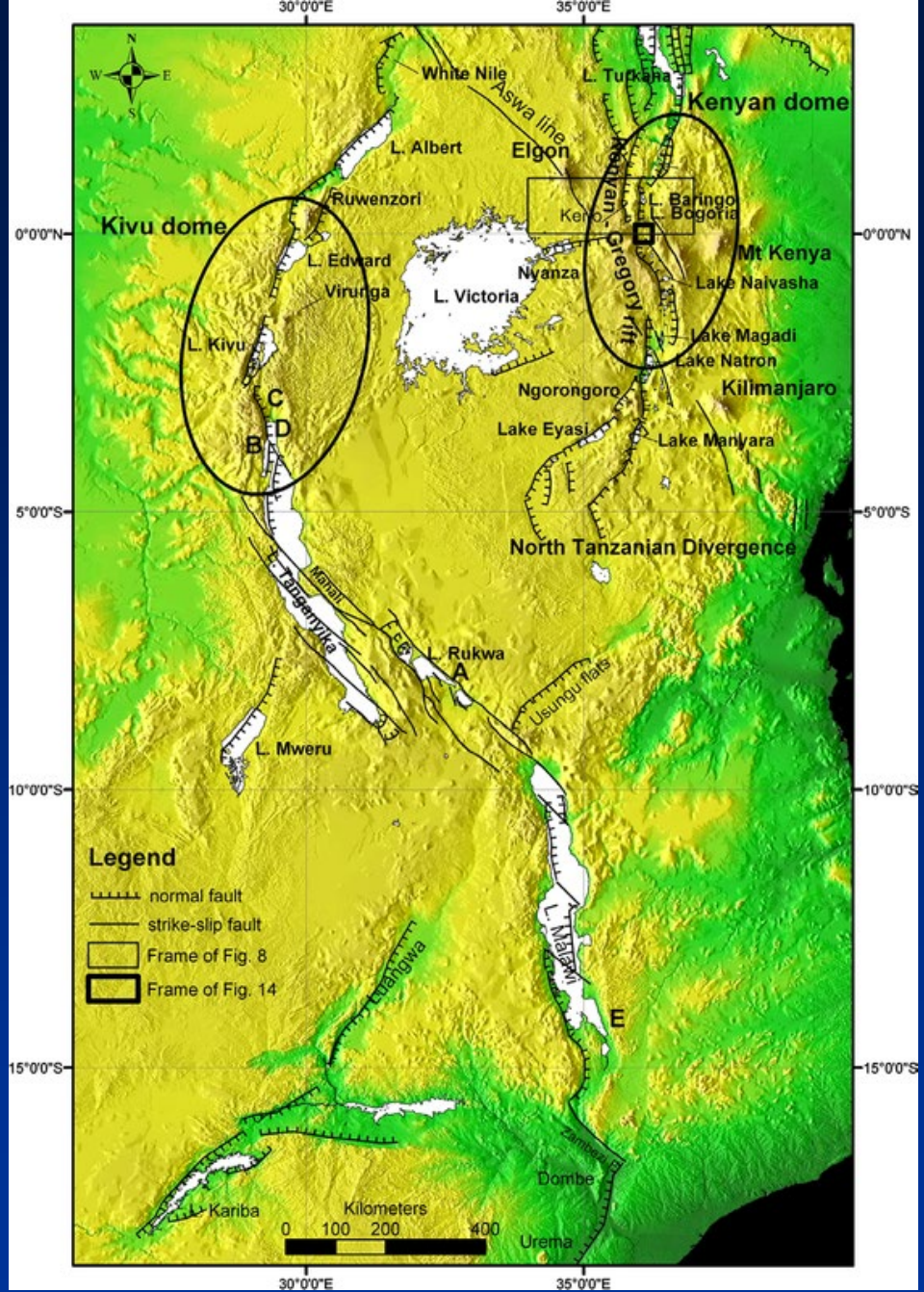
Chorowitz, 2005



Mège et al., 2015



Chorowitz, 2005



Chorowitz, 2005

associazioni estensionali, ambienti geodinamici divergenti

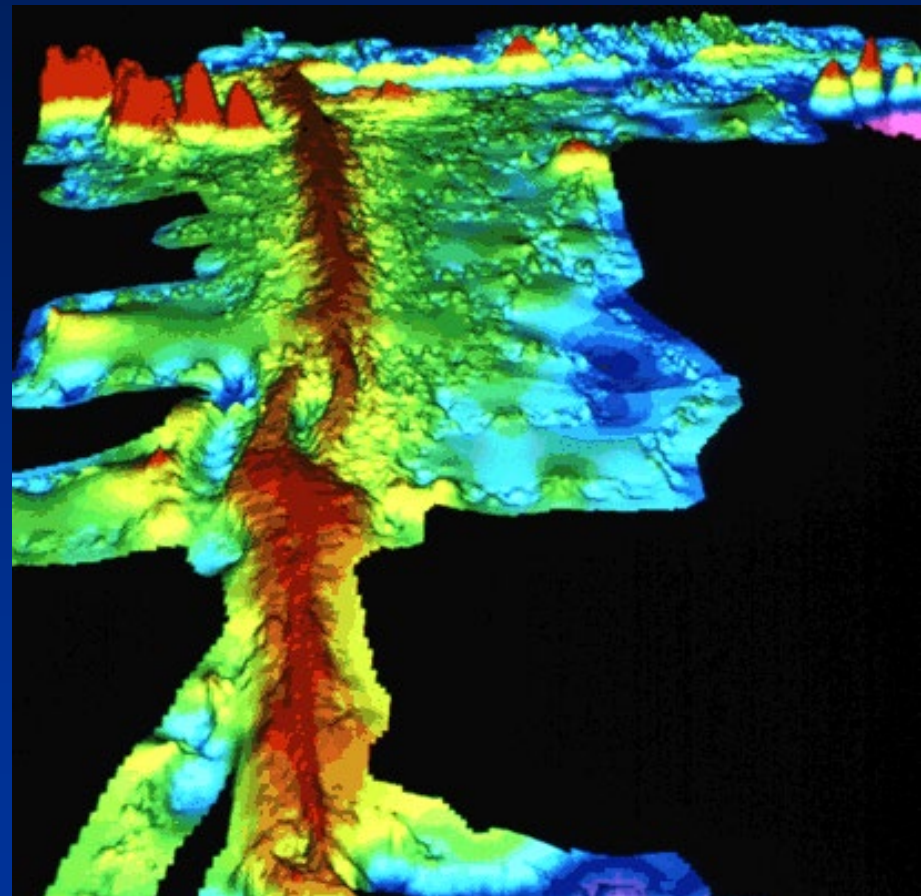
1b) formazione di crosta oceanica, dorsali !!

Islanda, zona di dorsale Thingvellir
national park



Da Oddur Sigurdsson, National Energy Authority,
Iceland

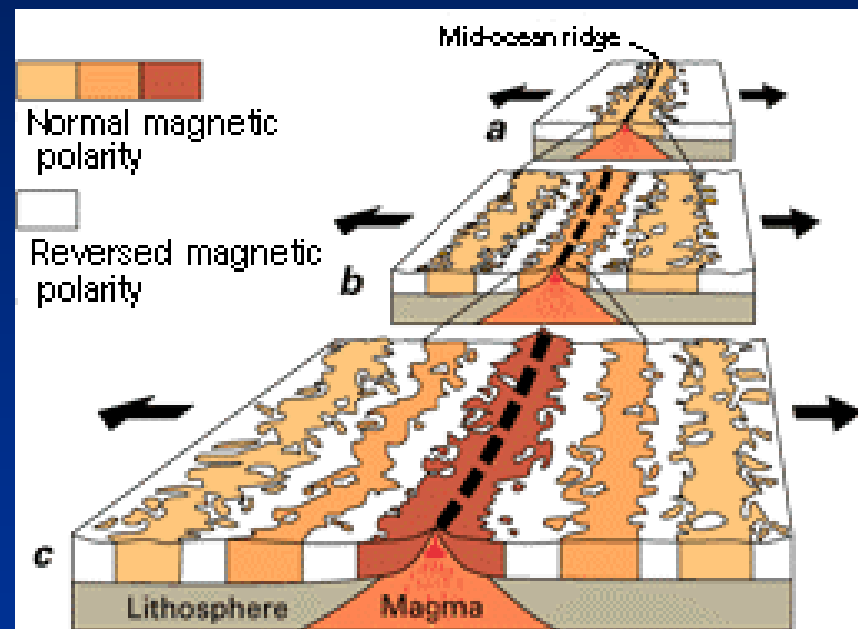
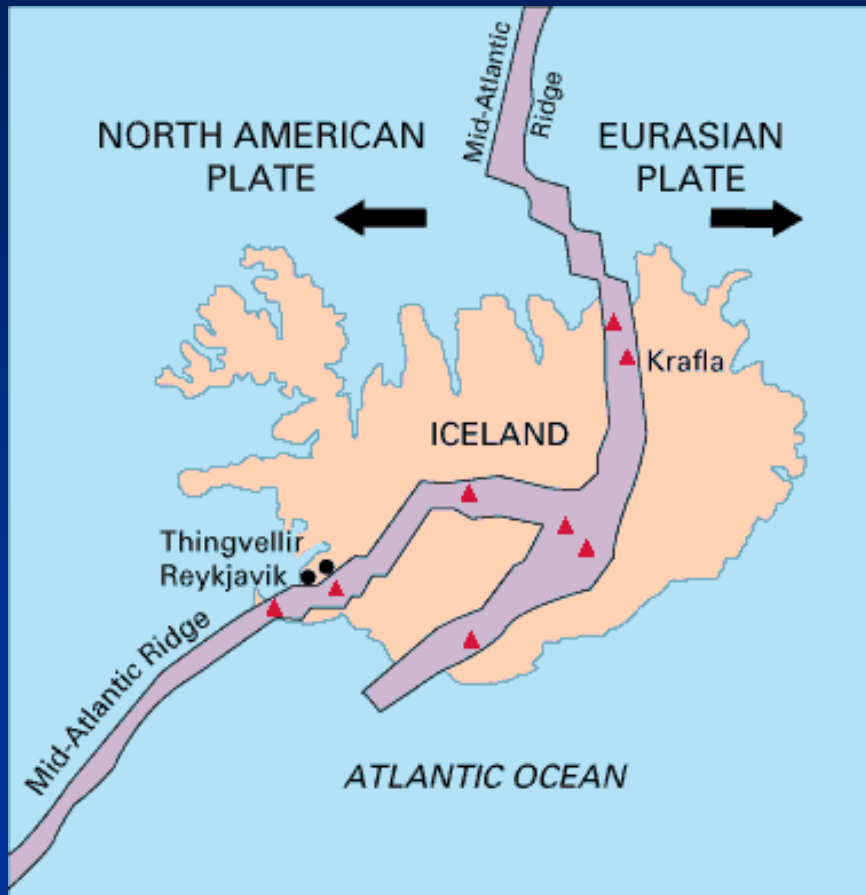
Zona di dorsale medio-oceanica pacifica



<https://pubs.usgs.gov/gip/dynamic/topomap.html> (from Stacey Tighe, University of Rhode Island)

associazioni estensionali, ambienti geodinamici divergenti

Formazione di crosta oceanica, dorsali !!



<http://factsanddetails.com/world/cat51/sub323/item2212.html>

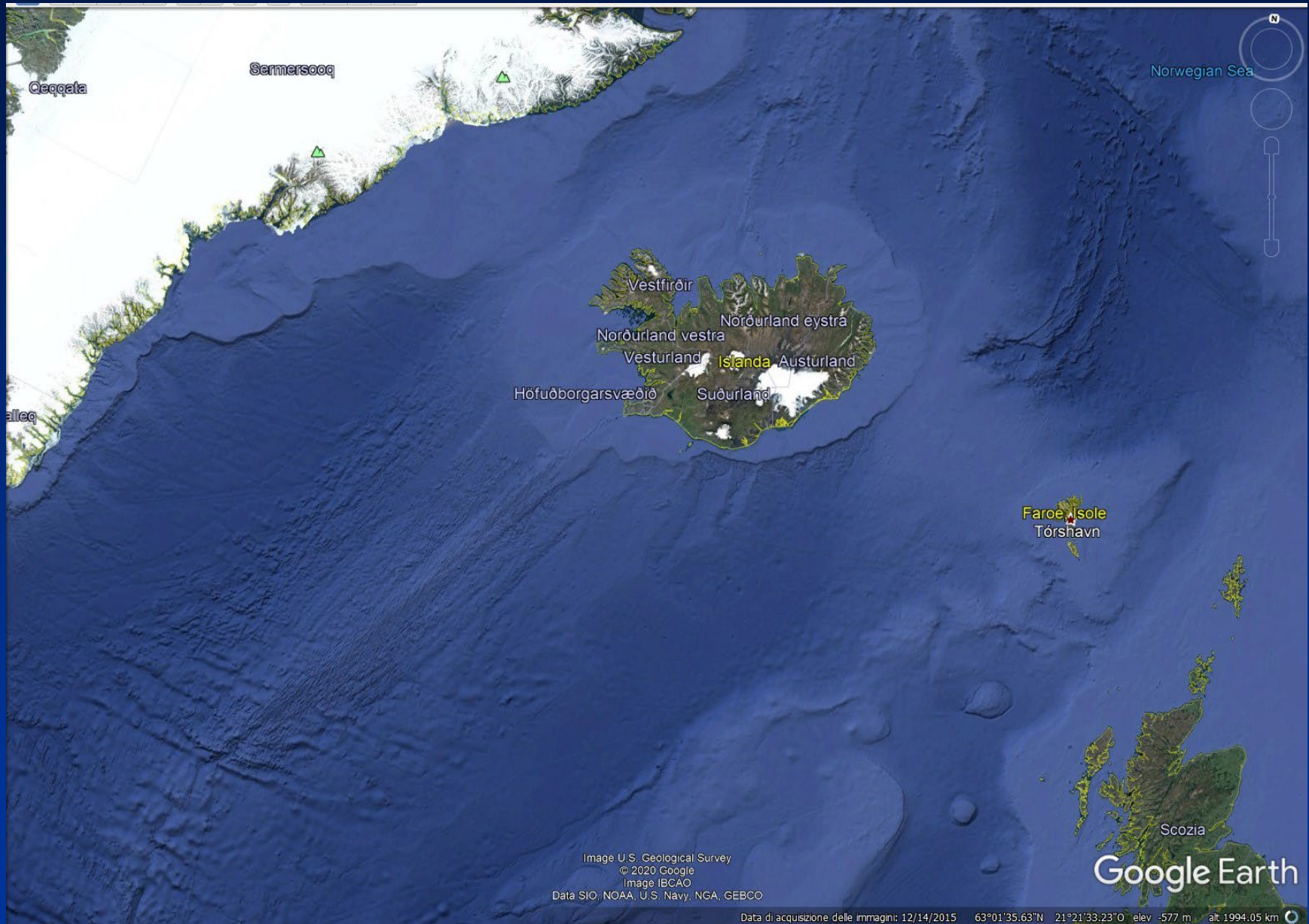
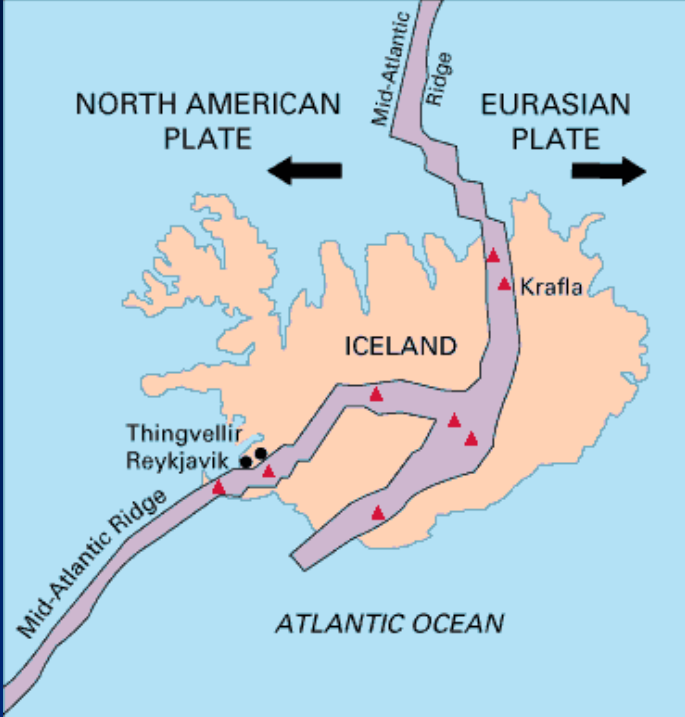
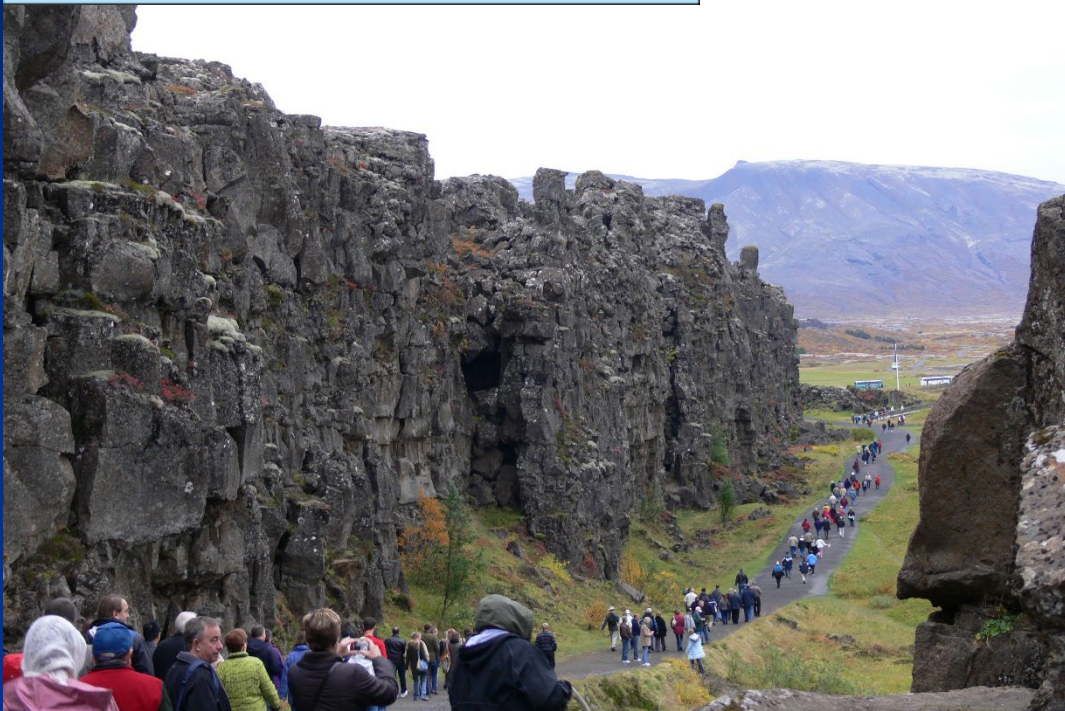


Image U.S. Geological Survey
© 2020 Google
Image IBCAO
Data SIO, NOAA, U.S. Navy, NGA, GEBCO

Data di acquisizione delle immagini: 12/14/2015 63°01'35.63"N 21°21'33.23"E elev -577 m alt 1994.05 km

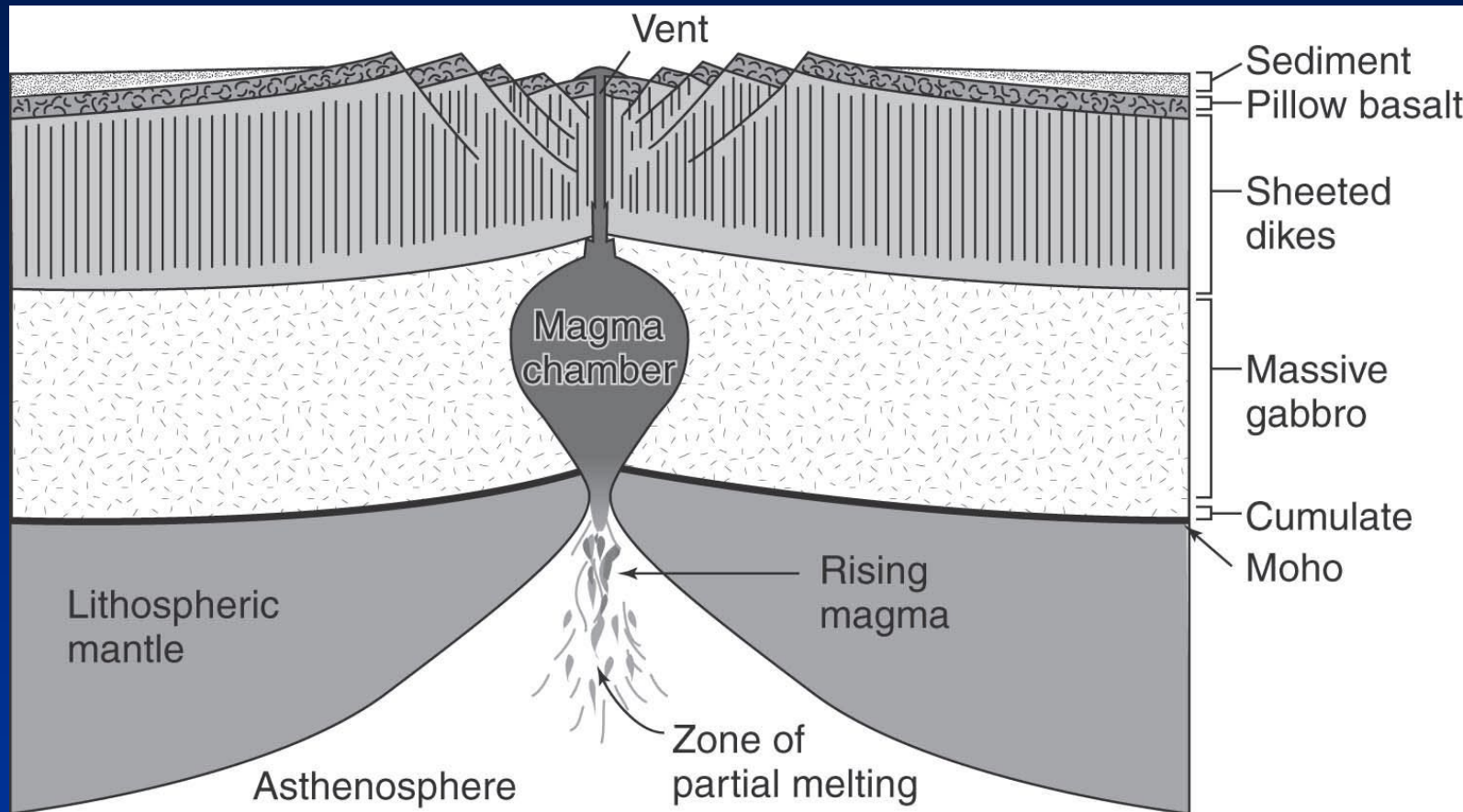


USGS:
<https://pubs.usgs.gov/gip/dynamic/understanding.html>

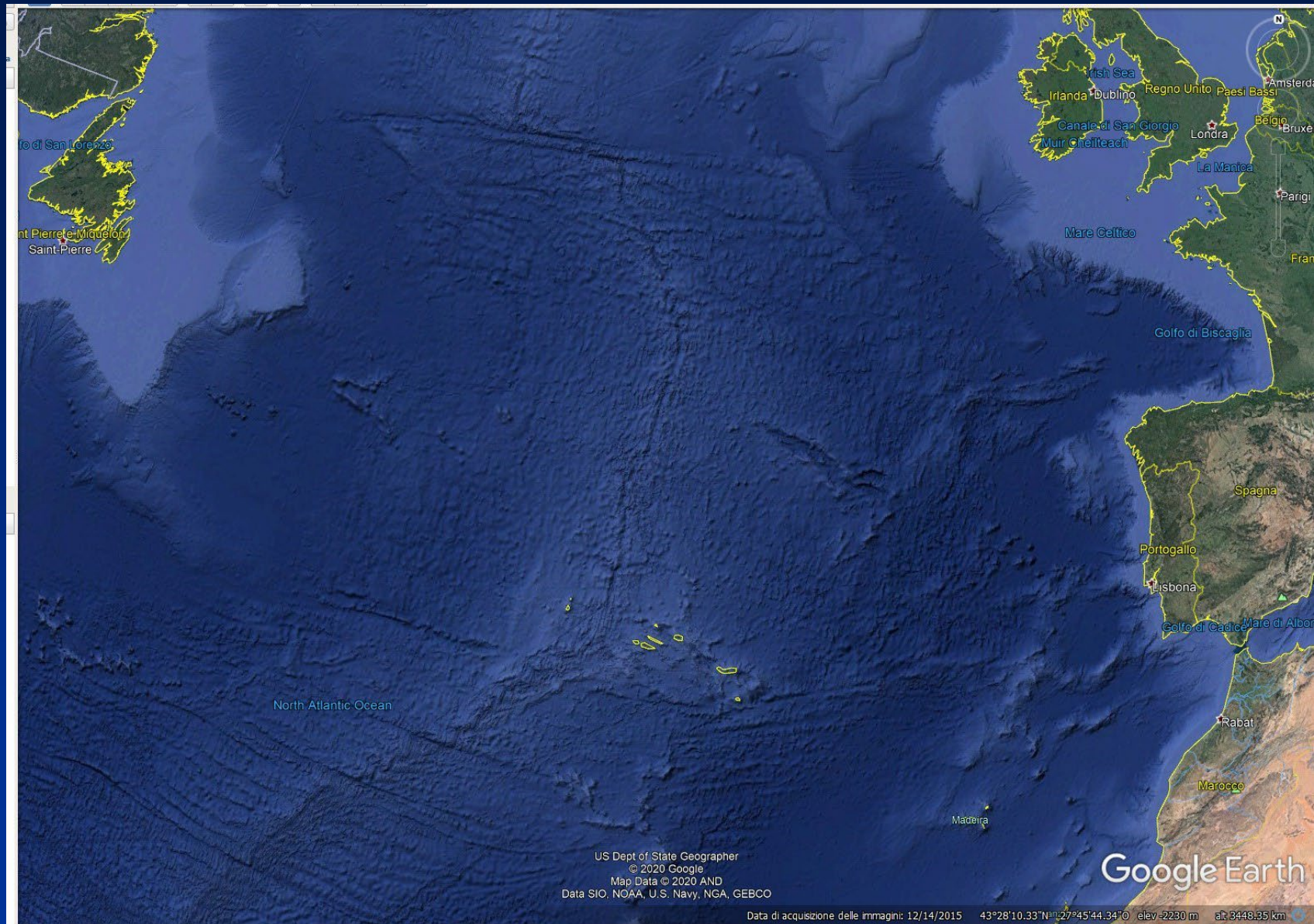


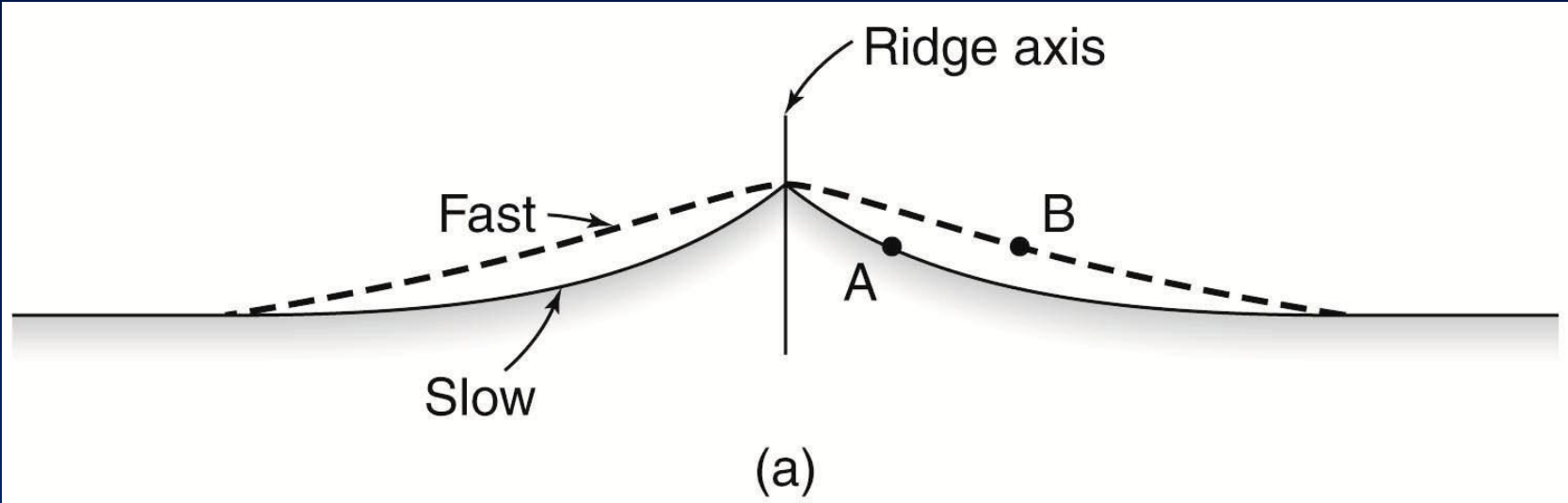
Thingvellir National Park, Iceland

https://commons.wikimedia.org/wiki/File:Iceland_mid_atlantic_ridge.JPG

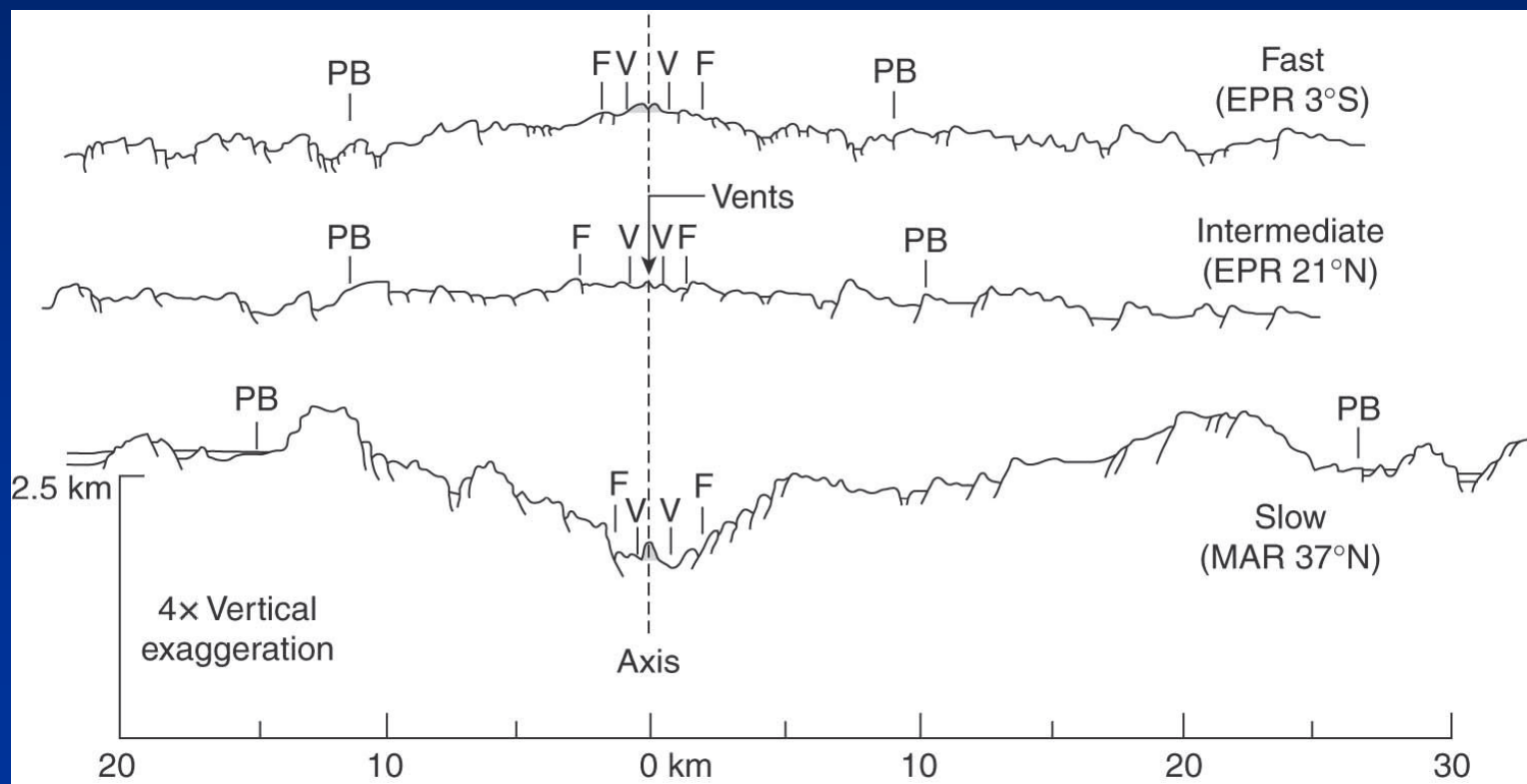


Da van der Pluijm & Marshak, 2004



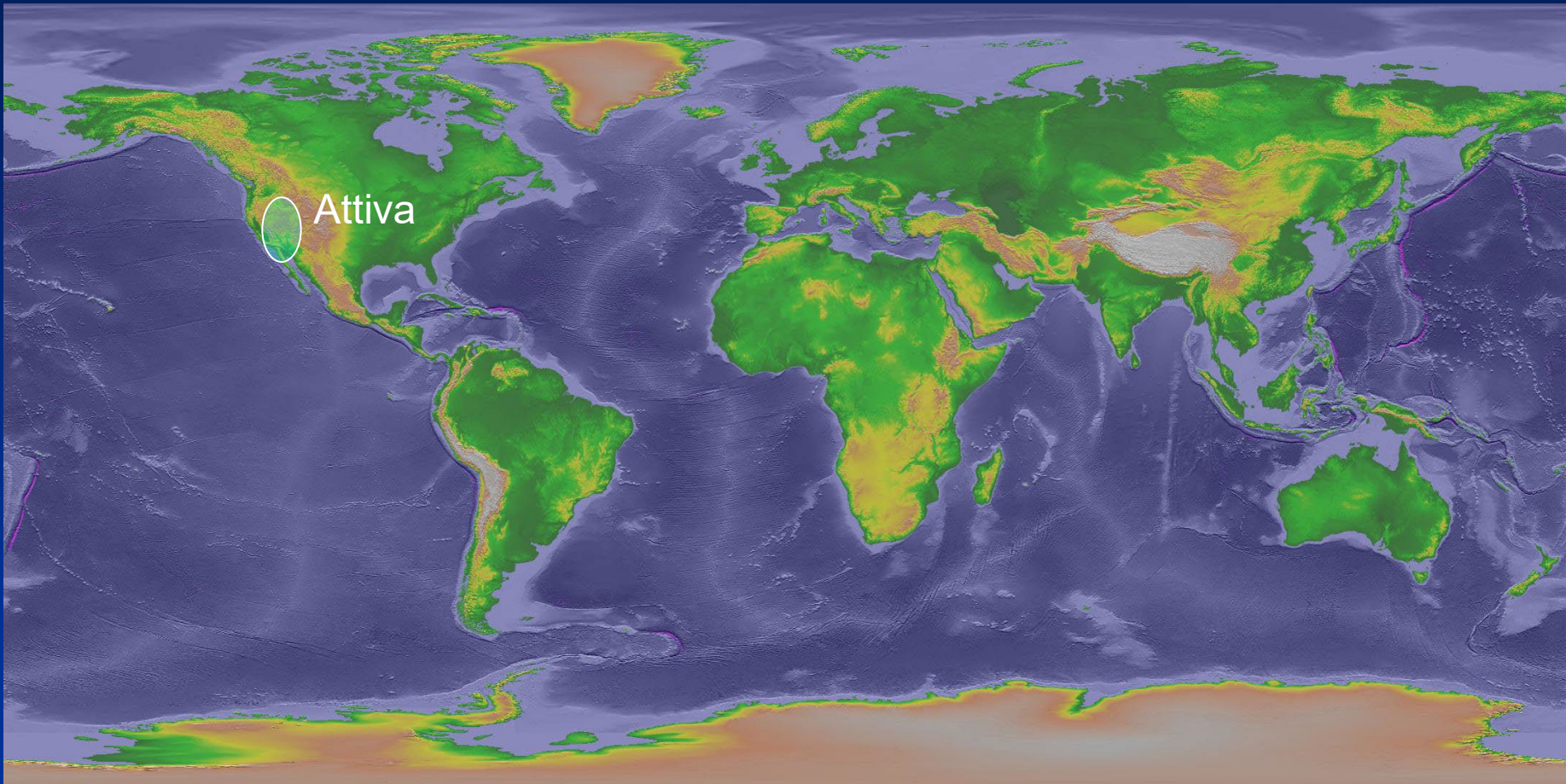


Da van der Pluijm & Marshak, 2004



Associazioni di faglie normali

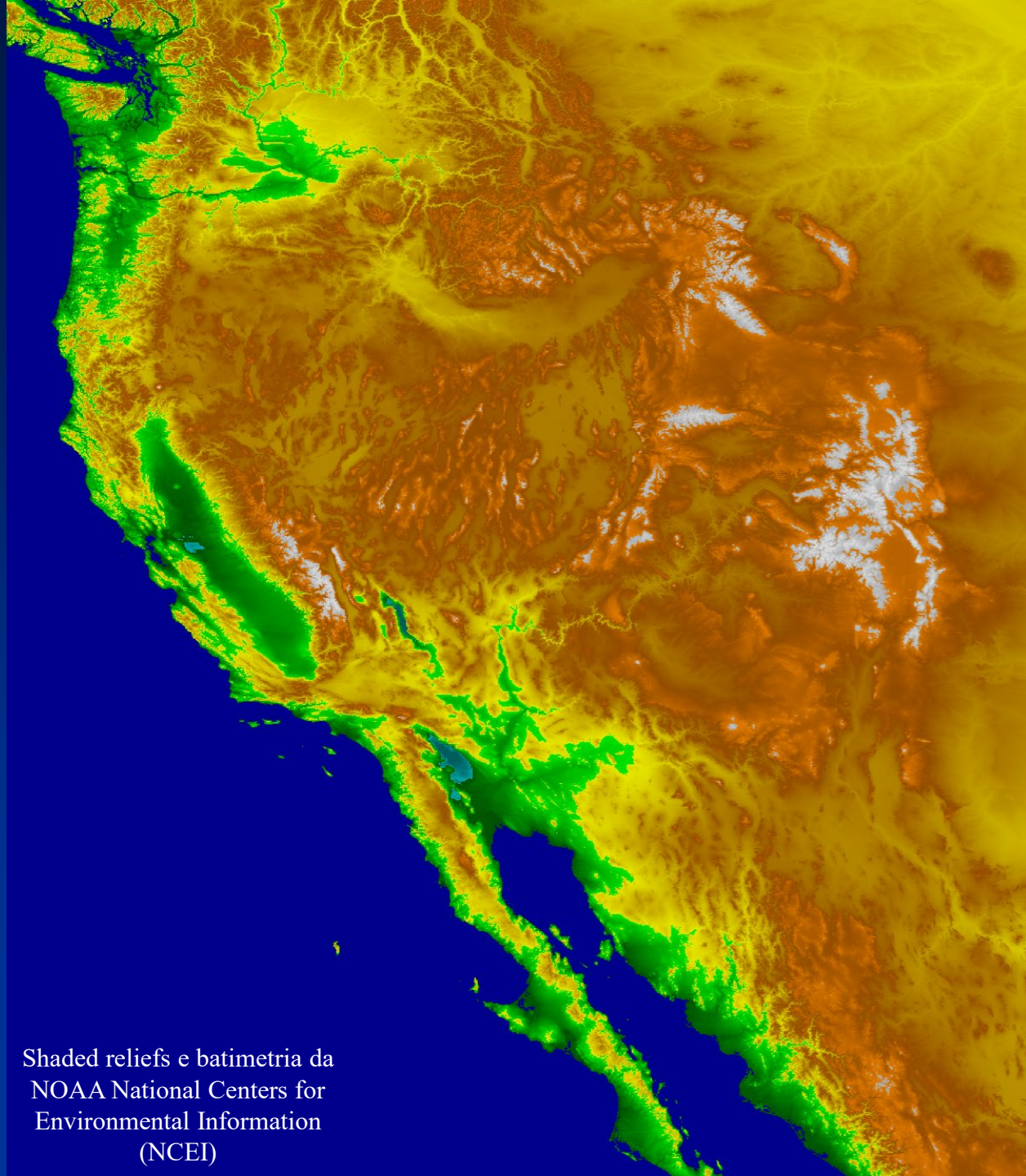
2a) associazioni estensionali in ambienti geodinamici divergenti prossimi a margini trascorrenti/convergenti



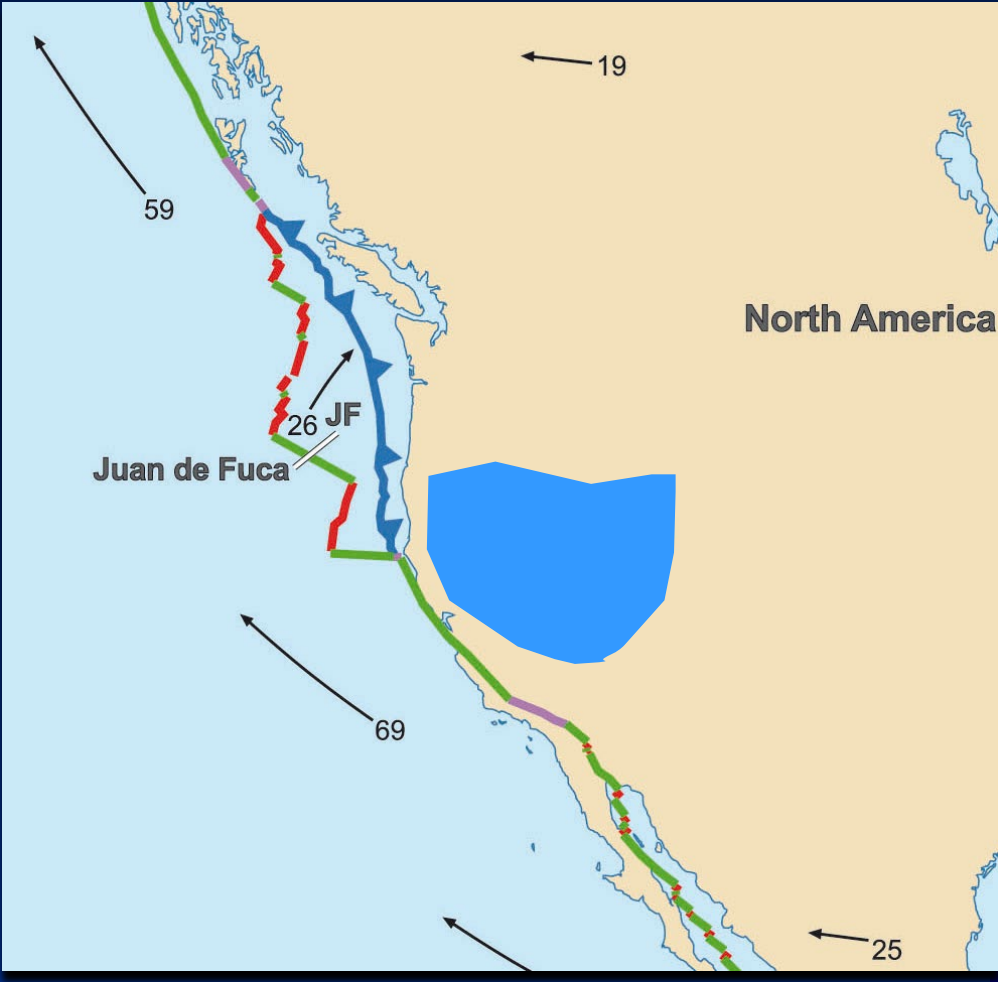
Shaded reliefs e batimetria da NOAA National Centers for Environmental Information (NCEI)

Associazioni estensionali in ambienti geodinamici divergenti prossimi a margini trascorrenti/ convergenti

Basin & Range, estensione
intra-continentale



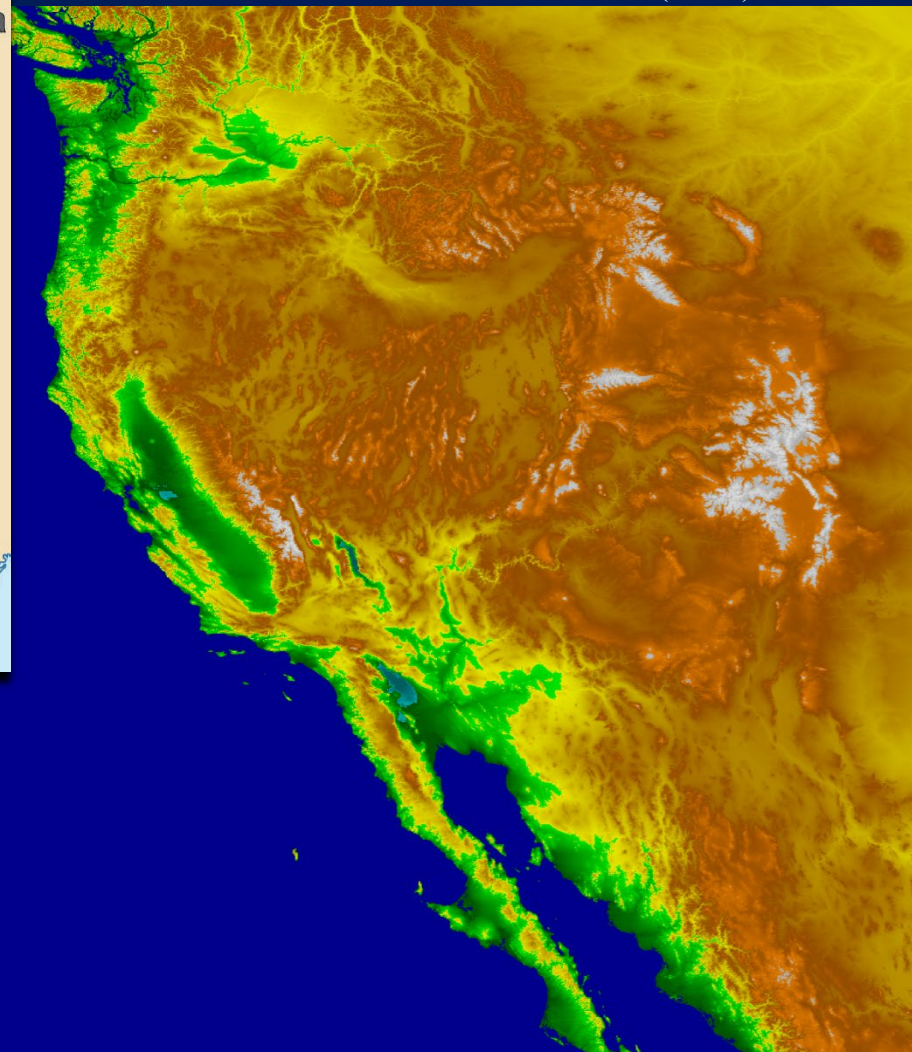
Shaded reliefs e batimetria da
NOAA National Centers for
Environmental Information
(NCEI)



Basin & Range, estensione
intra-continentale

[https://commons.wikimedia.org/wiki/
File:Tectonic_plates_boundaries_detailed-en.svg](https://commons.wikimedia.org/wiki/File:Tectonic_plates_boundaries_detailed-en.svg)

Shaded reliefs e batimetria da
NOAA National Centers for
Environmental Information
(NCEI)

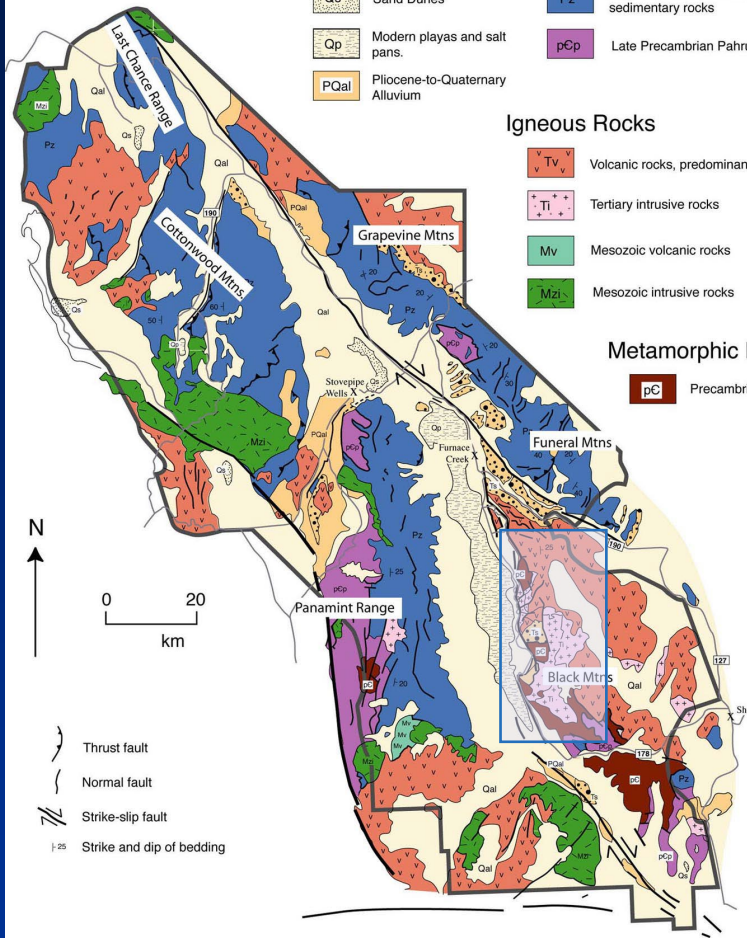


Death Valley National Park, California

compiled by Marli Bryant Miller

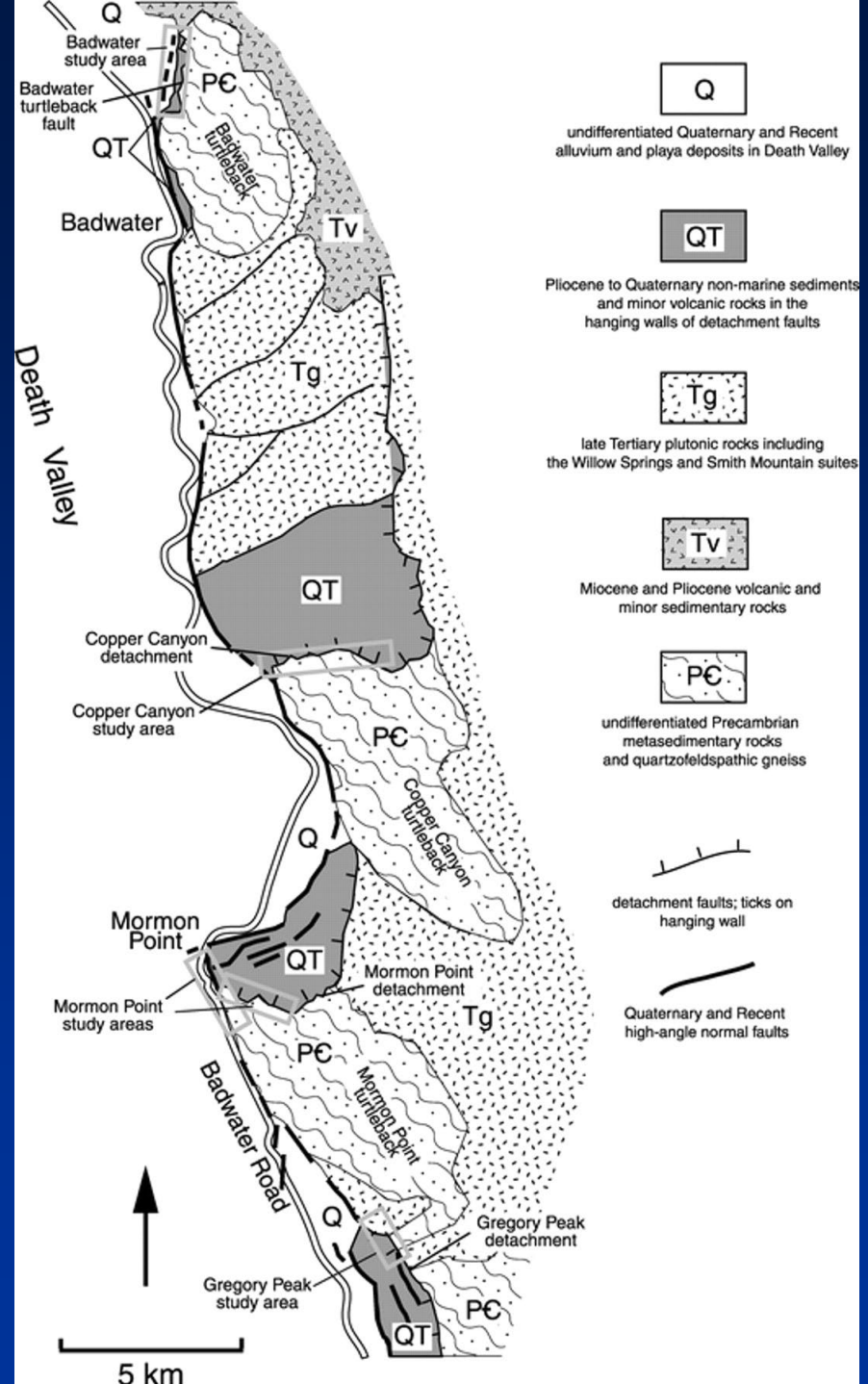
Sediments and Sedimentary Rocks

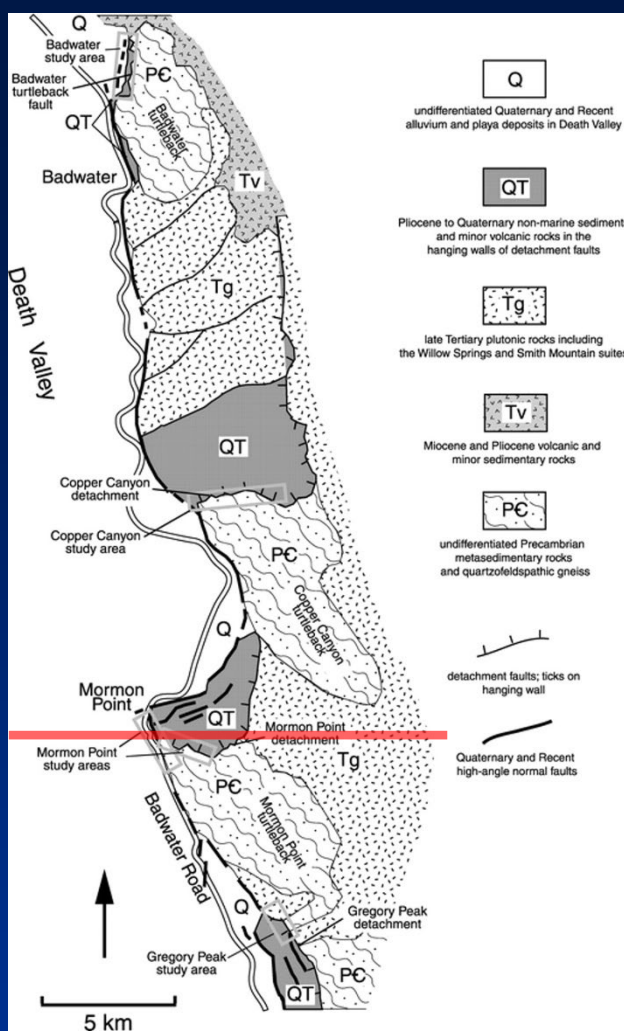
Qal	Quaternary Alluvium
Qs	Sand Dunes
Qp	Modern playas and salt pans.
PQal	Pliocene-to-Quaternary Alluvium
Ts	Tertiary sedimentary rocks
Pz	Paleozoic and Late Proterozoic sedimentary rocks
pCp	Late Precambrian Pahrump Group



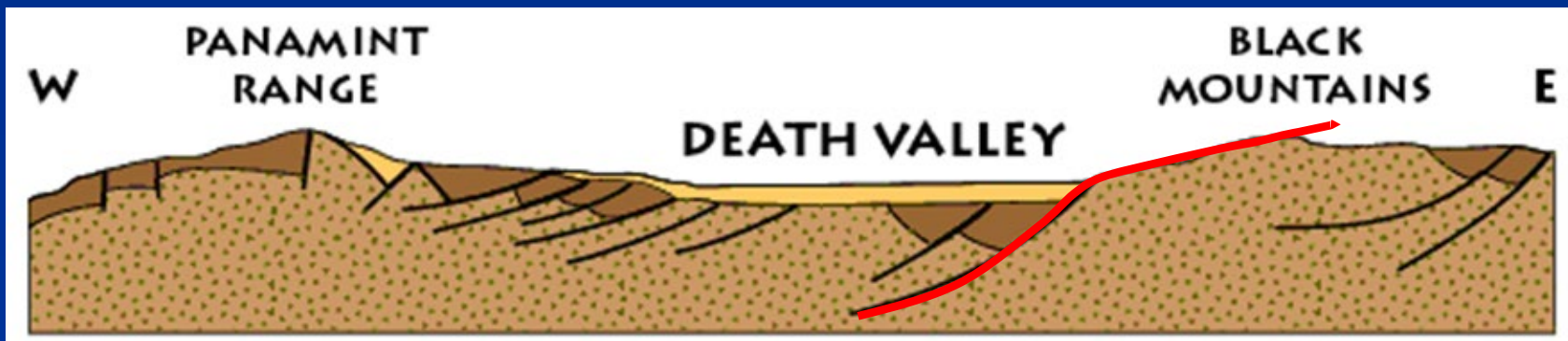
Da Bryant Miller M.

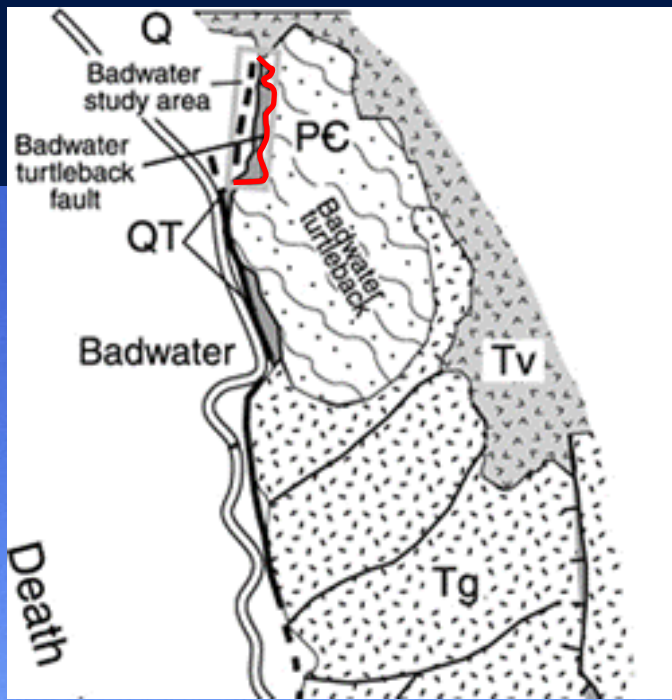
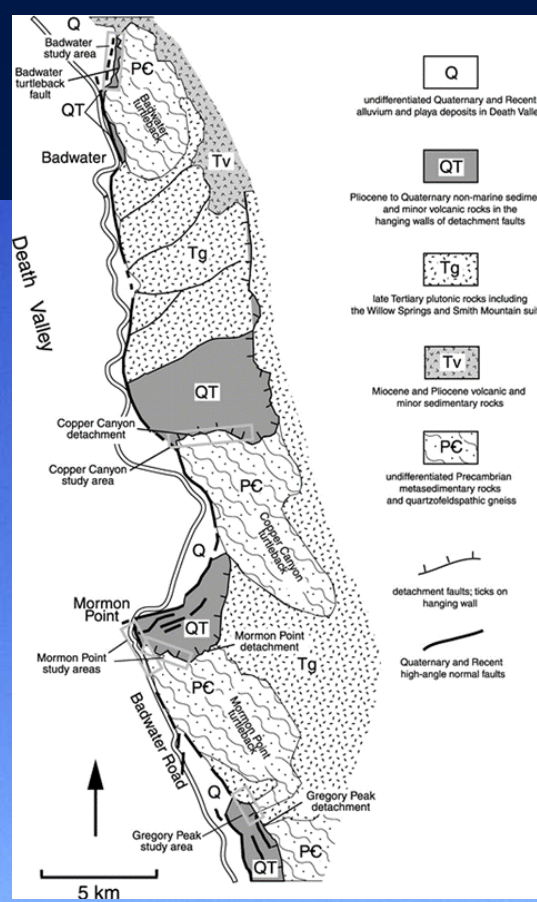
Valle della morte (Basin & Range)



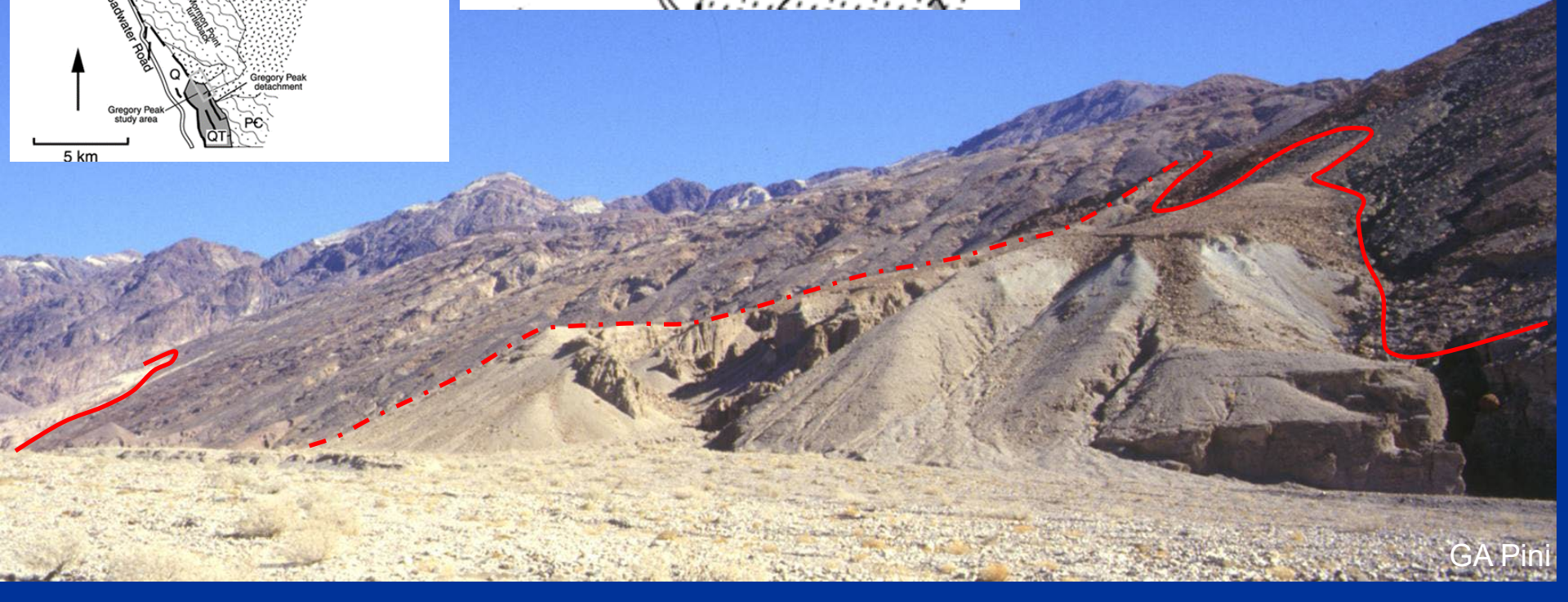


USGS Geology of Death Valley National Park

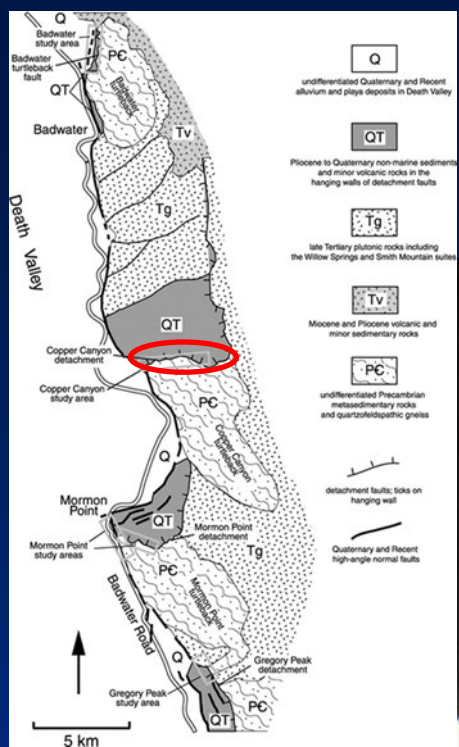




Badwater Turtleback normal fault



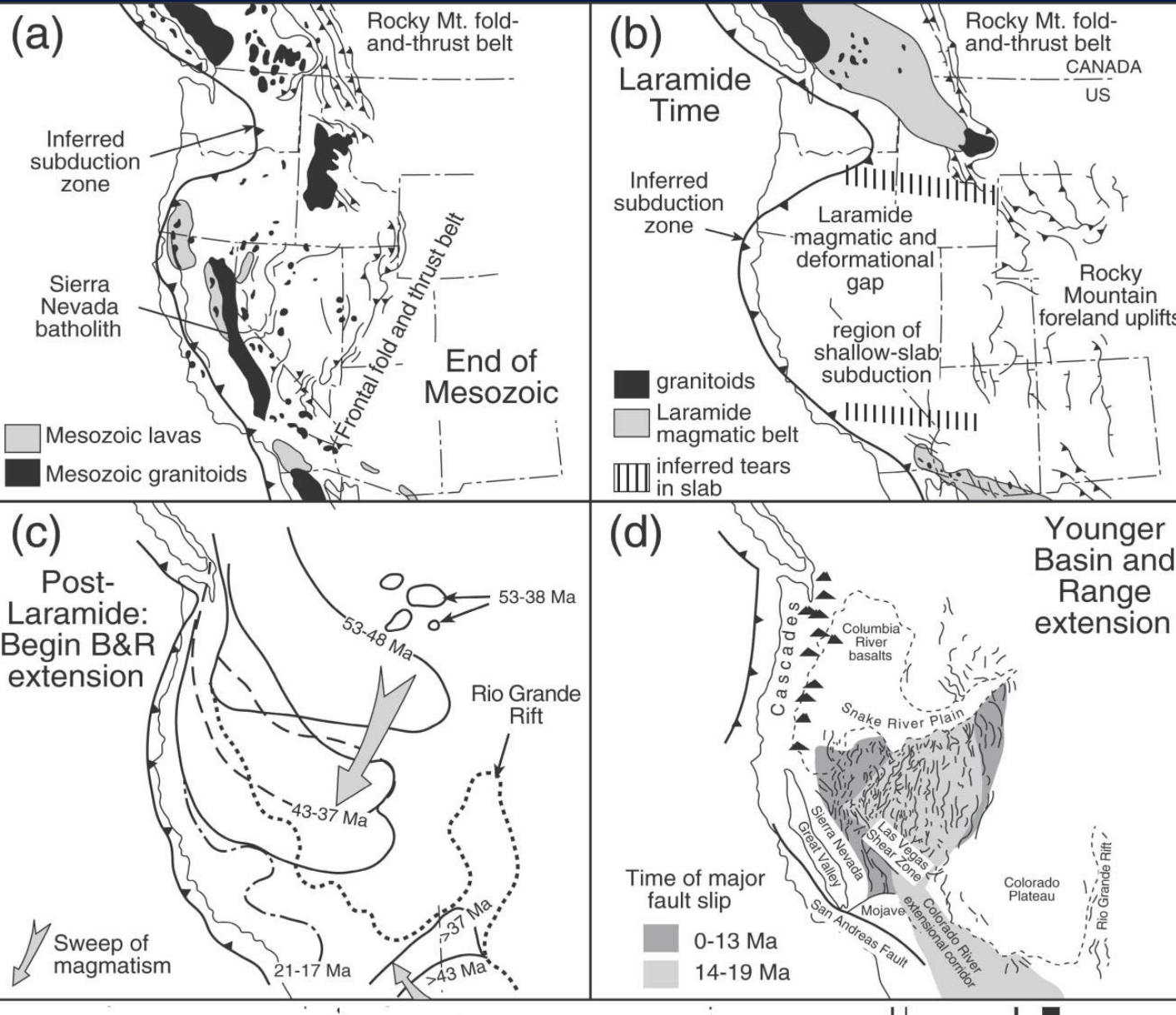
Badwater Turtleback normal fault: Copper Canyon fault zone



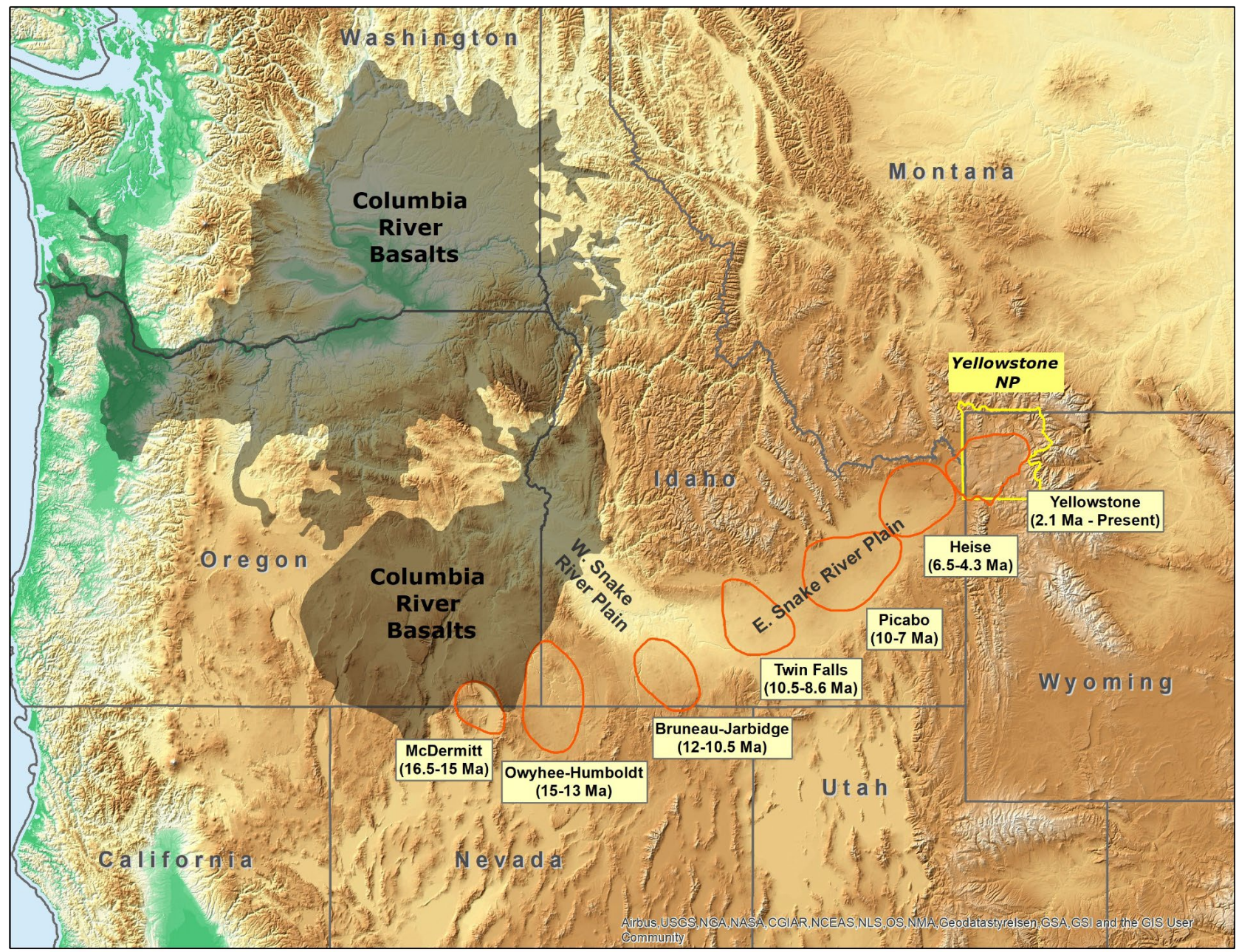
GA Pini



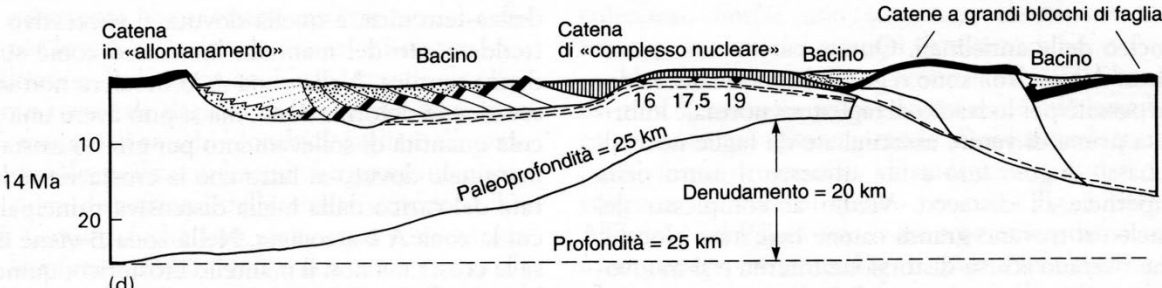
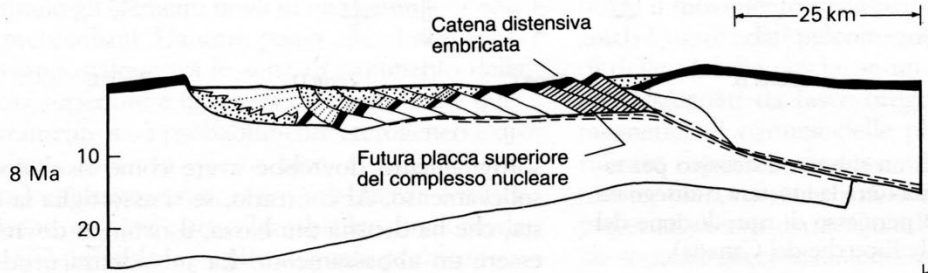
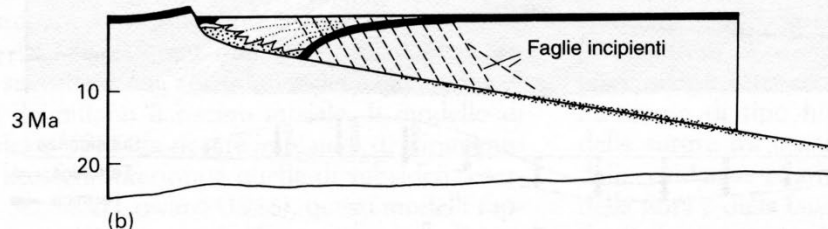
North America



Orogenesi
Laramide
tardo
Cretacico,
80-70 Ma



Tempo a 5 mm a⁻¹



Riferimento pre-orogenico

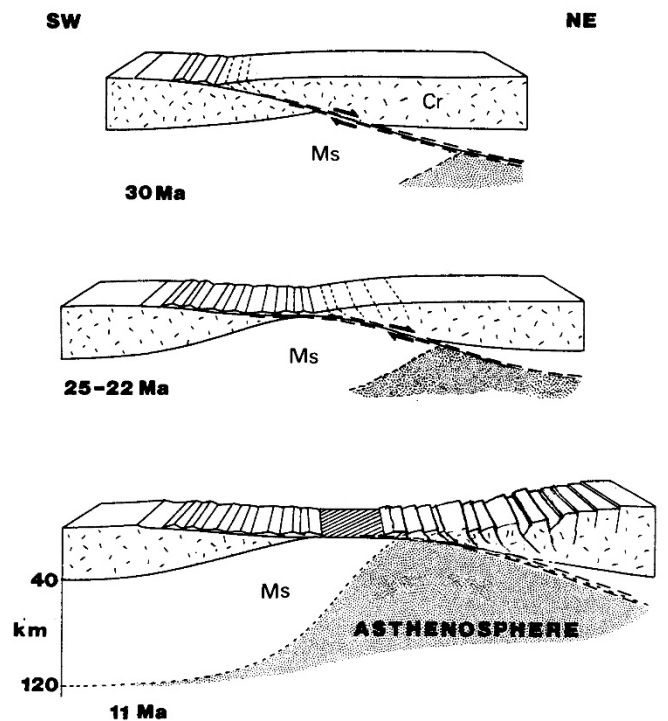
Depositi clastici orogenici: fini-lacustri grossolani

Rocce molto assottigliate e stirate

Zona di taglio duttile

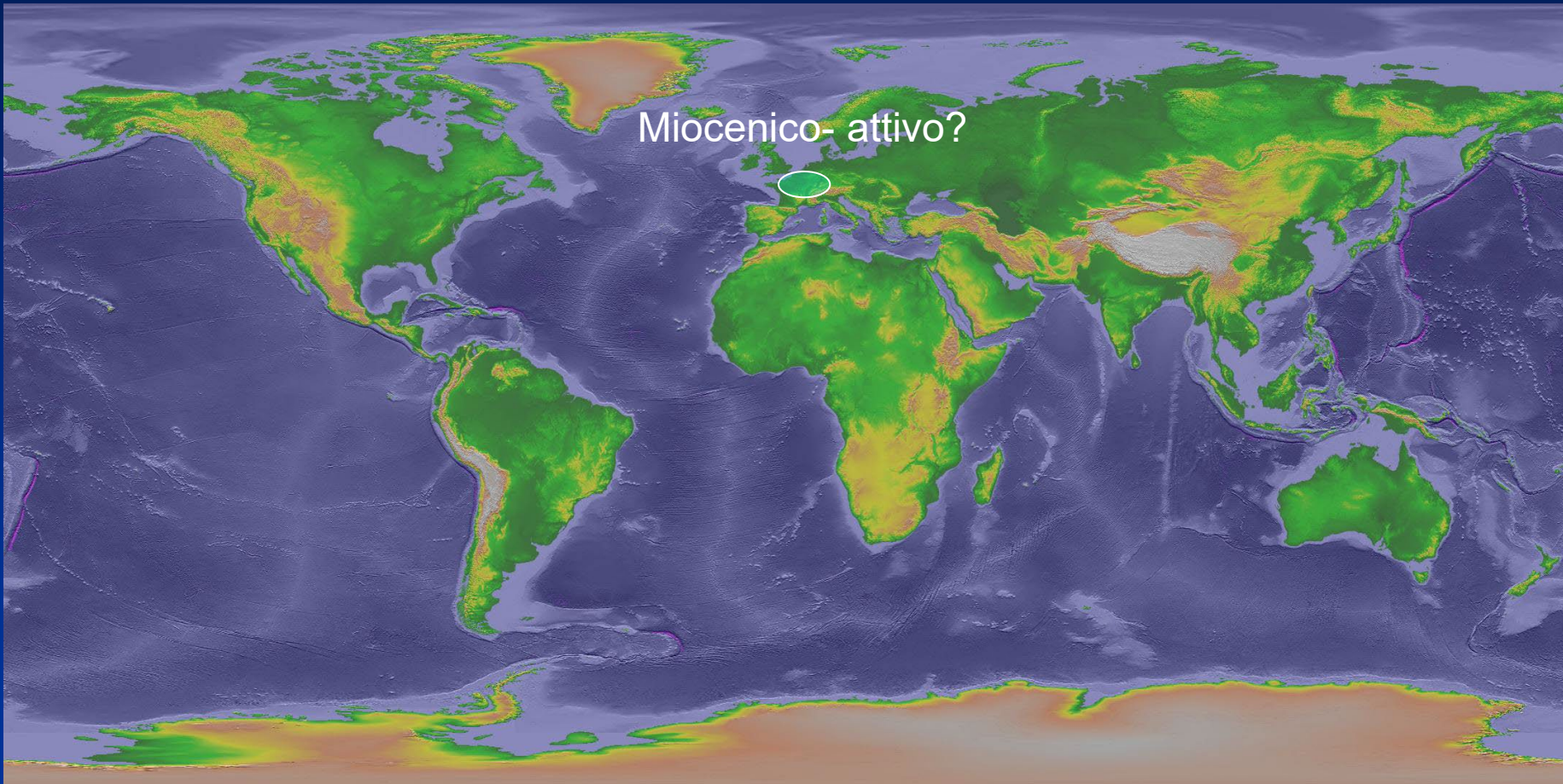
16,5 Paleoprofondità della placca inferiore del <complesso nucleare>

Estensione totale = 72 km (100%)



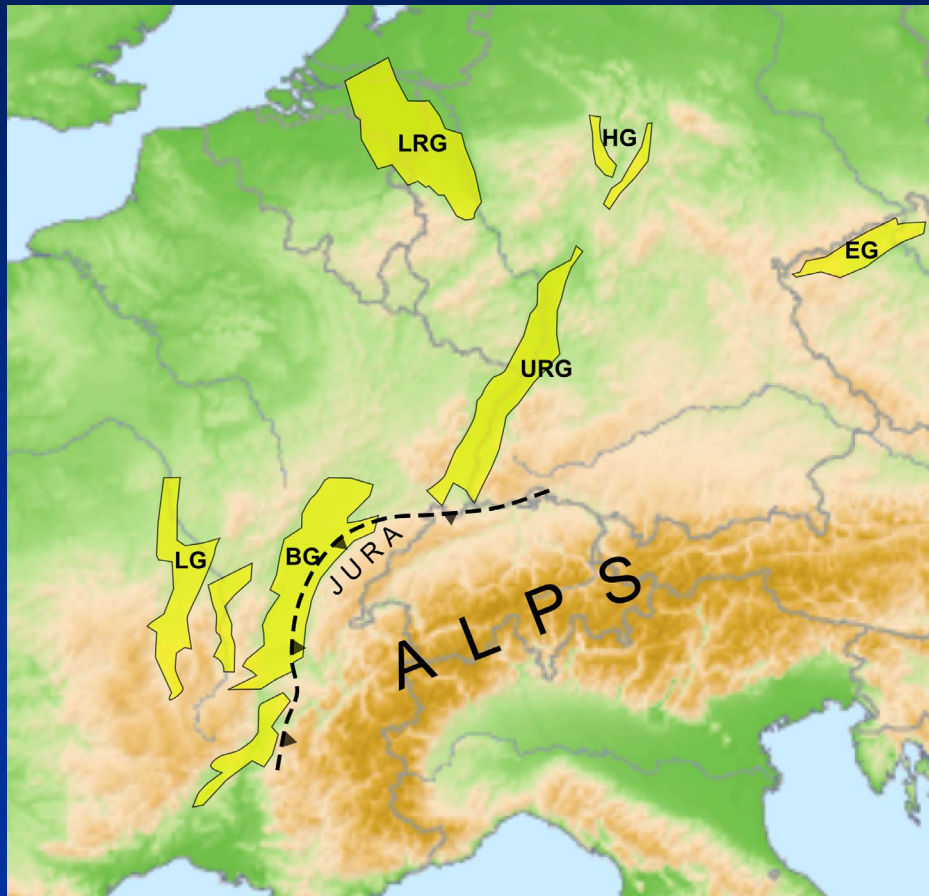
Associazioni di faglie normali

2b) associazioni extensionali in ambienti geodinamici divergenti prossimi a margini convergenti

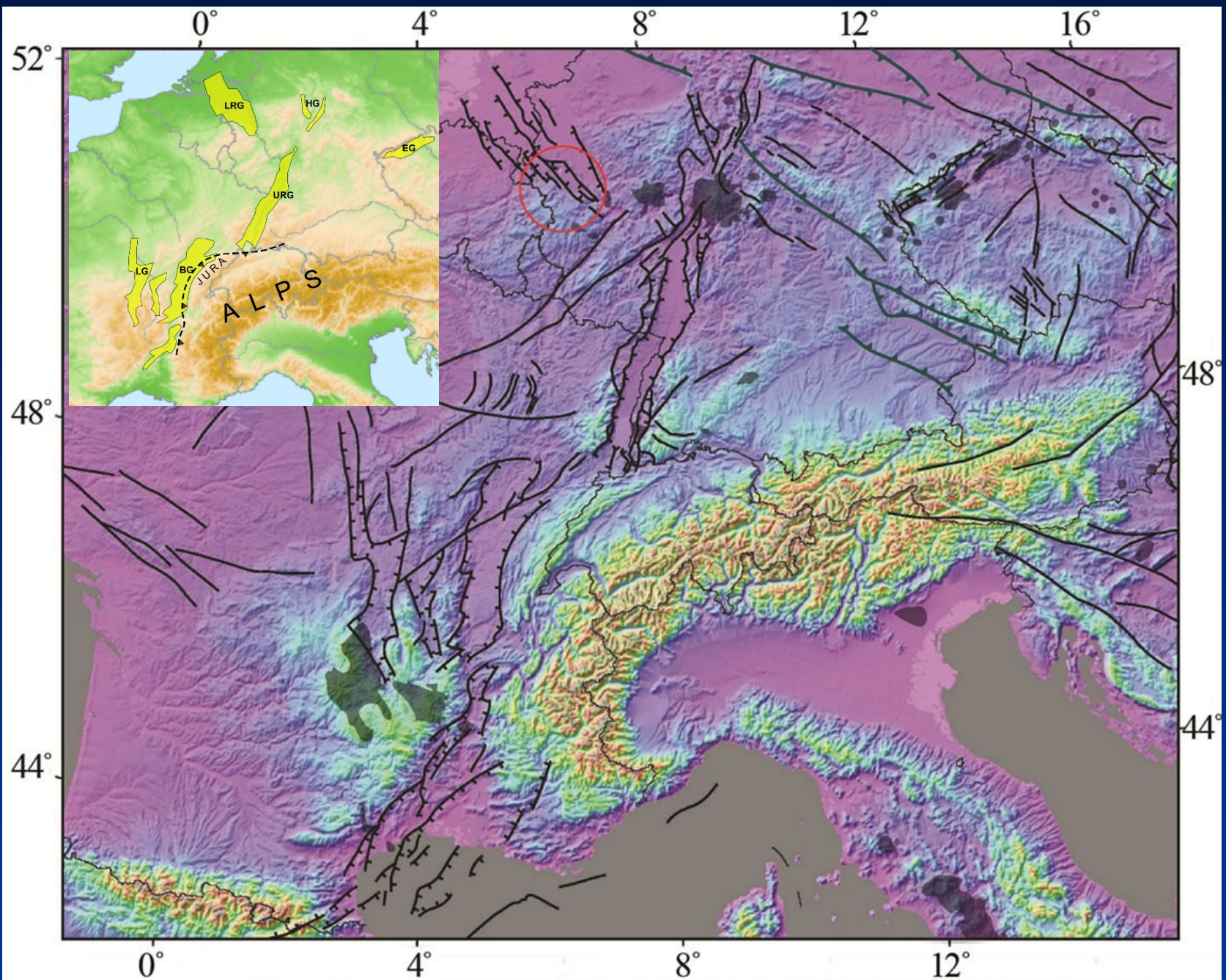


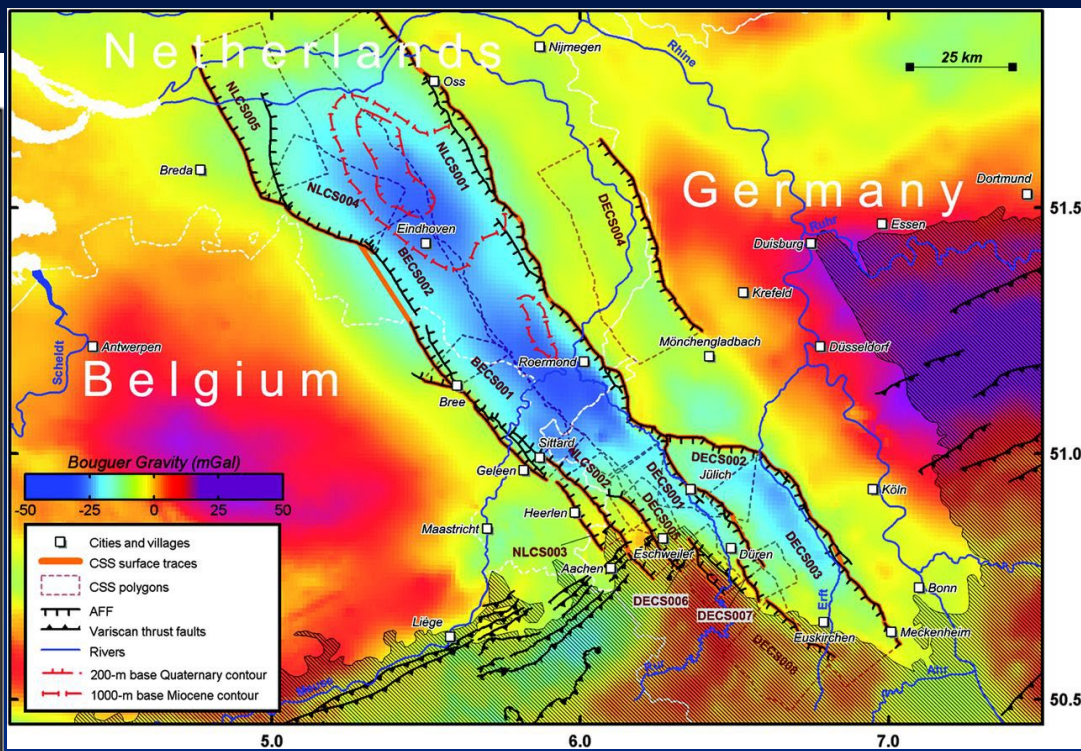
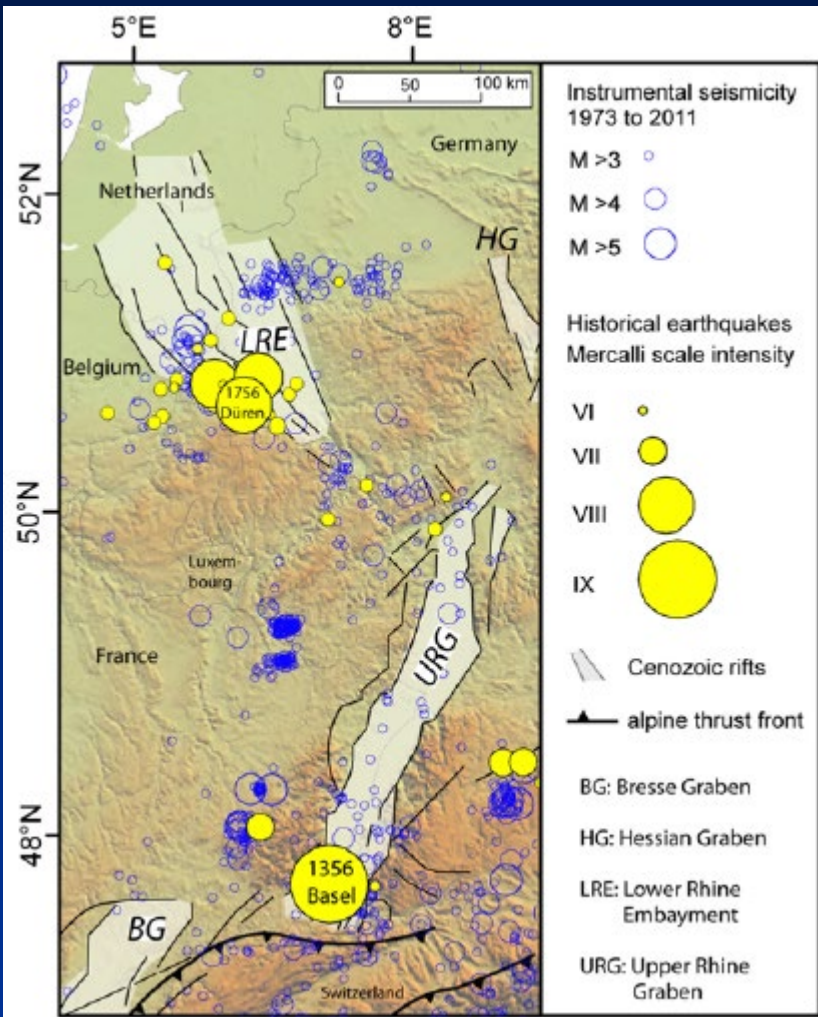
Shaded reliefs e batimetria da NOAA National Centers for Environmental Information (NCEI)

Associazioni estensionali in ambienti geodinamici divergenti prossimi a margini convergenti

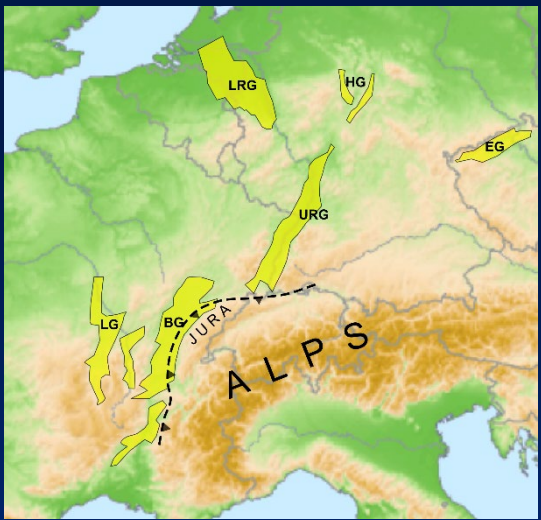


Sistema di graben centro-europeo:
LG= g. di Limagne;
BG= g. della Bresse;
URG= Alto Reno;
LRG= Basso Reno;
HG= g. dell'Assia;
EG= g. di Eger.

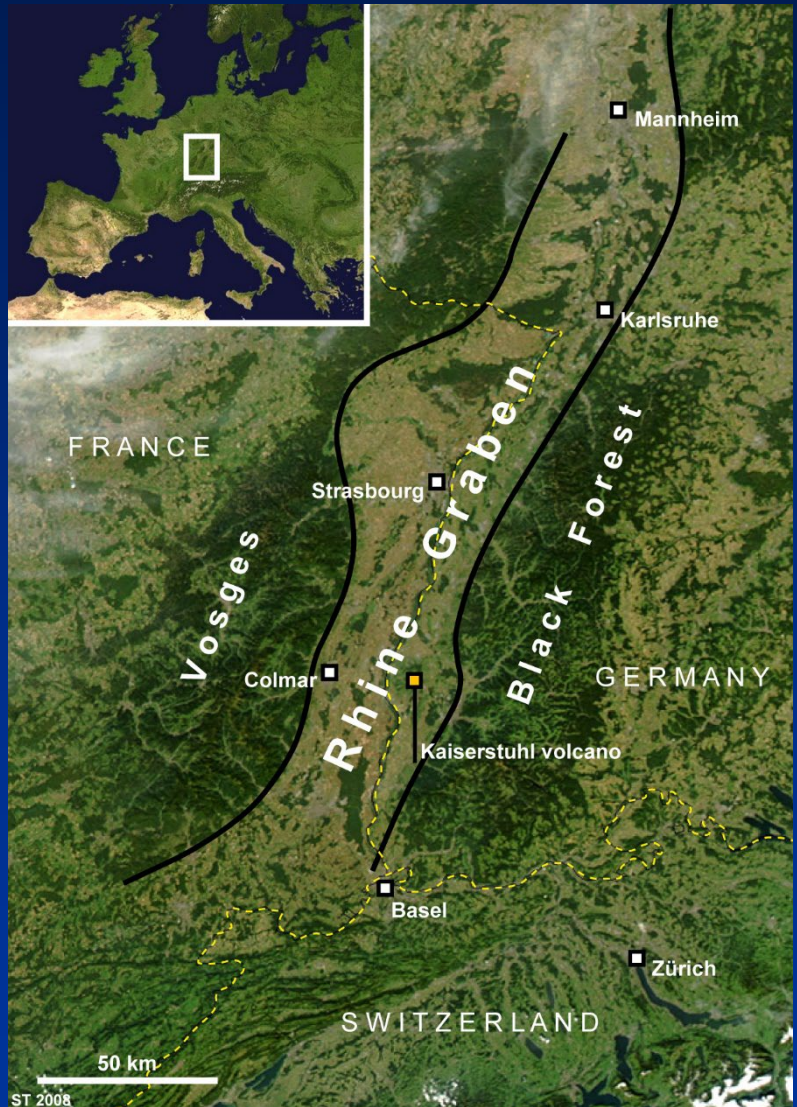
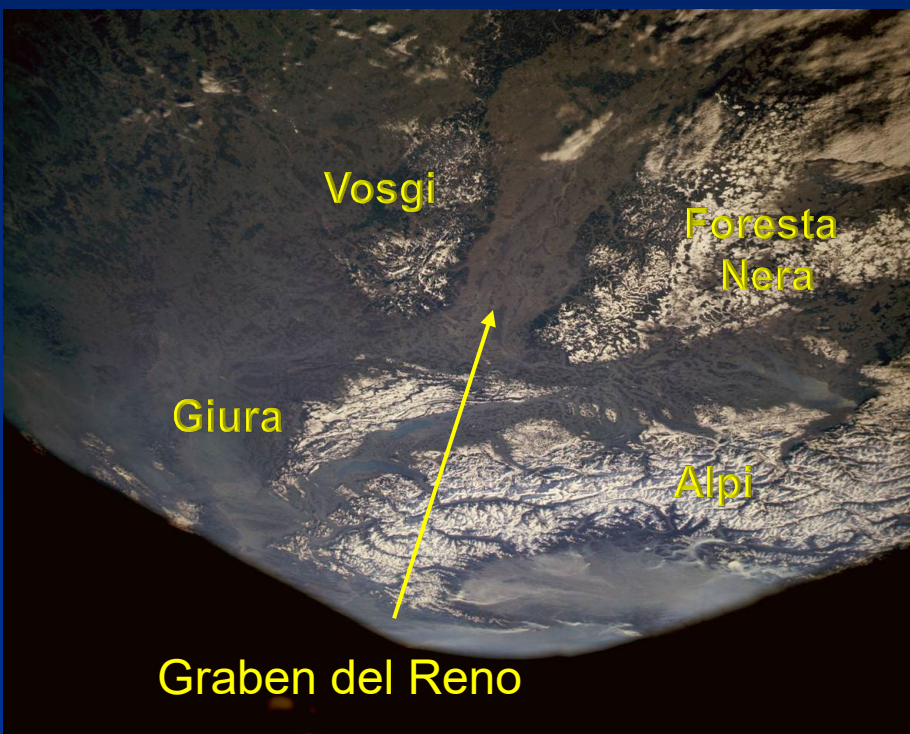


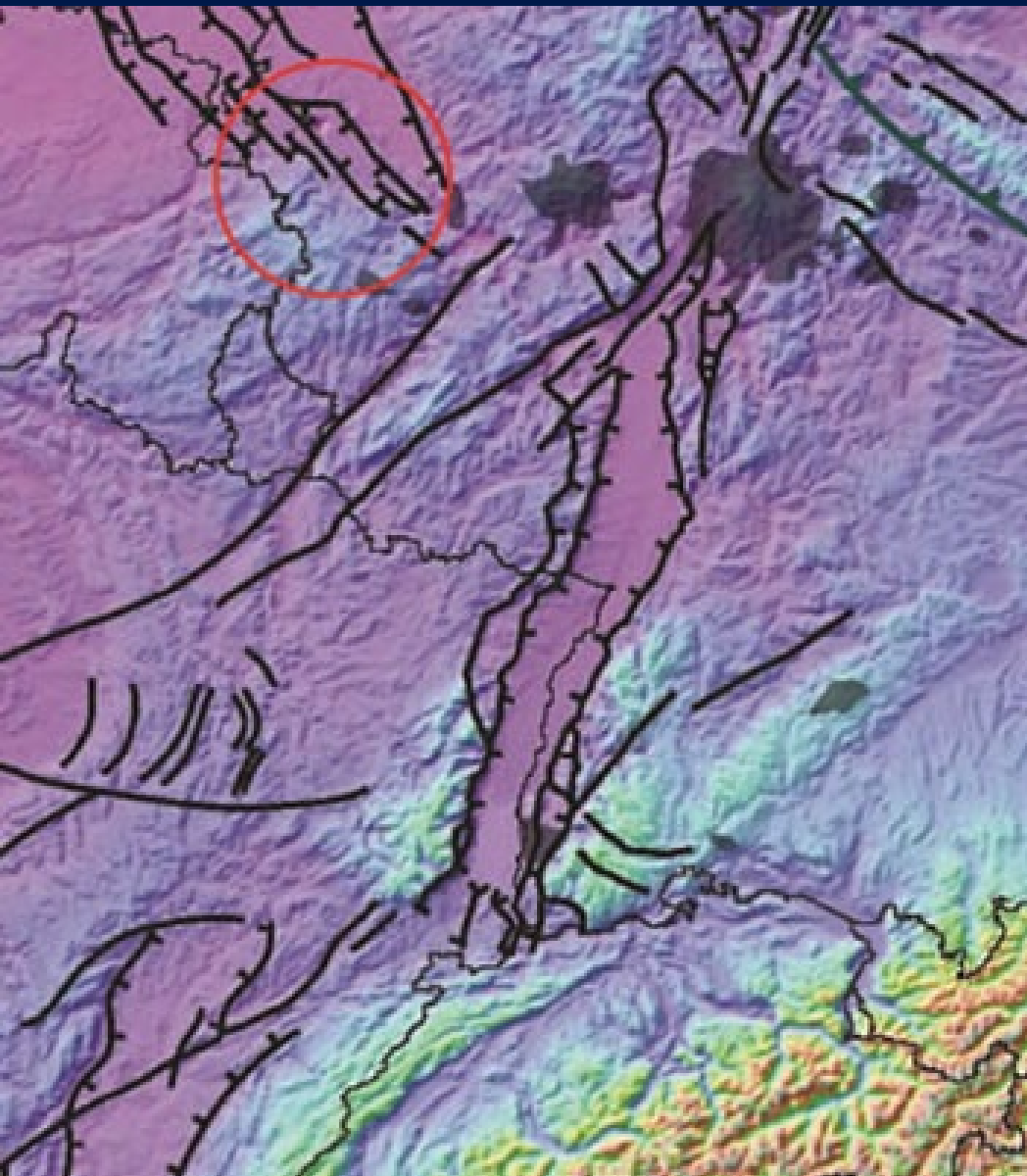


Da Kuebler, 2012

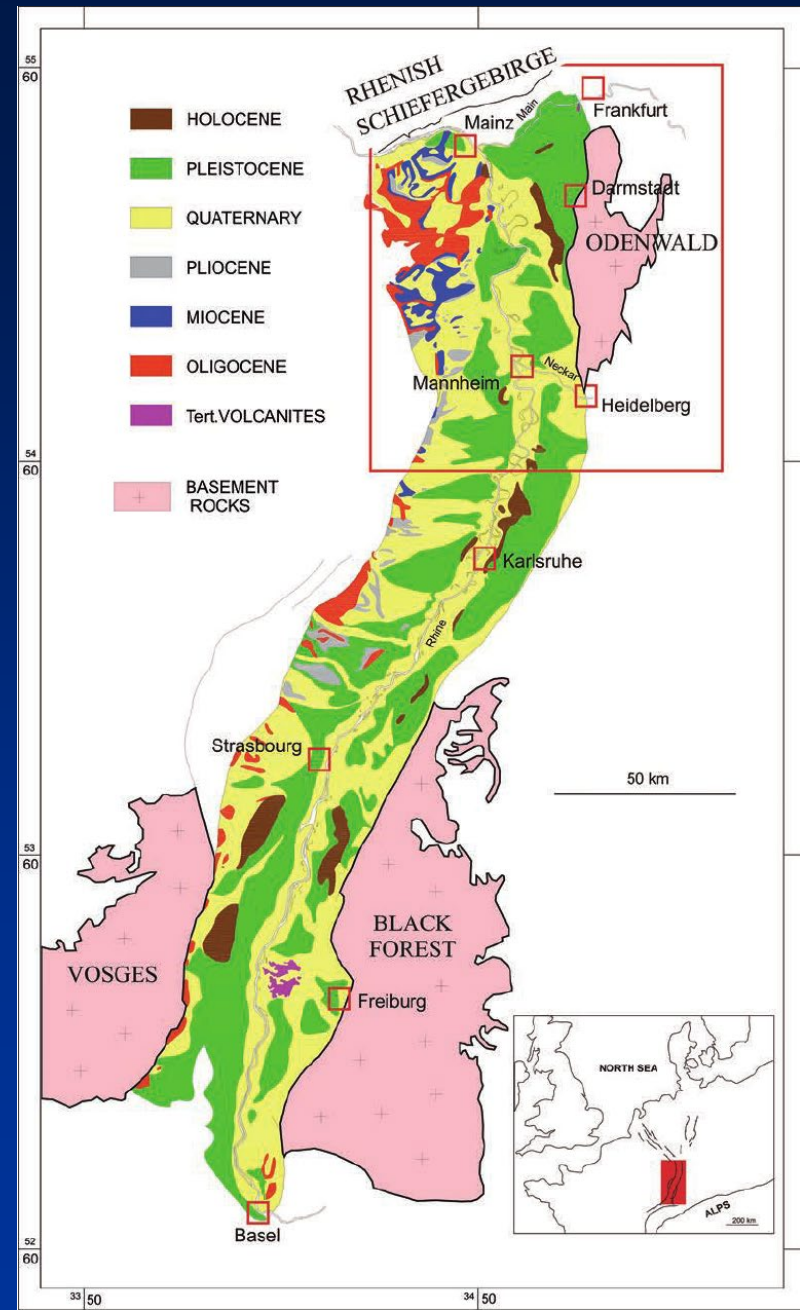


Graben del Reno



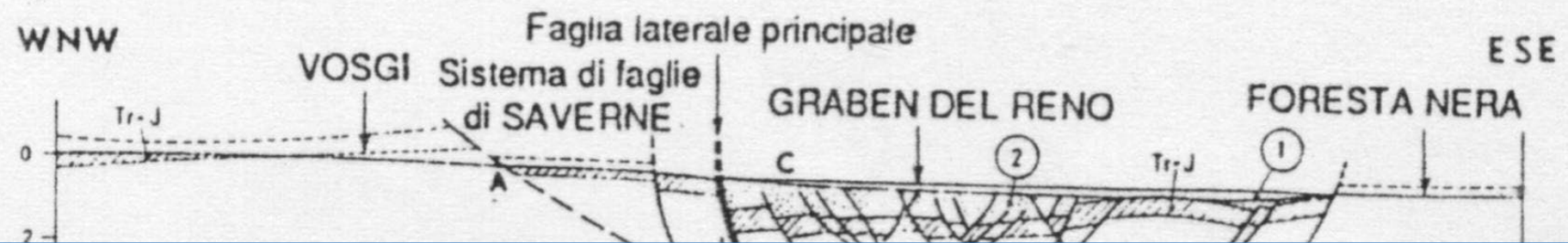


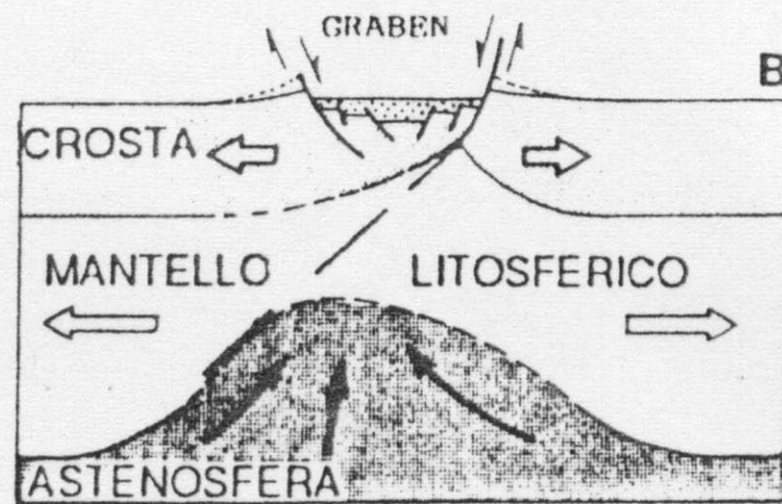
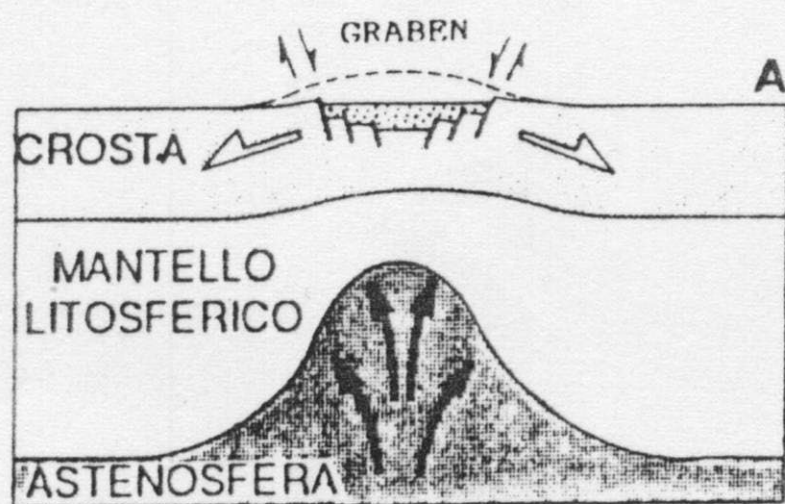
Da Dijkshoorn & Clauser, 2013



Przyrowski & Schäfer, 2015

Da Mercier & Vergely, 1996





Da Mercier & Vergely, 1996

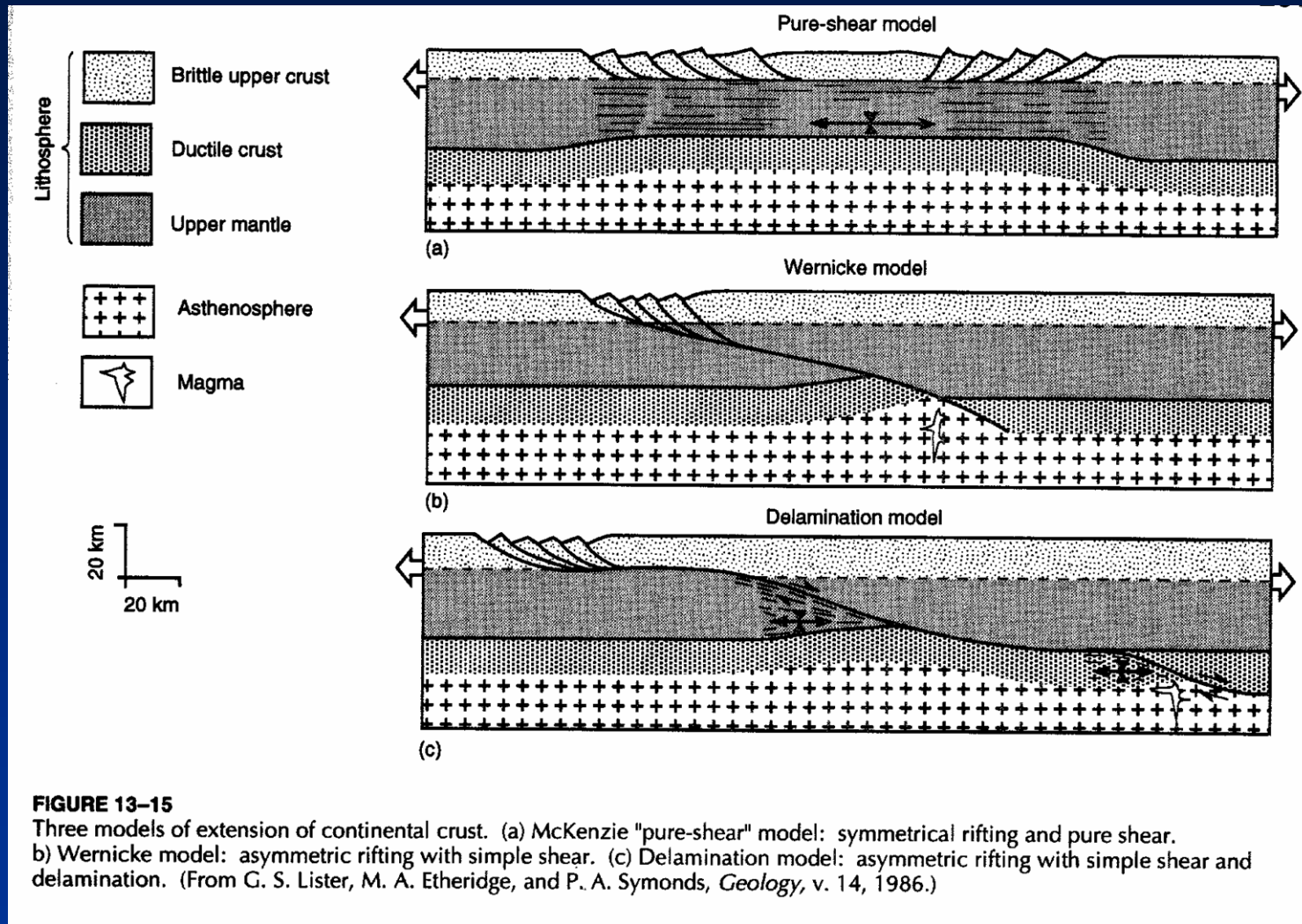
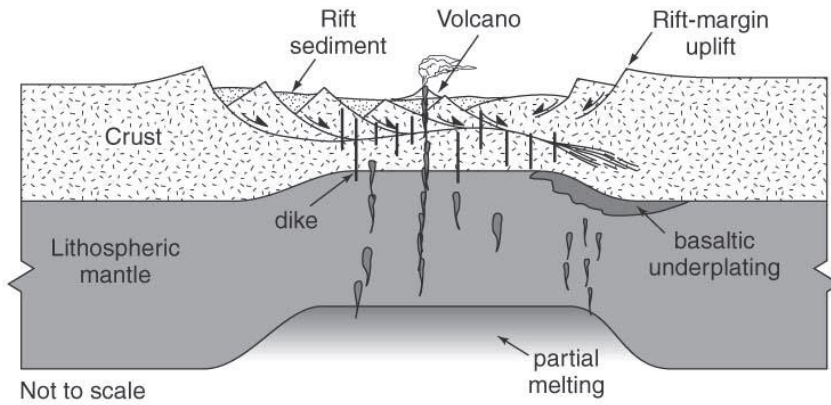


FIGURE 13-15

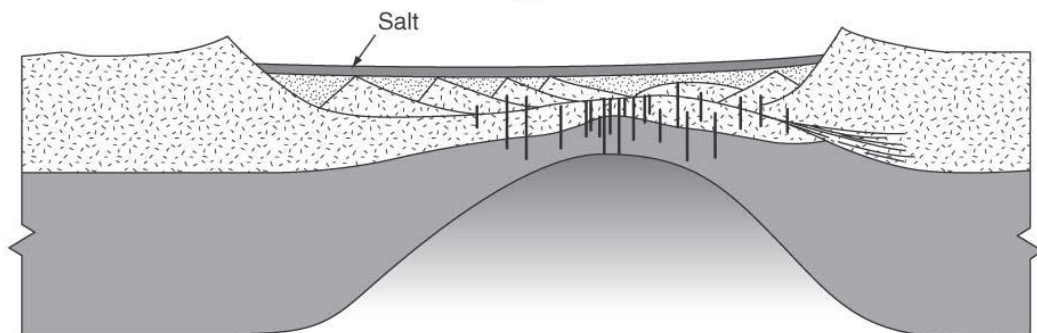
Three models of extension of continental crust. (a) McKenzie "pure-shear" model: symmetrical rifting and pure shear. b) Wernicke model: asymmetric rifting with simple shear. (c) Delamination model: asymmetric rifting with simple shear and delamination. (From G. S. Lister, M. A. Etheridge, and P. A. Symonds, *Geology*, v. 14, 1986.)

Da Hatcher , 1995

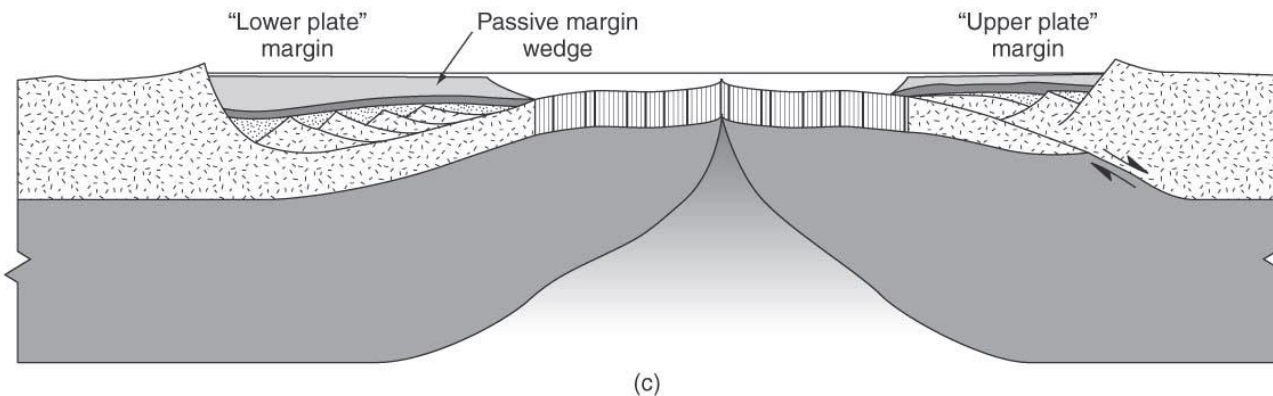
Da van der Pluijm &
Marshak, 2004



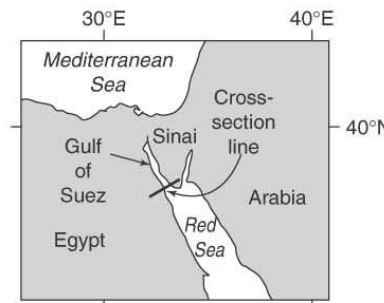
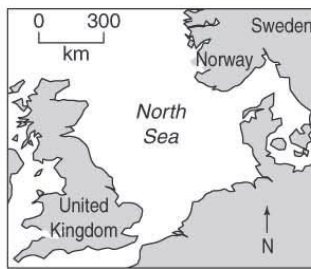
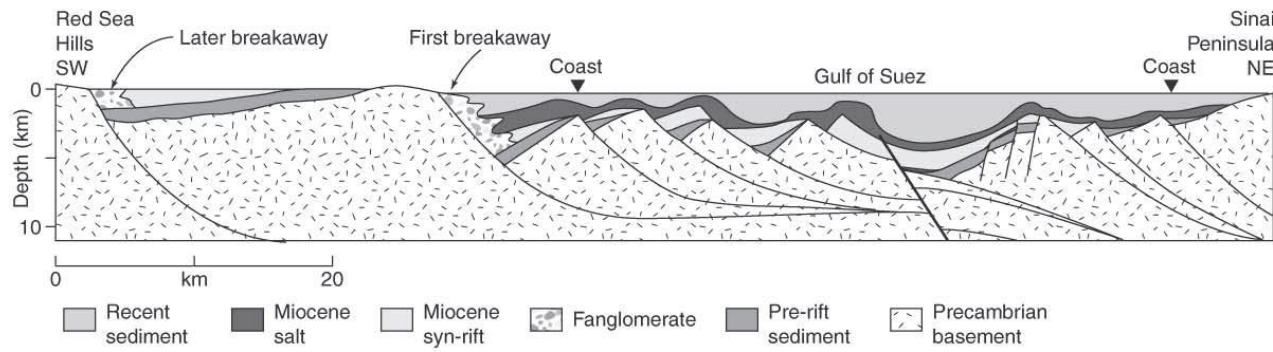
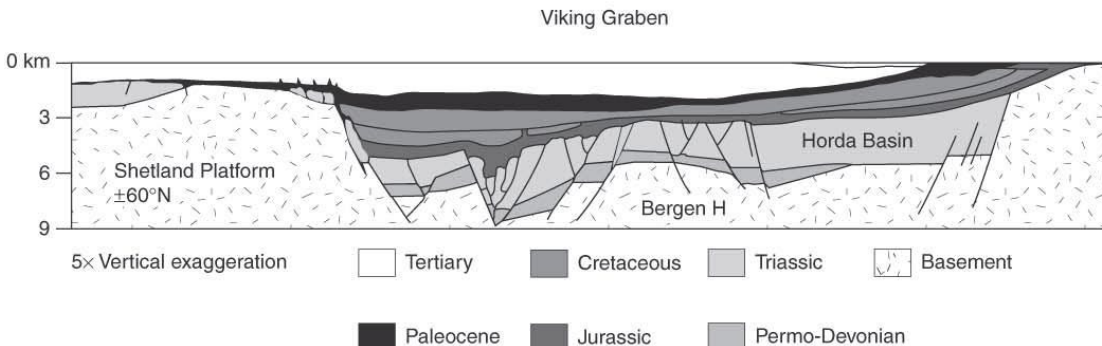
(a)



(b)



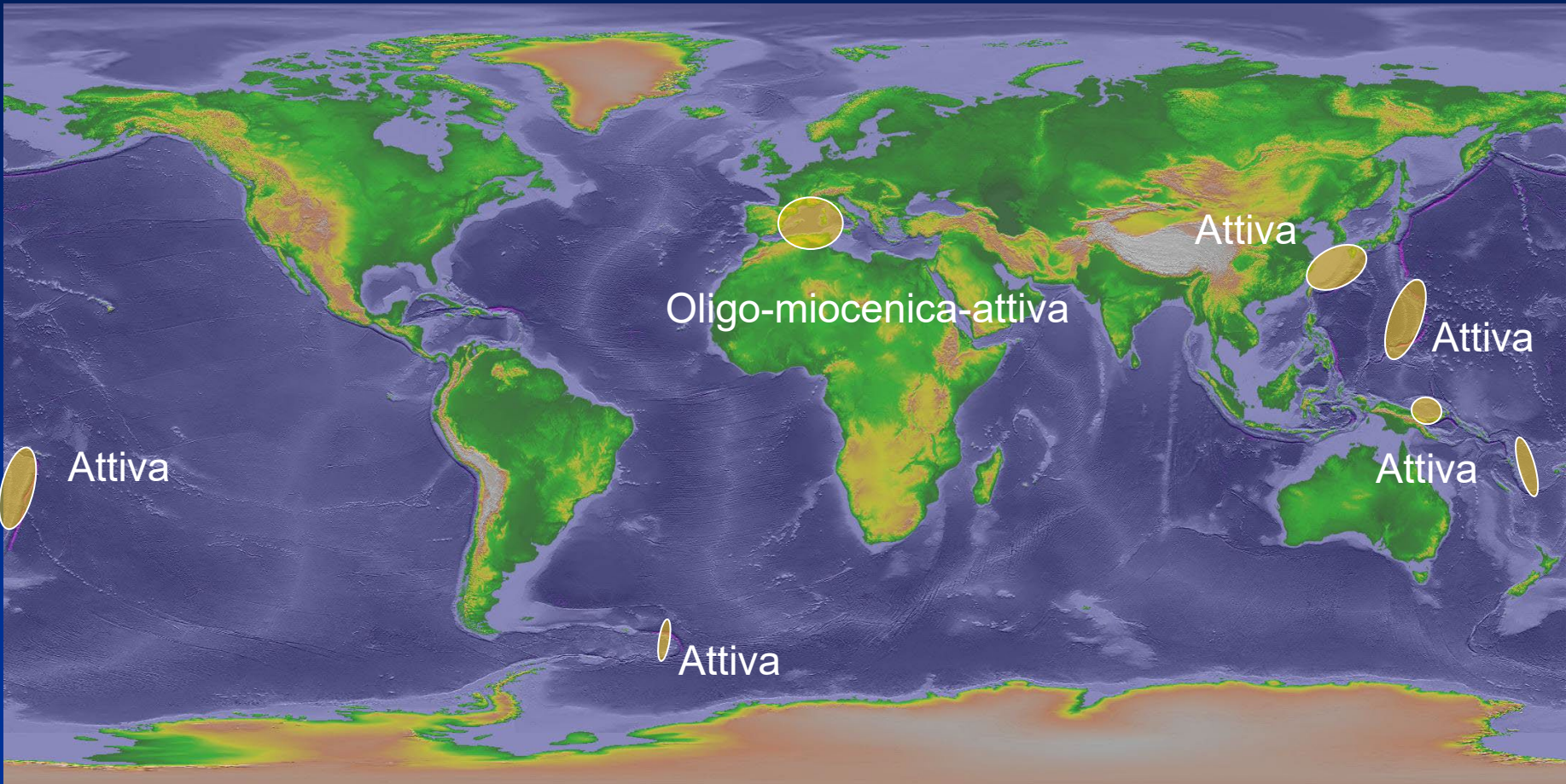
(c)



Da van der Pluijm & Marshak, 2004

Associazioni di faglie normali

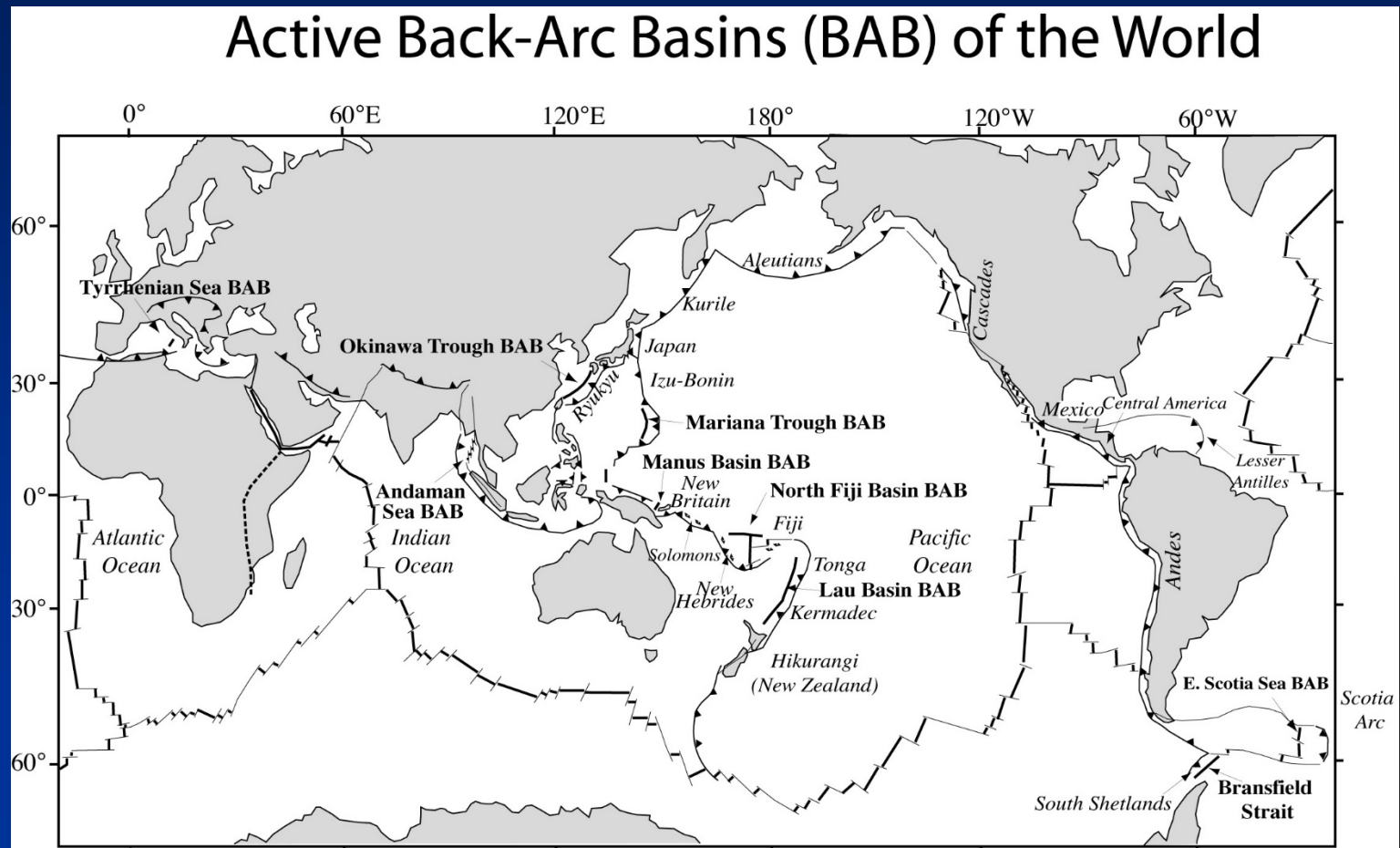
3) associazioni estensionali dovute ad ambienti geodinamici convergenti!!!



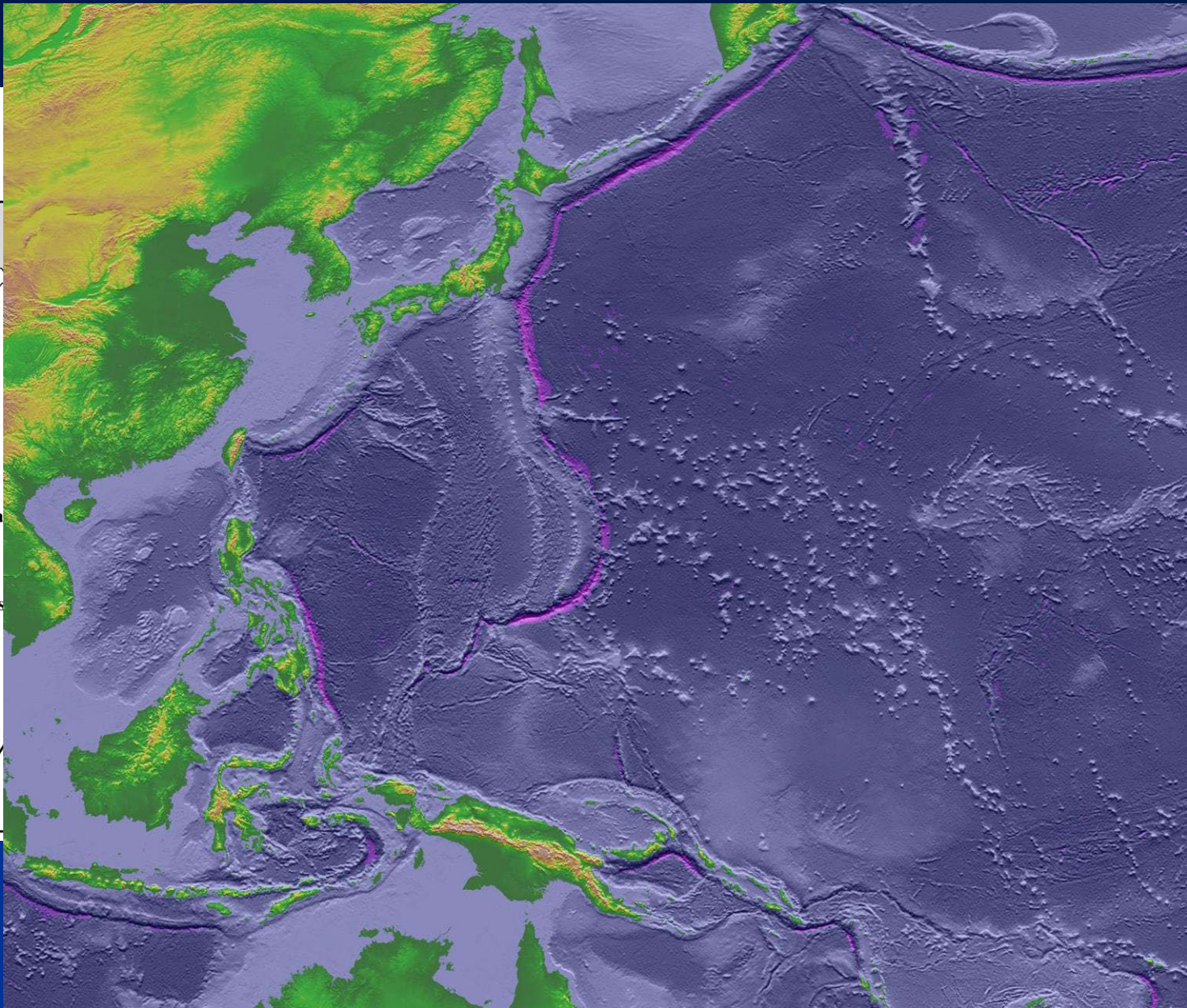
Shaded reliefs e batimetria da NOAA National Centers for Environmental Information (NCEI)

3) associazioni estensionali dovute ad ambienti geodinamici convergenti:

Estesi bacini di retroarco

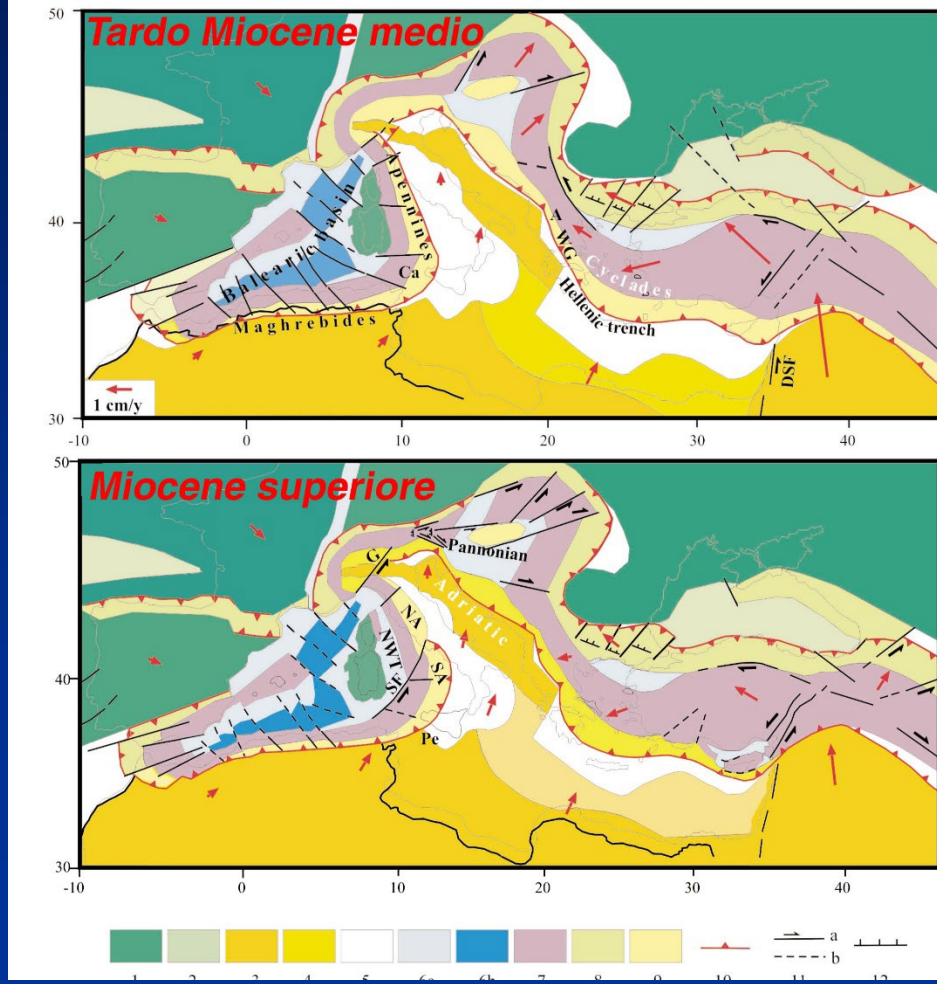
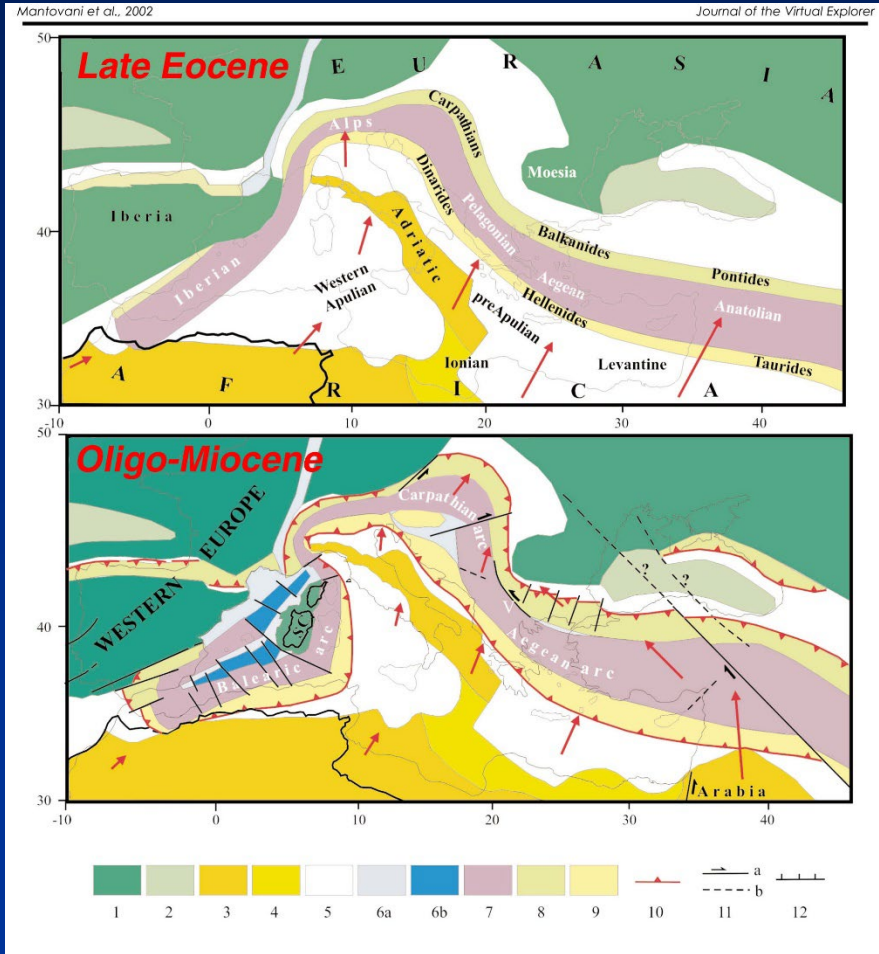


Sub-Arc Basins (BAB)

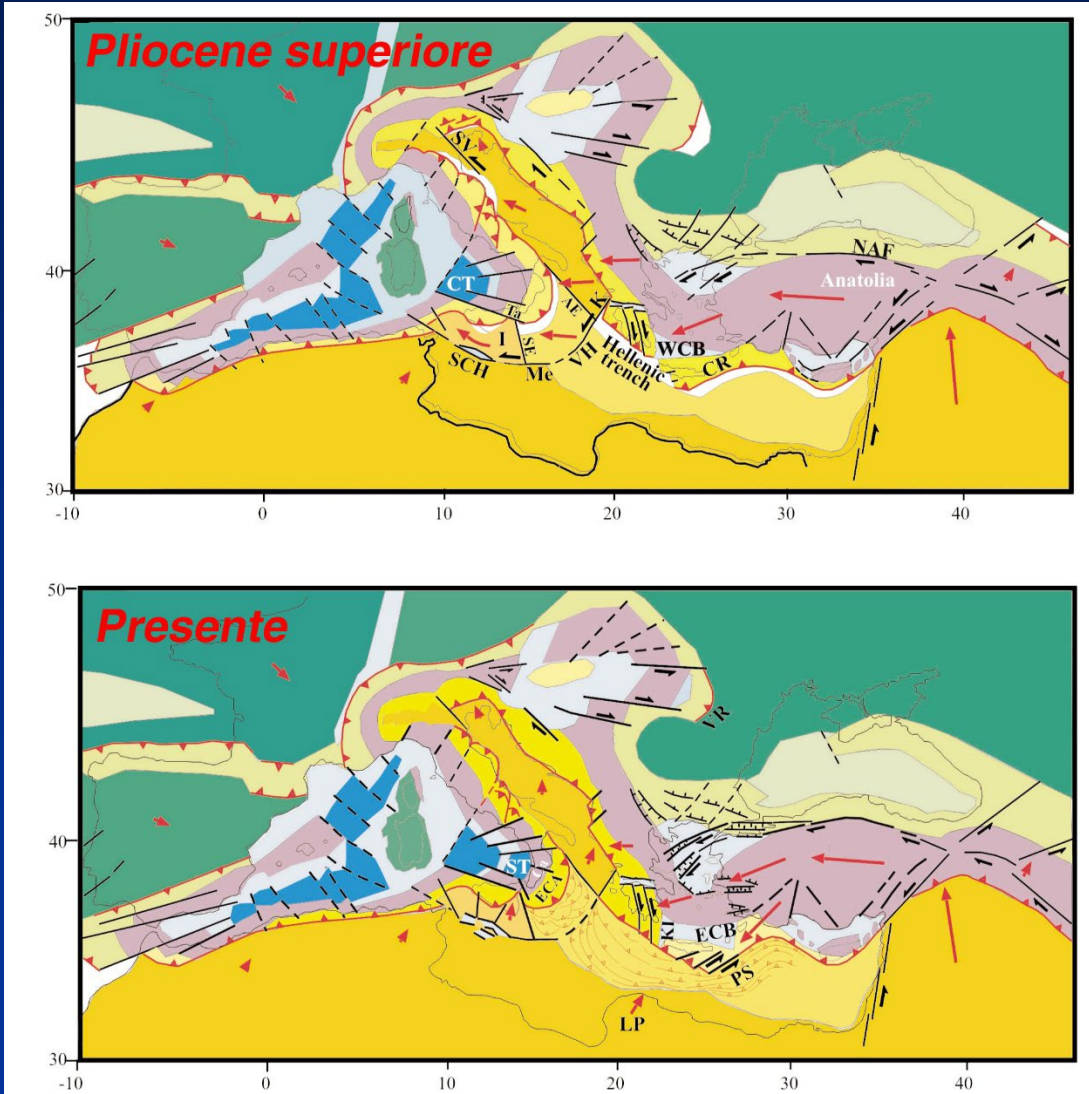


associazioni estensionali dovute ad ambienti geodinamici convergenti: evoluzione oligo-miocenica sino all'Attuale dell'Appennino

Da Mantovani et al., 2002

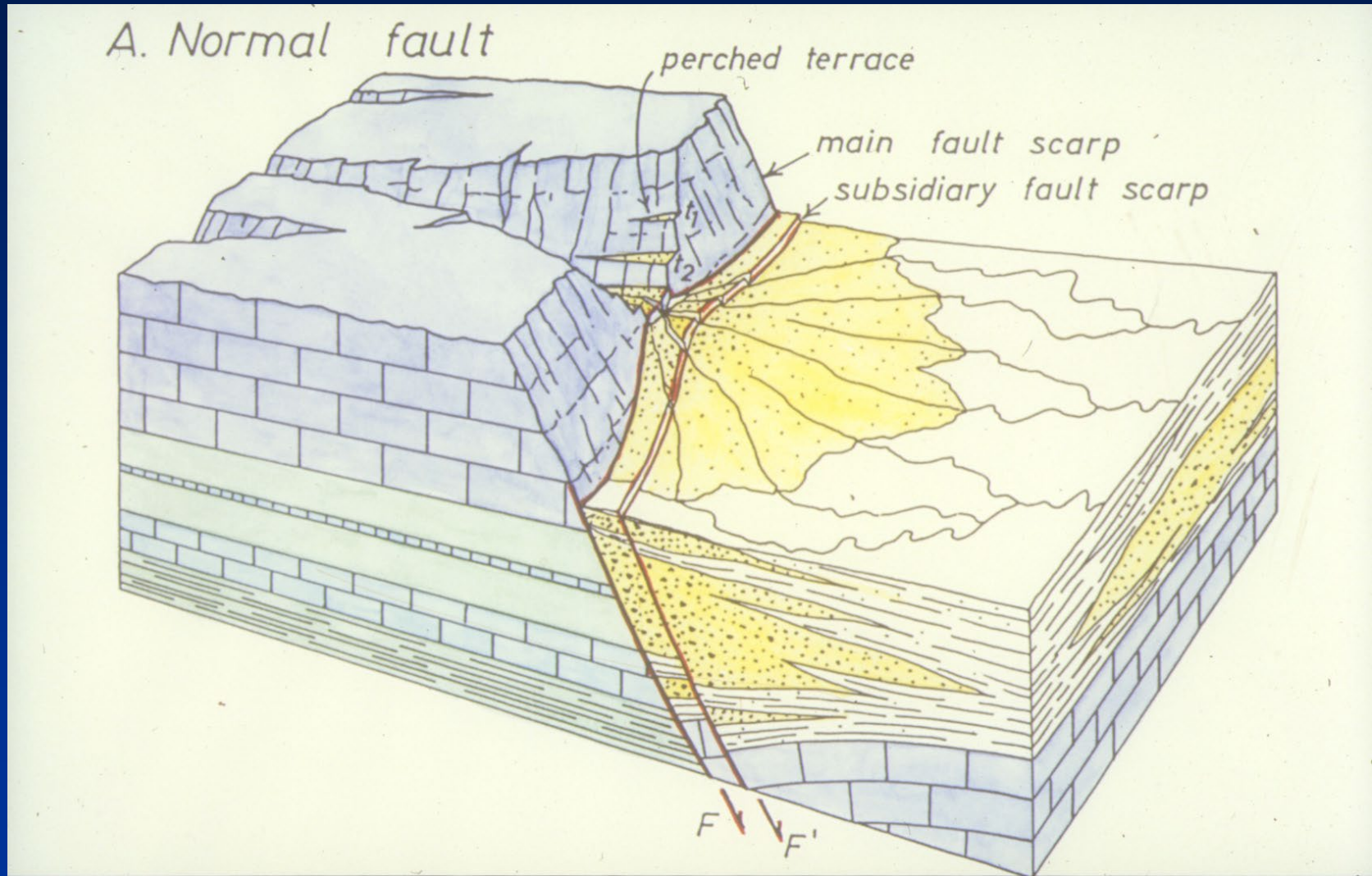


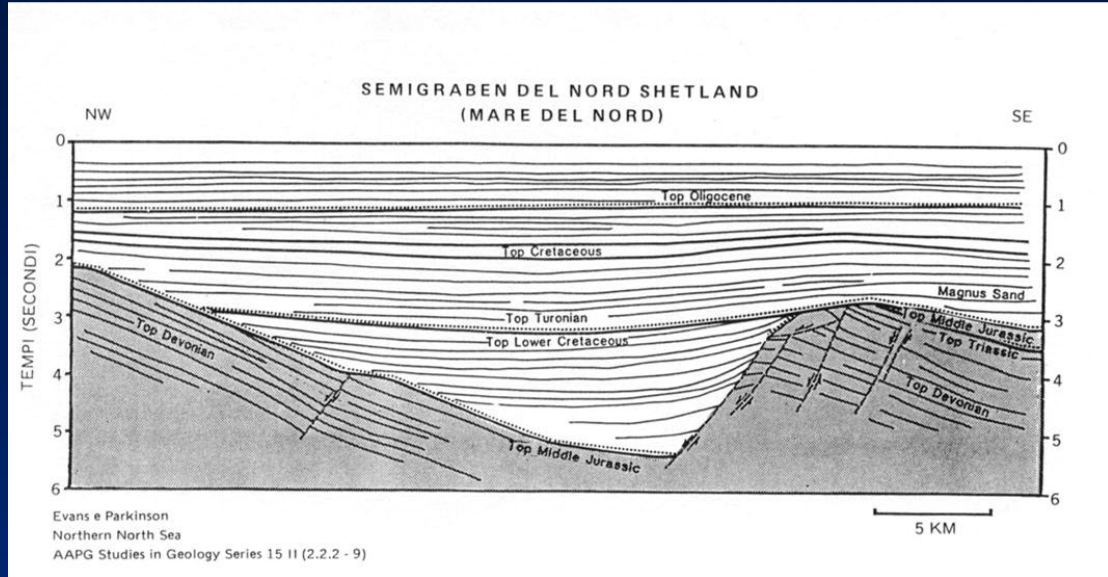
associazioni estensionali dovute ad ambienti geodinamici convergenti: evoluzione oligo-miocenica sino all'Attuale dell'Appennino



Da Mantovani et al., 2002

Faglia normale associata ad erosione (letto) e deposizione (sul lembo di tetto). La forma del bacino sedimentario e la stratigrafia dei depositi è controllata dalla attività della faglia

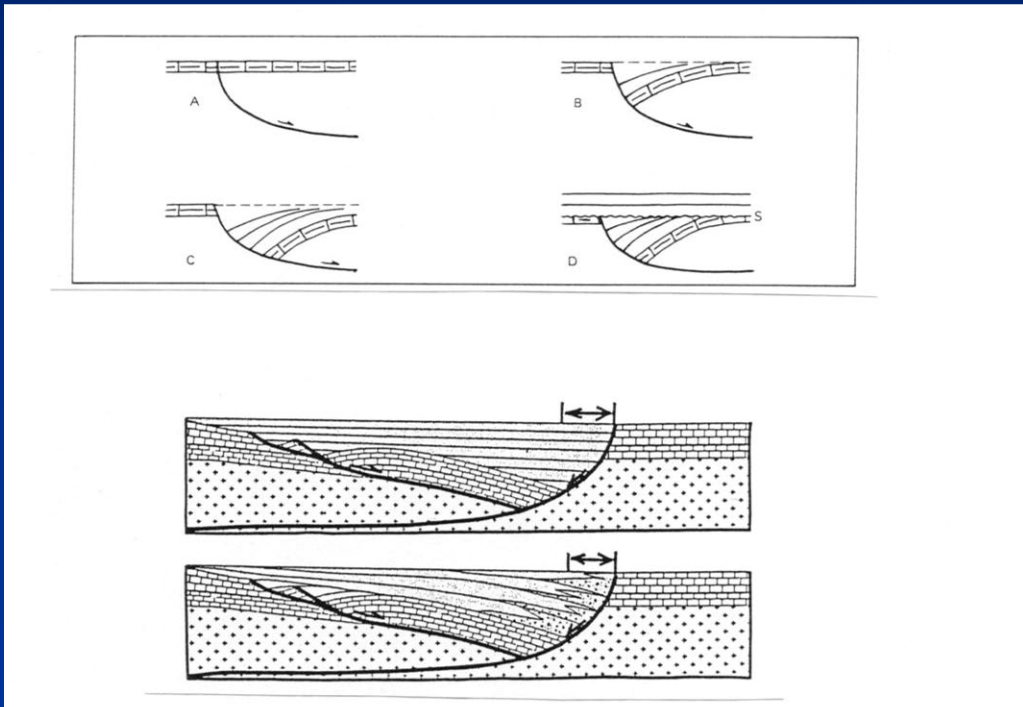




Velocità di attivazione della faglia elevata, basso tasso di sedimentazione

Da Bally et al., 1985

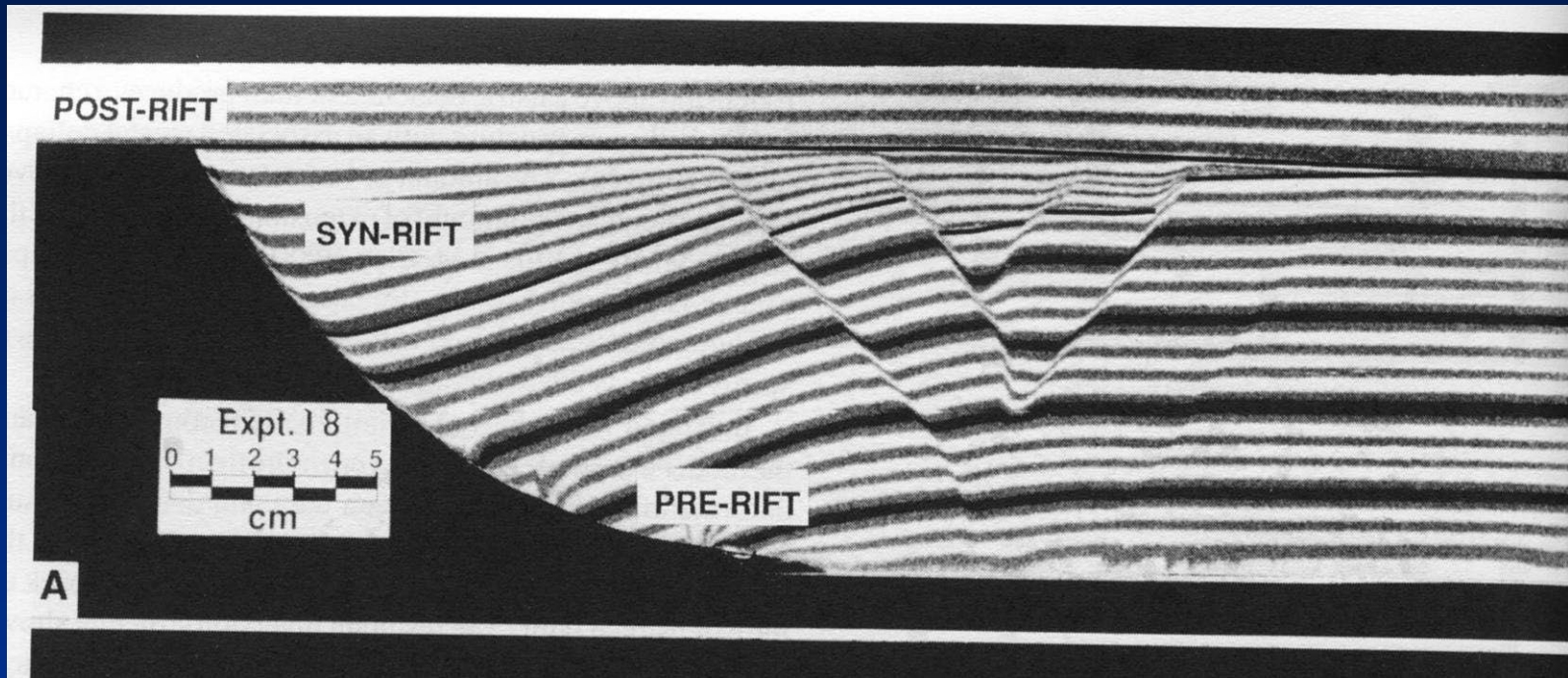
Tasso di sedimentazione elevato, movimento della faglia protratto nel tempo.



I due casi precedenti a confronto

Da Bally et al., 1985

Depositi di pre-, sin- e post-rift.



Da Buchanan & McClay, 1991